

Αρ. Πρωτ. 1233  
10-7-87

ΠΑΝΕΠΙΣΤΗΜΙΟ ΑΘΗΝΩΝ  
ΤΟΜΕΑΣ ΓΕΩΦΥΣΙΚΗΣ

ΓΕΩΦΥΣΙΚΕΣ ΕΡΓΑΣΙΕΣ  
(ΒΑΡΥΤΙΚΕΣ, ΜΑΓΝΗΤΙΚΕΣ, ΗΛΕΚΤΡΙΚΕΣ ΚΑΙ ΣΕΙΣΜΙΚΕΣ ΔΙΑΣΚΟΠΗΣΕΙΣ)  
ΣΤΗΝ ΚΑΛΑΜΑΤΑ, ΣΤΑ ΠΛΑΙΣΙΑ ΤΗΣ ΜΙΚΡΟΖΩΝΙΚΗΣ ΜΕΛΕΤΗΣ ΠΟΥ ΓΙΝΕΤΑΙ  
ΑΠΟ ΤΟΝ

Ο Α Σ Π

ΤΕΛΙΚΗ ΕΚΘΕΣΗ

ΑΘΗΝΑ ΙΟΥΝΙΟΣ 1987

47/α

ΓΕΩΦΥΣΙΚΕΣ ΕΡΓΑΣΙΕΣ ΣΤΑ ΠΛΑΙΣΙΑ ΕΚΠΟΝΗΣΗΣ ΜΙΚΡΟΖΩΝΙΚΗΣ ΣΤΗΝ ΚΑ-  
ΛΑΜΑΤΑ

ΠΡΟΛΟΓΟΣ

Στα πλαίσια εκπόνησης της Μικροζωνικής μελέτης της περιοχής Καλαμάτας ανατέθηκε στον τομέα Γεωφυσικής του Παν/μίου Αθηνών σειρά γεωφυσικών ερευνών (Βαρυτικές, μαγνητικές, ηλεκτρικές και σεισμικές διασκοπήσεις). Επισυνάπτονται τα αντίστοιχα τεύχη της τελικής φάσης των Γεωφυσικών εργασιών.

Στις Γεωφυσικές εργασίες έλαβαν ενεργά μέρος οι παρακάτω επιστήμονες : Καθηγ. Ι. Δραμόπουλος (χωρίς αμοιβή), επικ.καθηγ. Κ. Μακρόπουλος (επιστ. υπεύθυνος) Λεκτ. Ε. Λάγιος, Λεκτ.Ι.Λούης, Λέκτ. Τ. Παπαδόπουλος , ΕΜΥ Ν. Βούλγαρης. Επίσης στις συγκεκριμένες εργασίες συμμετείχαν τόσο στις μετρήσεις υπαίθρου όσο και στην επεξεργασία των δεδομένων άλλοι συνεργάτες του Τομέα ή επιστήμονες που εκπονούν διδακτορική διατριβή όπως οι Κ. Γκιζελή , Ι. Τσίτος και Γ. Κατωπόδης .

Γ Ε Ω Φ Υ Σ Ι Κ Ε Σ Δ Ι Α Σ Κ Ο Π Η Σ Ε Ι Σ

ΒΑΡΥΤΗΤΙΚΑ - ΜΑΓΝΗΤΙΚΑ

### 1. Εισαγωγή

Στην περιοχή της Λεκάνης Καλαμάτας και στα πλαίσια εκπόνησης της μικροζωνικής μελέτης της ευρύτερης περιοχής εγιναν συμβατικές βαρυτομετρικές και μαγνητικές μελέτες με στόχο κυρίως την διερεύνηση της δομής των ανώτερων στρωμάτων του φλοιού.

### 2. Σύντομη Γεωλογική Τοποθέτηση

Όπως προκύπτει από τον αντίστοιχο γεωλογικό χάρτη της περιοχής (κλίμακας 1:50.000), το βόρειο άκρο της λεκάνης οριοθετείται από την παρουσία Κρητιδικών Ασβεστολίθων που είναι ρηγματωμένοι, σε μερικά δε σημεία οι καθρέπτες των ρηγμάτων αυτών είναι εμφανείς και έχουν πάντοτε μετάπτωση προς τα νότια.

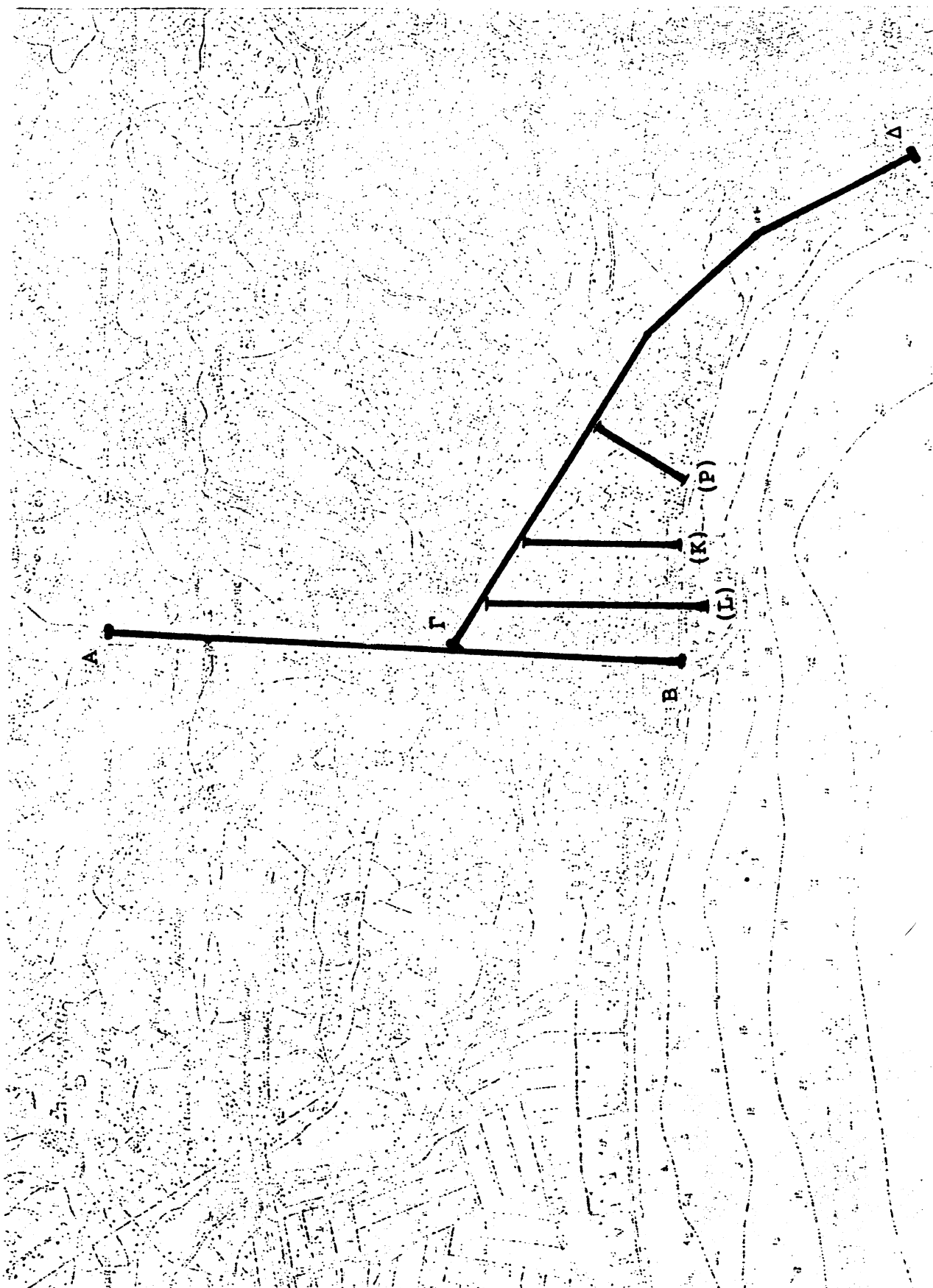
Στην βόρεια πλευρά της λεκάνης, βόρεια της πόλης της Καλαμάτας και σε άμεση επαφή με τους ασβεστόλιθους έχουμε τις Νεογενείς αποθέσεις που εκτείνονται προς τα νότια με αυξανόμενο πάχος. Συγκεκριμένα έχουμε Πλειοκαινικές μάργες και κροκαλοπαγή, ενώ σε ότι αφορά το Πλειστόκαινο, έχουμε κυρίως κροκαλοπαγή με ερυθρό συνδετικό υλικό.

Βορειοανατολικά της Καλαμάτας και εκτός από τα Νεογενή και τον φλύσχη του Ανώτερου Ηώκαινου - Ολιγόκαινου της ενότητας Τρίπολης, συναντούμε επίσης και πετρώματα της Ενότητας Πίνδου, που είναι επωθημένα στο φλύσχη Τρίπολης. Κατά πόσο όμως συνεχίζονται αυτοί οι σχηματισμοί σε βάθος κάτω από τα Νεογενή προς τα νότια είναι άγνωστο.

Τέλος νοτιότερα προς την παραλία έχουμε τις αλλούβιακές αποθέσεις, που το πάχος τους αυξάνει προς τα νότια.

### 3. Βαρυτομετρικές Μετρήσεις

Στην ευρύτερη περιοχή της Καλαμάτας έγιναν συνολικά τέσσαρα βαρυτομετρικά προφίλ ακρίβειας, συνολικού μήκους 17 περίπου χιλιομέτρων (Σχ. 1). Οι σταθμοί απείχαν μεταξύ τους από 100 μέχρι 250 m. Τα υψόμετρά τους υπολογίσθηκαν μετά από



Σχήμα 1 Τοπογραφικός χάρτης της ευρύτερης περιοχής της Καλαμάτας, όπου φαίνονται οι θέσεις των Βαρυτικών Προφίλ διασκόπησης.

την εκτέλεση χωροστάθμισης υψηλής ακρίβειας, με βάση τα ριπέρ (benchmarks) της περιοχής. Ετσι τα υψόμετρα των σταθμών χαρακτηρίζονται από ακρίβεια καλλίτερη από 1 - 2 cm.

Οι τοπογραφικές διορθώσεις, που έγιναν αναλυτικά για κάθε σταθμό, εκτείνονται μέχρι την ζώνη I κατά Hammer, δηλαδή σε ακτίνα 14.5 περίπου χιλιόμετρα από κάθε σταθμό. Το τοπογραφικό αποτέλεσμα υπολογίσθηκε χωριστά για την Εηρά και την θάλασσα.

Οι μετρήσεις του πεδίου βαρύτητας έγιναν με το βαρυτόμετρο LaCoste and Romberg G - 496 του Τομέα μας. Σαν βάση αναφοράς της βαρυτομετρικής διασκόπησης επιλέχθηκε ένα σημείο στην διασταύρωση των οδών ΒΑ του Ξενοδοχείου Φιλοξένεια κοντά στην Καλαμάτα. Επειδή δε προσδόθηκε τυχούσα τιμή από πλευράς απόλυτης τιμής της βαρύτητας, οι βαρυτικές ανωμαλίες, που υπολογίσθηκαν στη συνέχεια, έχουν ανεξάρτητο επίπεδο αναφοράς (arbitrary datum).

Επειδή η περιοχή στη Λεκάνη Καλαμάτας είναι σχεδόν επίπεδη, τουλάχιστον κατά μήκος των οδεύσεων όπου έγιναν οι μετρήσεις, δεν έγινε ιδιαίτερη προσπάθεια εύρεσης της αντιπροσωπευτικότερης πυκνότητας των επιφανειακών σχηματισμών. Παρ' όλα αυτά όμως, εκτός από την συμβατική τιμή της πυκνότητας  $2.67 \text{ gr/km}^3$ , χρησιμοποιήθηκε και η τιμή  $2.50 \text{ gr/cm}^3$  στον υπολογισμό των βαρυτομετρικών ανωμαλιών.

Με βάση την ακρίβεια των υπολογισθέντων υψομέτρων των σταθμών ( $\pm 1 - 2 \text{ cm}$ ) και της θέσης τους (καλλίτερη από  $\pm 10 \text{ m}$ ), συνεπάγεται ότι η ακρίβεια των υπολογισθέντων ανωμαλιών βαρύτητας είναι καλλίτερη από 0.5 gals (1 gal = 0.1mgals).

### 3.1. Μετρήσεις Πυκνότητας

Προκειμένου να έχουμε αντιπροσωπευτικές τιμές διακύμανσης της πυκνότητας των διαφόρων γεωλογικών σχηματισμών της περιοχής, για την μετέπειτα εφαρμογή τους στην κατασκευή μοντέλων, πραγματοποιήθηκαν εργαστηριακές μετρήσεις πυκνότητας.

Ένας ικανός αριθμός δειγμάτων διάφορων γεωλογικών σχηματισμών, ελήφθησαν από διάφορες περιοχές και έγινε ο εργαστηριακός προσδιορισμός της (διαβρωμένης) πυκνότητας. Παρακάτω εκτίθενται στον πίνακα I οι μέσες τιμές πυκνότητας για τους σημαντικότερους γεωλογικούς σχηματισμούς της περιοχής.

### Π Ι Ν Α Κ Α Σ Ι

Τιμές Πυκνότητας Ορισμένων Γεωλογικών Σχηματισμών

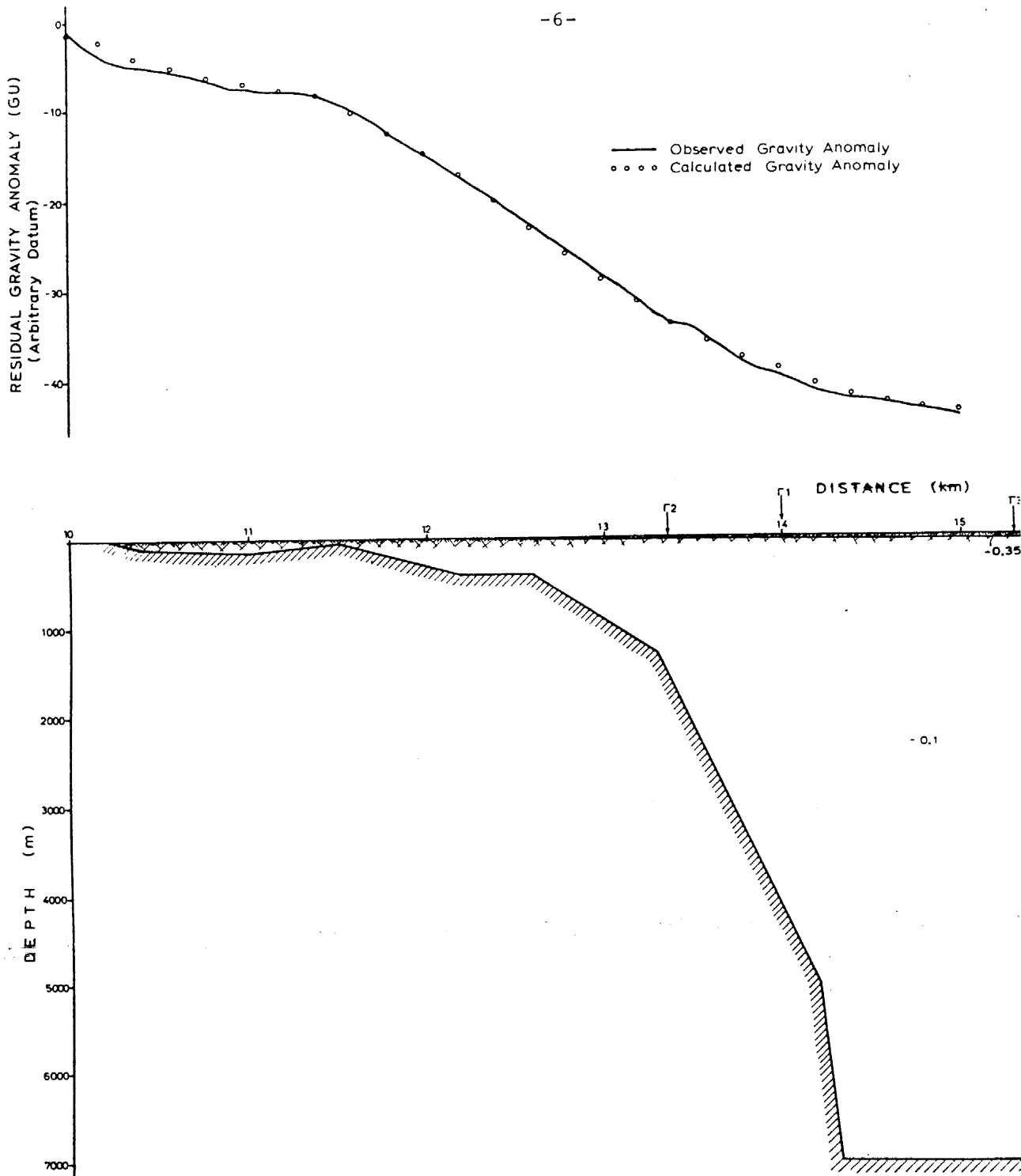
1.	Ασβεστόλιθοι Ενότητας Πίνδου :	2.697 ± 0.011 gr/cm <sup>3</sup>
2.	Ασβεστόλιθοι Ενότητας Τρίπολης:	2.685 ± 0.010 "
3.	Φλύσχης Τρίπολης	
	Πυλλίτες	: 2.621 ± 0.020 "
	Ψαμμίτες	: 2.477 ± 0.030 "
4.	Μάργες (με ραδιολαρίτες)	: 2.623 ± 0.028 "

#### 4. Ερμηνεία Βαρυτομετρικών Ανωμαλιών

Η ποσοτική προσπάθεια ερμηνείας των βαρυτομετρικών εργασιών εντοπίζεται στην κατασκευή μοντέλων δύο - διστάσεων των στρωμάτων του ανώτερου φλοιού της περιοχής, κυρίως σε δύο διευθύνσεις : (α) Κατά μήκος του προφίλ AB σε διεύθυνση B - N και (β) κατά μήκος του προφίλ ΓΔ με διεύθυνση BD - NA.

##### 4.1. Τομή AB

Η τομή αυτή αρχίζει από τον βορειότερο σταθμό S41, που βρίσκεται πάνω σε ασβεστόλιθο, και τελειώνει με τον σταθμό M15 κοντά στην παραλία της Καλαμάτας.



Σχήμα 2 Μοντέλο δύο-διαστάσεων της βαρυτομετρικής τομής AB. Οι διαφορές πυκνότητας  $-0.1$  και  $-0.35 \text{ gr/cm}^3$  των Πλειο-Πλειστοκαίνικών και Αλλούβιων ιζημάτων ειναι ως πρός το ασβεστολιθικό υπόβαθρο. Οι  $\Gamma_1$ ,  $\Gamma_2$  και  $\Gamma_3$  ειναι γεωτρήσεις που διαπερνούν τα αλλούβια. Οι σύνωμαλίες βαρύτητας έχουν ανεξάρτητο επίπεδο.

Ο προσδιορισμός της ανωμαλίας ευρείας κλίμακας , που αντιστοιχεί στην διεύθυνση του προφίλ AB , έγινε ύστερα από την χάραξη προφίλ μεγάλου μήκους ( 200 km) από τον βαρυτομετρικό χάρτη της Ελλάδας κλίμακας 1:1.000.000 Προσεγγίσθηκε δε κατά γραμμικό τρόπο και βρέθηκε οτι η κλίση είναι 6.8 σu/km , που αυξάνει από Βορρά προς Νότο.

Η εναπομένουσα (residual) βαρυτομετρική ανωμαλία κατά μήκος της διεύθυνσης του προφίλ AB υπολογίσθηκε μετά την αφαίρεση της τιμής της ανωμαλίας ευρείας κλίμακας, 6.8 σu/km, από τις αρχικές παρατηρούμενες τιμές.

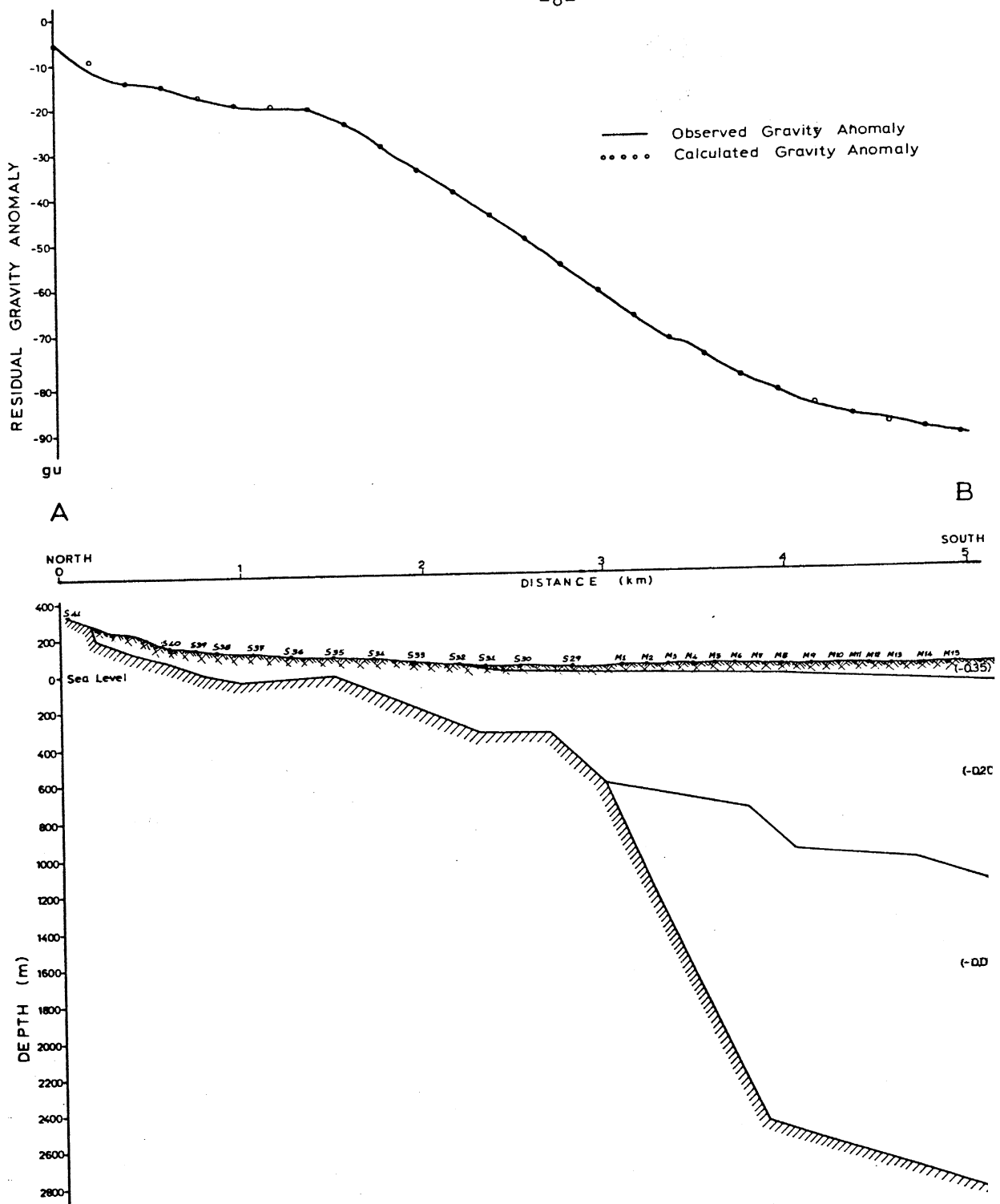
Με βάση τις τιμές πυκνοτήτων , που εκτίθενται στα παραπάνω , και τις πληροφορίες για βάθη ορισμένων σχηματισμών(κυρίως των αλλούβιων) από τις γεωτρήσεις που έγιναν στην πόλη της Καλαμάτας μετά τον σεισμό, έγιναν προσπάθειες κατασκευής του μοντέλου της περιοχής.

Στο σχήμα 2 παρουσιάζεται ένα απλοποιημένο μοντέλο της περιοχής με δύο μόνο διαχωριστικές επιφάνειες . Μια μεταξύ των αλλούβιων και Πλειο - Πλειστοκαϊνικών, η άλλη μεταξύ ασβεστολιθων των άμεσα υπερκειμένων στρωμάτων.

Το επιφανειακό στρώμα των αλλούβιων αποθέσεων έχει σχηματισθεί με βάση τα πάχη που βρέθηκαν από τις γεωτρήσεις  $\Gamma_3$  ,  $\Gamma_1$  και  $\Gamma_2$  . Η διαφορά δε πυκνότητας -  $0.35 \text{ gr/cm}^3$  αυτών σε σχέση με το ασβεστολιθικό υπόβαθρο εκτιμήθηκε με βάση (a) την ταχύτητα των σεισμικών κυμάτων στους σχηματισμούς αυτούς και (β) τις μετρήσεις πυκνότητας.

Το μοντέλο όμως αυτό (Σχ. 2) παρουσιάζει ορισμένα μη ρεαλιστικά σημεία . Το πάχος του ενδιάμεσου στρώματος που αντιπροσωπεύει εν ταία τα Πλειο - Πλειστοκαϊνικά ιζήματα και πιθανότατα φλύσχη υπερκείμενο του ασβεστολιθικού υποβάθρου , πρέπει να έχει υπερεκτιμηθεί. Το ίδιο φυσικά ισχύει και για το μεγάλο άλμα που εμφανίζει η ρηγματογόνος ζώνη κάτω από την Καλαμάτα. Αυτό οφείλεται στην διαφορά πυκνότητας -  $0.1 \text{ gr/cm}^3$  πόου έχει χρησιμοποιηθεί και συνεπάγεται κατά προσέγγιση από τις τιμές του Πίνακα I.

Με βάση λοιπόν τα παραπάνω , στο σχήμα 3 παρουσιάζεται ένα σαφώς ρεαλιστικότερο μοντέλο όπου οι παραπάνω σχηματισμοί, που εμφανίζονται σαν ένα εννιαίο στρώμα (Σχ. 2 ) έχουν διαφορο-



Σχήμα 3 Μιά εναλλακτική ερμηνεία του προφίλ AB. Οι τιμές στίς παρενθέσεις είναι διαφορές πυκνότητας ( $\text{gr}/\text{cm}^3$ ) ως πρός το ασβεστολιθικό υπόβαθρο.

ποιηθεί :

Το κατώτερο στρώμα, υπερκείμενο των ασβεστόλιθων αντιπροσωπεύει φλύσχη με ελαφρά μεγαλύτερη πυκνότητα ( $2.65 \text{ gr/cm}^3$ ) από εκείνη του Πίνακα I (αναμένεται αυτό λόγω βάθους). Το στρώμα αμέσως επάνω από αυτό αποτελεί καθαρά τις αποθέσεις των Πλειοπλειστοκαινικών σχηματισμών με χαρακτήρα περισσότερο προς τους ψαμμίτες (πυκνότητα  $2.50 \text{ gr/cm}^3$ ).

Το επιφανειακό στρώμα των αλλούβιων δεν έχει μεταβληθεί γιατί υπάρχει έλεγχος από τις γεωτρήσεις.

Θα πρέπει να τονισθεί στην προκειμένη περίπτωση ότι η επιφή μεταξύ φλύσχη και των υπερκείμενων ιζημάτων δεν είναι δυνατόν να προσδιορισθεί κατά μοναδικό τρόπο με τα υπάρχοντα γεωφυσικά στοιχεία. Το βάθος της επαφής αυτής προσδιορίζηκε στο μοντέλο αυτό (Σχ. 3) με βάση τις γεωλογικές εκτιμήσεις για τα πάχη των Πλειο-Πλειστοκαινικών ιζημάτων. Η παρουσία δε του φλύσχη υπερκείμενου του ασβεστόλιθου θα πρέπει μάλλον να θεωρηθεί σαν απαραίτητη προκειμένου να έχουμε ένα αποδεκτό και γεωλογικά συμβιβαστό μοντέλο της δομής του φλοιού.

Η κύρια χαρακτηριστική μορφή του μοντέλου αυτού (Σχ. 3) είναι το μεγάλο άλμα που εμφανίζει το ρήγμα (κάτω από το κέντρο της πόλης της Καλαμάτας με άλμα περίπου 2 km και σε βάθος 600 περίπου μέτρα κάτω από την επιφάνεια του εδάφους).

#### 4.2. Τομή ΓΔ

Για τον προσδιορισμό της κλίσης της ανωμαλίας ευρείας κλίμακας έγινε κάτι ανάλογο όπως στην περίπτωση του προφίλ AB με την χάραξη βαρυτομετρικού προφίλ μεγάλου μήκους (200 km). Η κλίση αυτή βρέθηκε ότι είναι  $3.12 \text{ dm/km}$  και αυξάνει προς τα νοτιοανατολικά. Η τιμή αυτή αφαιρέθηκε από τις παρατηρούμενες τιμές των βαρυτομετρικών ανωμαλιών. Έτσι η εναπομένουσα (residual) ανωμαλία έχει πλάτος 40 περίπου dm, ένα πιθανό δε μοντέλο αυτής παρουσιάζεται στο σχήμα 4.

Στο μοντέλο αυτό, το υπερκείμενο στρώμα του ασβεστολιθικού υποβάθρου έχει ψαμμιτικό χαρακτήρα (πυκνότητα  $2.50 \text{ gr/cm}^3$ ) - πλειο-Πλειστοκαινικές αποθέσεις. Η παρουσία φλύ-

σχη υποκείμενου των παραπάνω σχηματισμών ενώ δεν αποκλείεται και είναι πολύ πιθανή από γεωλογικής άποψης , τέτοια προσθήκη δεν έγινε στο υπό εξέταση μοντέλο. Ο λόγος είναι ότι δεν υπάρχουν οι παράγοντες εκείνοι από γεωφυσικής πλευράς, ούτε πληροφορία από γεωτρήσεις που να παρέχουν κάποιο έλεγχο για το βάθος του παραπάνω σχηματισμού. Υπολογίζεται πάντως ότι τυχόν ύπαρξη φλύσχη στην πάνω επιφάνεια του ασβεστολιθικού υπόβαθρου (πυκνότητας  $2.65 \text{ gr/cm}^3$ ) απλά θα προκαλέσει κατακόρυφη μετατόπιση των σχηματισμών και θα δώσει μεγαλύτερες διαστάσεις στα άλματα των ρηγμάτων , ενώ το υπόβαθρο θα μετατοπισθεί σε μεγαλύτερα βάθη. Επιπλέον το ασβεστολιθικό ύβωμα στην NA πλευρά θα απομακρυνθεί από την επιφάνεια σε ελαφρά μεγαλύτερα βάθη . Σε γενικές γραμμές όμως η μορφολογία του υπόβαθρου δεν θα αλλάξει αισθητά.

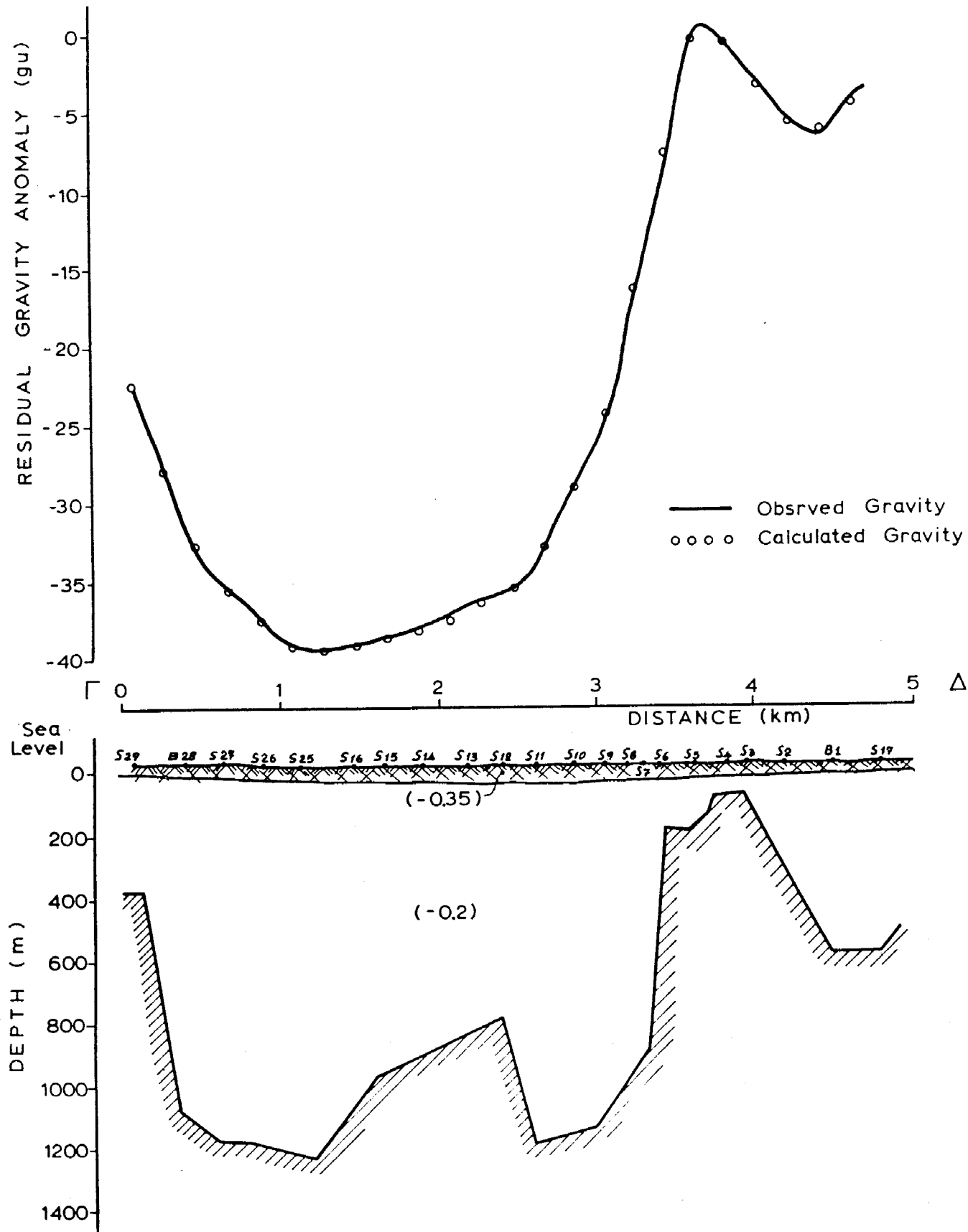
Έτσι λοιπόν παρατηρούμε (Σχ. 4) ότι δύο μεγάλα ρήγματα κυριαρχούν στο μοντέλο αυτό. Το ένα είναι ΒΔ και πρόκειται για το ίδιο μεγάλο ρήγμα που εμφανίζεται στο προφίλ AB, μόνο που εδώ φαίνεται , για τους λόγους που εκτέθηκαν παραπάνω, στις έχει μικρότερο άλμα ( $\sim 800 \text{ m}$ ) . Σχετικά με το τελευταίο , λόγω του ότι η διεύθυνση διασκόπισης δεν είναι κάθετη στον σχηματισμό αυτό (υποθέτουμε , περίπου, διεύθυνση A - Δ), πρέπει να έχει υποεκτιμηθεί.

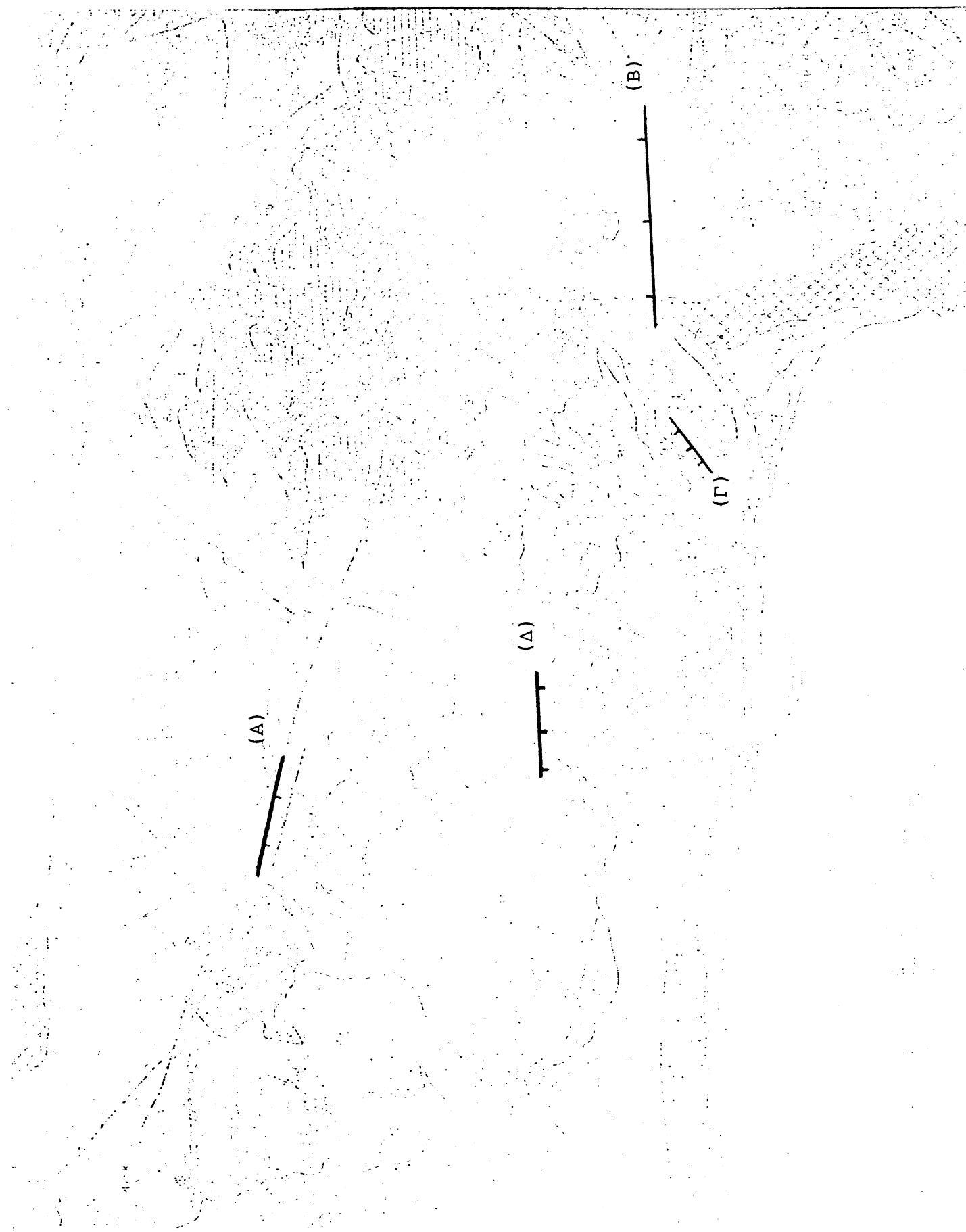
Ένας άλλος με ενδιαφέρον σχηματισμός στα NA της Λεκάνης Καλαμάτας είναι το ρήγμα που εμφανίζεται στο ασβεστολιθικό υπόβαθρο με απότομο άλμα τουλάχιστον 700 m. Είναι ενδεχόμενο το ρήγμα αυτό να αποτελεί την προς τα δυτικά προέκταση του ρήγματος Β, που σημειώνεται στο σχήμα 5 , αλλά με κάποια απόκλιση προς τα νότια. Άν αυτή είναι η περίπτωση , τότε το άλμα του ρήγματος αυτού λόγω μη καθετότητας της διεύθυνσης διασκόπησης ως προς την διεύθυνση του σχηματισμού , πρέπει να έχει υποεκτιμηθεί.

Χαρακτηριστική είναι επίσης η μικρή λεκάνη σχήματος V με πάχος 1ζημάτων περίπου 600 m<sup>που</sup> σχηματίζεται NA της Λεκάνης Καλαμάτας κάτω από τις αποθέσεις (κορήματα ) του μεγάλου κώνου που σημειώνεται στο γεωλογικό χάρτη , δυτικά των επιφανειακών εμφανίσεων των ασβεστολίθων .

Στο κέντρο της λεκάνης , το υπόβαθρο εμφανίζεται επίσης ρηγματωμένο με μια ελαφρά ανύψωση 400 m περίπου κάτω

Σχήμα 4 Μοντέλο δύο-διαστάσεων της τομής ΓΔ. Οι τιμές στίς παρενθέσεις είναι διαφορές πυκνότητας ( $\text{gr}/\text{cm}^3$ ) ως πρός το ασβεστολιθικό υπόβαθρο.





Σχήμα 5 Γεωλογικός χάρτης της ευρύτερης περιοχής της Καλαμάτας, όπου τονίζονται τα κυριότερα ρήγματα που εντοπίσθηκαν από τις βαρυτομετρικές τομές.

από το Τέρμα Λακωνικής και σε βάθος τουλάχιστον 800 m.

#### 4.3. Προφίλ K, L, P

Σε οτι αφορά τα μικρά αυτά προφίλ (Σχ. 1), έγινε μόνο μια ποιοτική ερμηνεία τους. Λόγω του μικρού μήκους που έχουν (1.5 - 2 km), δεν αναμένεται να αλλάξει αισθητά το σχήμα τους, ύστερα από την προσθήκη ή αφαίρεση της ανωμαλίας μεγάλης κλίμακας (regional).

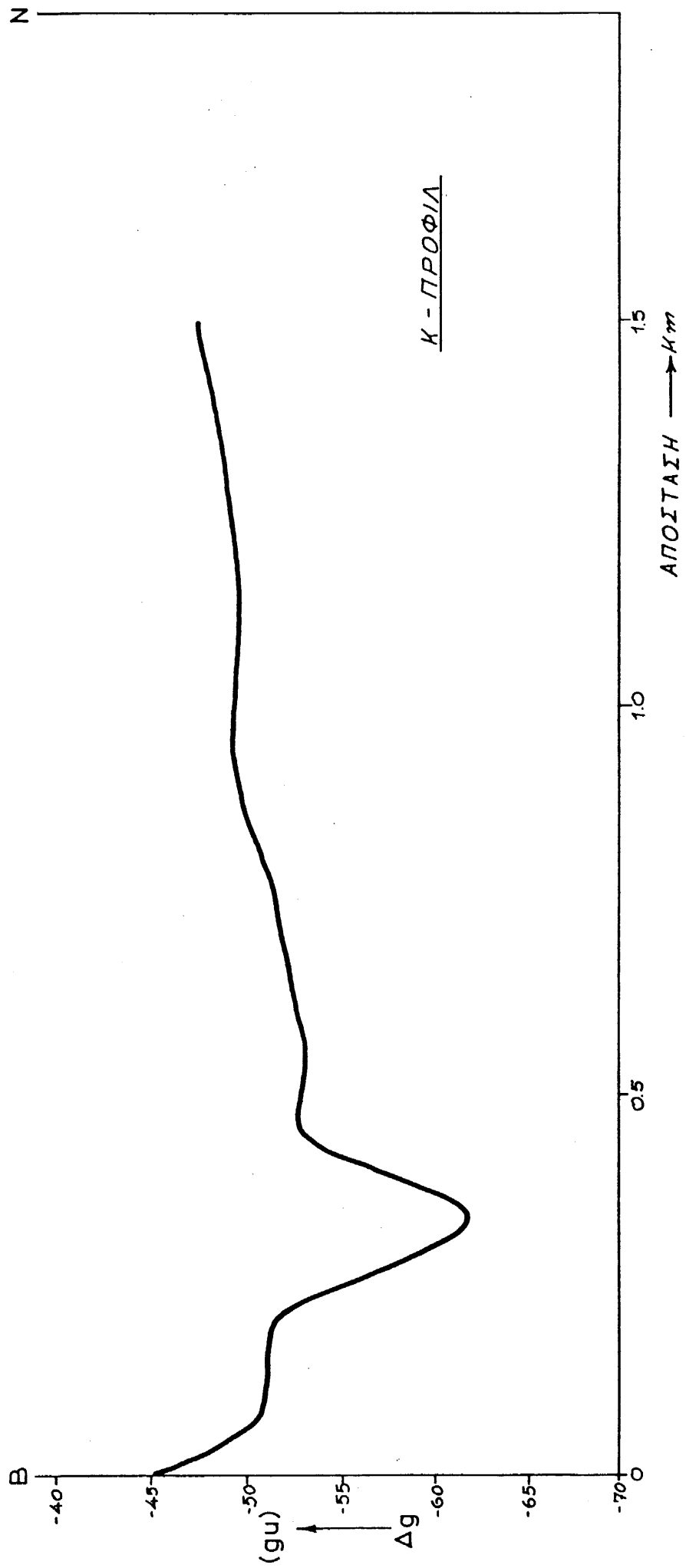
Αναφορικά με τα προφίλ K και L, που είναι σε διεύθυνση B - N, στο βόρειο άκρο τους παρατηρείται αντίστοιχα μια διακύμανση μικρού μήκους κύματος και πλάτους 11 και 7 περίπου στη βαρυτική ανωμαλία. (Σχήματα 6 και 7). Το σχήμα της ανωμαλίας συνιστά ένα βύθισμα σχήματος V πιθανόν μέσα στα πλειο - πλειστοκαίνικά ιζήματα (οριοθετημένο ενδεχόμενα από συζυγή ρήγματα). Το μέγεθος του βυθίσματος αυτού μπορεί να φθάσει τα 170 και 90 περίπου μέτρα, αντίστοιχα, με βάση τις πυκνότητες που χρησιμοποιήθηκαν στα προηγούμενα μοντέλα.

Αντίθετα, στο προφίλ P (Σχήμα 8) δεν σημειώνεται τίποτε το ιδιαίτερο, απλά η κλίση που εμφανίζει προς νότο πρέπει να αντικατοπτρίζει την κλίση των στρωμάτων προς τα νότια.

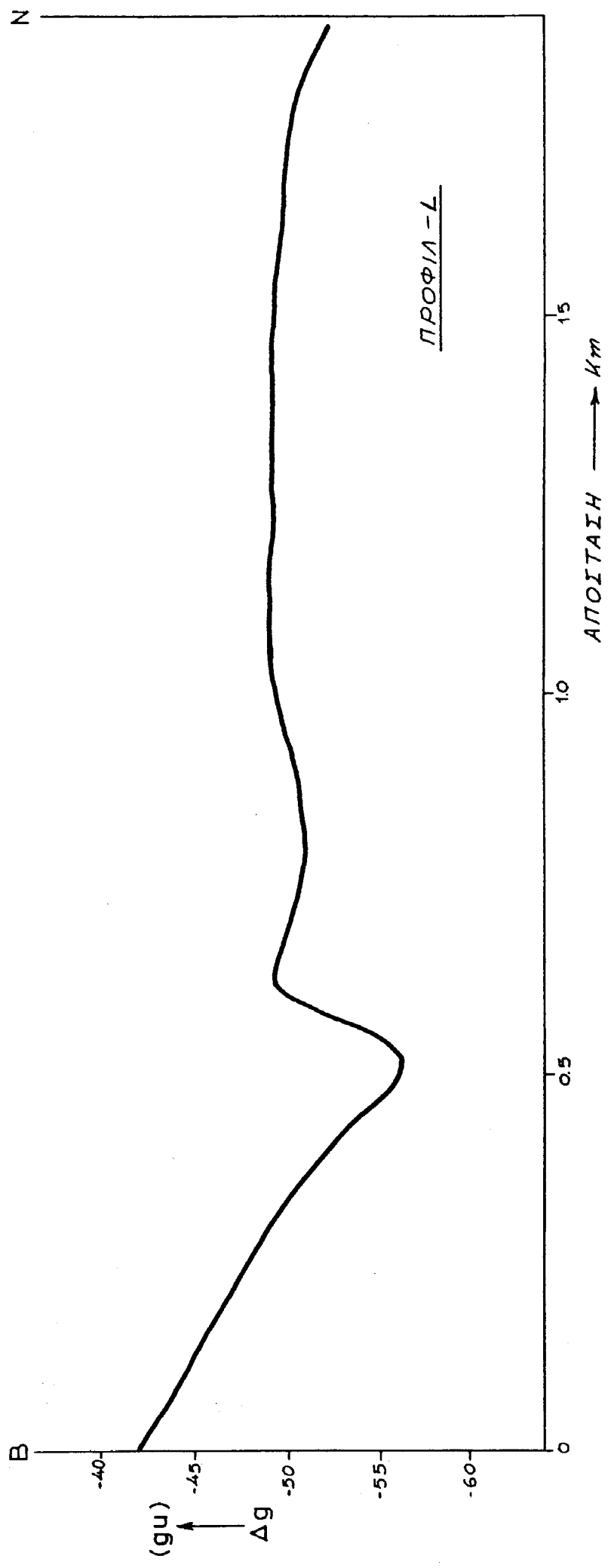
#### 5. Μαγνητικά

Είναι γνωστό οτι μέσα ή κοντά σε πόλεις η λήψη μαγνητικών μετρήσεων ολικού πεδίου είναι προβληματική, λόγω της ύπαρξης "μαγνητικού θορύβου" με την παρουσία αυτοκινήτων, σιδηρών κατασκευών κ.λ.π.

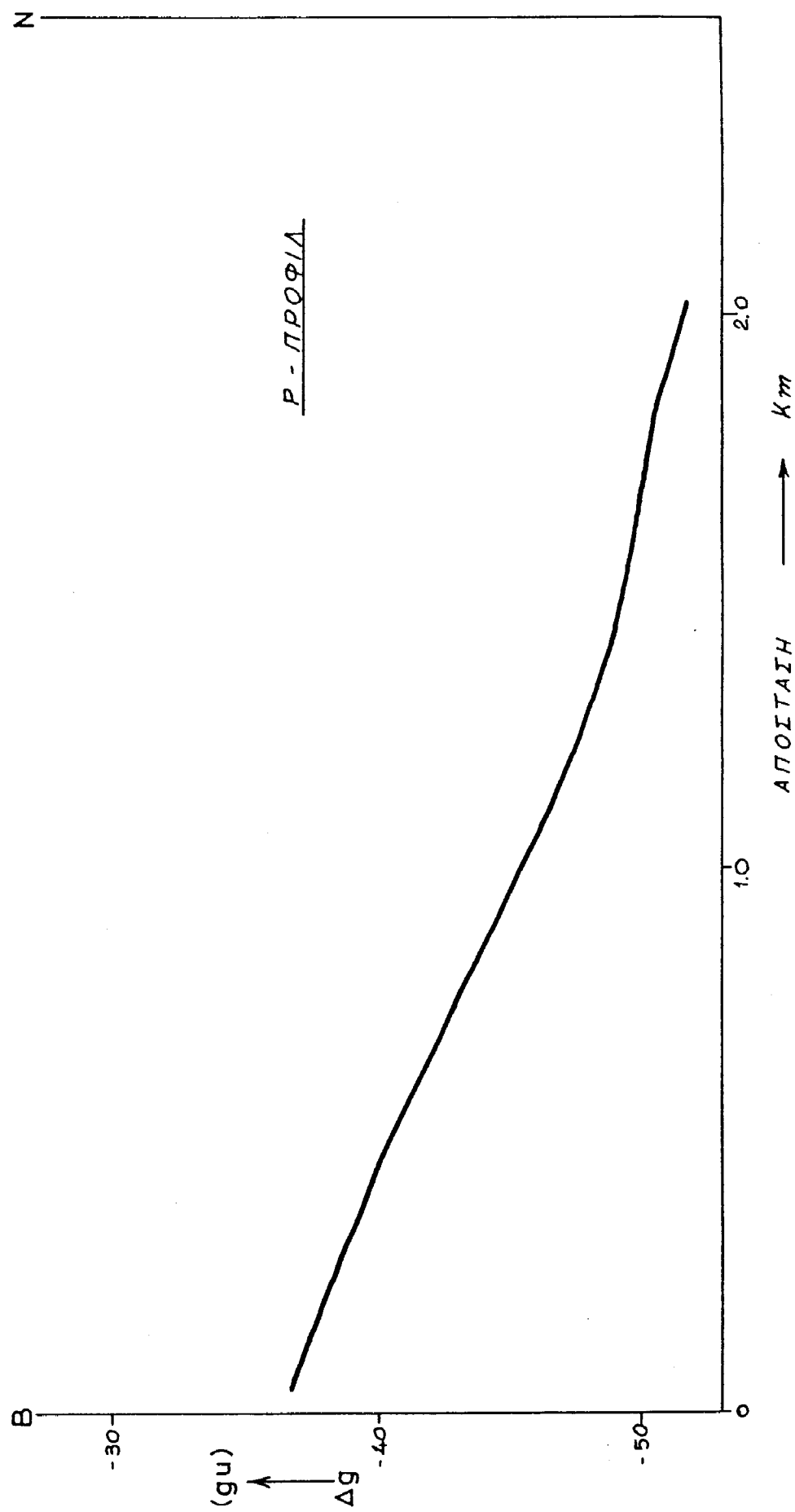
Έγινε όμως προσπάθεια λήψης μαγνητικών μετρήσεων ολικού πεδίου στα άκρα της λεκάνης, στο βόρειο και νοτιο - ανατολικό τμήμα, χωρίς όμως τα αποτελέσματα να είναι δυνατό να αξιολογηθούν, λόγω ύπαρξης μαγνητικού θορύβου.



Σχήμα 6 Γραφική παράσταση της βαρυτομετρικής τουνίς (K).



Σχήμα 7 Γραφική παράσταση της βαρούνιερων τουρίς (L).



Σχήμα 8 Υραφυμή παράσταση της βαρυτουετρικής τουνής ( $P$ ).

ΑΠΟΣΤΑΣΗ →  $RH$

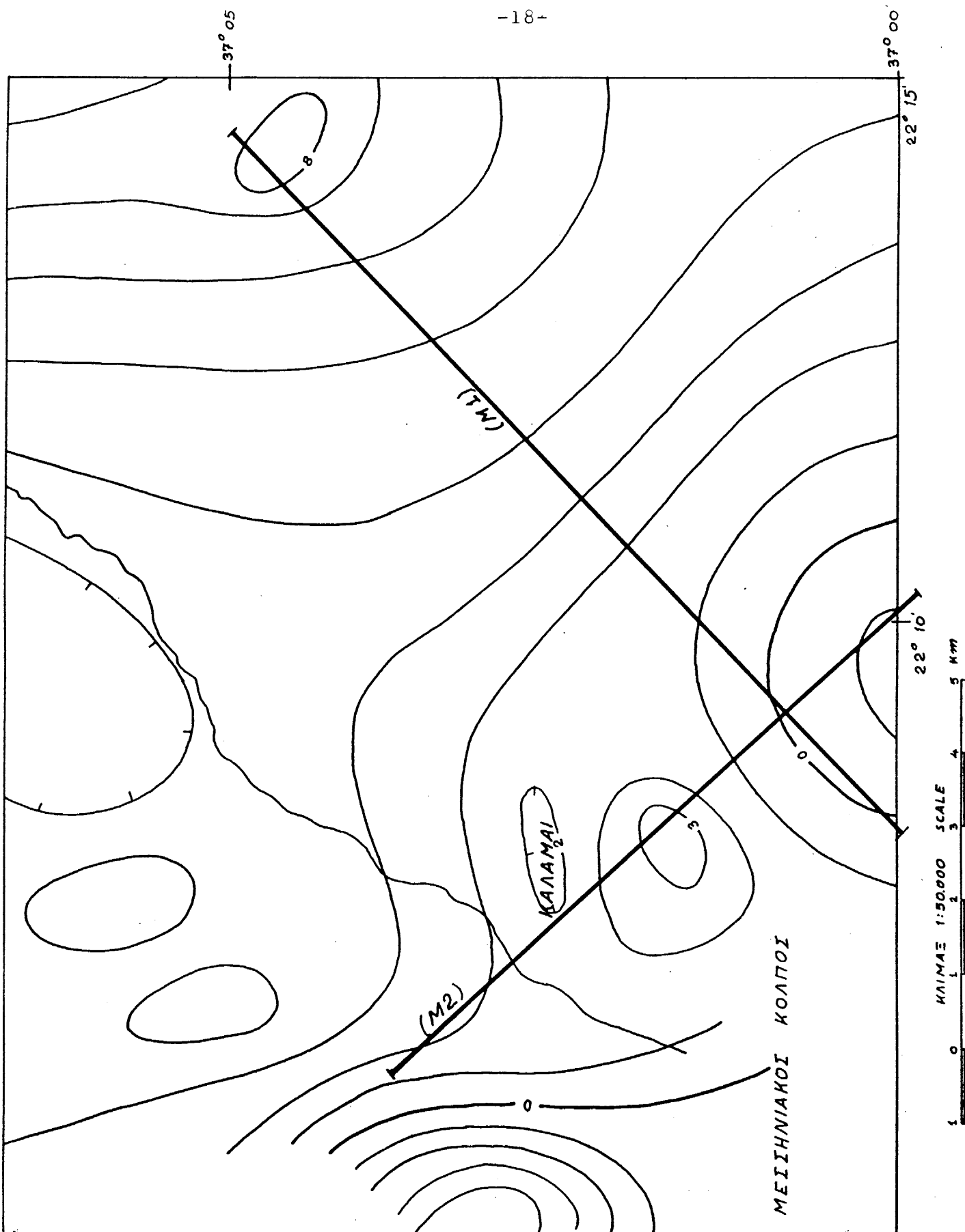
1.0  
2.0

Επειδή λοιπόν δεν ήταν δυνατόν να αξιολογηθούν οι με - τρήσεις εδάφους χρησιμοποιήθηκε ο αερομαγνητικός χάρτης της ευρύτερης περιοχής (Σχ. 9 ).

Όπως φαίνεται και από το σχήμα 9 , λόγω πτήσης του αεροσκάφους σε μεγάλο ύψος, δεν είναι δυνατόν να εντοπισθούν ρήγματα κ.λ.π. Μόνο υπολογισμοί του "μαγνητικού υπόβαθρου " είναι δυνατόν να γίνουν. Σαν μαγνητικό υπόβαθρο θα πρέπει να θεωρηθεί εδώ ο, τι μαγνητικό υλικό υφίσταται προγενέστερο των ασβεστολίθων της περιοχής . Τέτοιοι σχηματισμοί είναι οι μεταβασάλτες και οι Σερπεντινίτες που έχουν μαγνητική έκφραση.

Προκειμένου λοιπόν να διερευνηθεί το βάθος του μαγνητικού υπόβαθρου , που ουσιαστικά καθορίζει την κάτω επιφάνεια των ασβεστολίθων της περιοχής , σχηματίσθηκαν τα προφίλ  $M_1$  και  $M_2$  (Σχ. 9).

Όπως προκύπτει λοιπόν από τα παραπάνω προφίλ , με την εφαρμογή της μεθόδου της μισής κλίσης, το μαγνητικό υπόβαθρο κυμαίνεται από 1600 μέχρι 3800 m στο ανατολικό τμημα της λεκάνης. Επομένως το κατώ αάρο των Κρητιδικών - Ιουρασικών ασβεστόλιθων στο ανατολικό τμήμα της λεκάνης και κάτω από τα προφίλ  $M_1$  και  $M_2$  κυμαίνεται από 1600 m μέχρι 3800 m κάτω από την επιφάνεια του εδάφους.



**Σχήμα 9** Αερομαγνητικός χάρτης της ευρύτερης περιοχής της Καλαμάτας. M1 και M2 είναι τα προφίλ που χαράχθηκαν και έγιναν υπολογισμοί βάθους.

### ΣΥΜΠΕΡΑΣΜΑΤΑ

Με βάση τις δυναμικές μεθόδους της γεωφυσικής διασκό - πησης, είναι δυνατόν να εξαχθούν τα παρακάτω συμπεράσματα στην περιοχή Καλαμάτας.

1. Το πάχος των Πλειο - Πλειστοκαϊνικών ιζημάτων (μάργες-ψαμμίτες) στην βόρεια πλευρά της λεκάνης και κάτω από τα γεωφυσικά προφίλ κυμαίνεται σε μικρά σχετικά βάθη, μέχρι 400 περίπου μέτρα, μέχρι το κέντρο περίπου της Καλαμάτας. Από εκεί όμως και νοτιότερα το πάχος τους αυξάνεται αισθητά και είναι δυνατόν να υπερβαίνει τα 1000 μέτρα.

Πρός τα ανατολικά της λεκάνης, το πάχος των παραπάνω ιζηματογενών σχηματισμών μπορεί να φθάσει και τα 1200 μέτρα, αλλά αυτό αποτελεί το μέγιστο όριο διακύμανσης τους (Σχ. 4).

Η παρουσία ρηγμάτων στην βάση αλλά και πολύ πιθανό στο πάνω μέρος των σχηματισμών αυτών είναι δεδομένη.

2. Σε ότι αφορά τις αλλούβιακές αποθέσεις, το πάχος τους, που είναι γνωστό και από τις επιφανειακές γεωτρήσεις, μπορεί να φθάνει και τα 100 μέτρα, αυξανόμενο προς τα νότια.
3. Η παρουσία φλύσχη <sup>κ</sup> υπερείμενου του ασβεστολιθικού υπόβαθρου προς τα νότια της λεκάνης Καλαμάτας πρέπει να θεωρηθεί μάλλον απαραίτητη, προκειμένου να έχουμε γεωλογικά συμβιβαστά γεωφυσικά μοντέλα.
4. Σχετικά με το υπόβαθρο της λεκάνης, Ιουρασικοί - Κρητιδικοί Ασβεστόλιθοι, συμπεραινέται ότι είναι έντονα ρηγματωμένο. Κάτω από το Κέντρο της πόλης της Καλαμάτας και σε βάθος 600 περίπου μέτρα εκτείνεται ρήγμα με άλμα 2 περίπου χιλιόμετρα με μετάπτωση προς τα νότια. Η ακριβής διεύθυνση του ρήγματος αυτού δεν είναι δυνατόν να υπολογισθεί με ένα προφίλ, πρέπει όμως να είναι διεύθυνσης Α-Δ ή παραπλήσιας.

Στην περιοχή Φαρών , στα ανατολικά της λεκάνης , εντο - πίζεται σημαντικό ρήγμα με απότομο άλμα 1000 περίπου μέτρων , που μπορεί να έχει και μεγαλύτερη τιμή , με μετάπτωση προς τα ΒΔ (Σχ. 5) .

Γενικά στην περιοχή αυτή το υπόβαθρο της λεκάνης παρουσιάζει έντονη σχετικά μορφολογία.

5. Στο νοτιοανατολικό άκρο της Λεκάνης Καλαμάτας εντοπίζεται μικρή λεκάνη σχήματος V , καλυμένη από κορήματα πάχους περίπου 600 μέτρων . Τα κορήματα αυτά αποτελούν μέρος του μεγάλου κώνου που εντοπίζεται κοντά στις επιφανειακές εμφανίσεις του ασβεστόλιθου στο ίδιο άκρο της λεκάνης .
6. Τέλος από αερομαγνητικές εκτιμήσεις συνεπάγεται ότι η οάτω επιφάνεια των ασβεστολίθων , όπου βρίσκονται σε επαφή με τους προγενέστερους από αυτούς μεταβασάλτες και σερπεντινίτες , εκτείνεται σε βάθος 3.8 περίπου km.

ΠΑΡΑΡΤΗΜΑ I

Στοιχεία Βαρυτομετρικών σταθμών στην Περιοχή Καλαμάτας . Οι ανωμαλίες βαρύτητας έχουν ανεξάρτητο επίπεδο (arbitrary datum) .

1986 GRAVITY OBSERVATIONS

31

REFERENCE NUMBER	1 (1986)	ELEVATION	16,286 METRES
LONGITUDE	22 ° 3' E	EASTING*****	METRES
LATITUDE	37 ° 1' 48" N	NORTHING*****	METRES
EPOCH	11H 22M 13 11 1986	DAY NUMBER	31727.89028
OBSERVED GRAVITY	9798955.00 GU	NORMAL GRAVITY (1967)	9799066.09 GU
IGF CORRECTION	122.53 GU	TERRAIN COEFFICIENT	29.69 GU
TIDAL CORRECTION	1.19 GU	METER DRIFT	0.00 GU
FREE AIR ANOMALY	-60.89 GU	BOUGUER DENSITY	2.500
STANDARD BOUGUER ANOMALY (DENSITY = 2.670)	0.21 GU		
GEOLOGIC BOUGUER ANOMALY (DENSITY = 2.500)	-2.86 GU		

32

REFERENCE NUMBER	2 (1986)	ELEVATION	19,646 METRES
LONGITUDE	22 ° 9' 56" E	EASTING*****	METRES
LATITUDE	37 ° 1' 25" N	NORTHING*****	METRES
EPOCH	11H 47M 13 11 1986	DAY NUMBER	31727.90764
OBSERVED GRAVITY	9798956.43 GU	NORMAL GRAVITY (1967)	9799067.78 GU
IGF CORRECTION	122.53 GU	TERRAIN COEFFICIENT	28.96 GU
TIDAL CORRECTION	1.14 GU	METER DRIFT	-0.03 GU
FREE AIR ANOMALY	-53.81 GU	BOUGUER DENSITY	2.500
STANDARD BOUGUER ANOMALY (DENSITY = 2.670)	2.44 GU		
GEOLOGIC BOUGUER ANOMALY (DENSITY = 2.500)	-0.17 GU		

33

REFERENCE NUMBER	3 (1986)	ELEVATION	21,136 METRES
LONGITUDE	22 ° 9' 49" E	EASTING*****	METRES
LATITUDE	37 ° 1' 32" N	NORTHING*****	METRES
EPOCH	11H 53M 13 11 1986	DAY NUMBER	31727.91528
OBSERVED GRAVITY	9798955.44 GU	NORMAL GRAVITY (1967)	9799069.47 GU
IGF CORRECTION	122.52 GU	TERRAIN COEFFICIENT	28.79 GU
TIDAL CORRECTION	1.10 GU	METER DRIFT	-0.05 GU
FREE AIR ANOMALY	-48.80 GU	BOUGUER DENSITY	2.500
STANDARD BOUGUER ANOMALY (DENSITY = 2.670)	4.41 GU		
GEOLOGIC BOUGUER ANOMALY (DENSITY = 2.500)	1.80 GU		

34

REFERENCE NUMBER	4 (1986)	ELEVATION	19,850 METRES
LONGITUDE	22 ° 9' 45" E	EASTING*****	METRES
LATITUDE	37 ° 1' 24" N	NORTHING*****	METRES
EPOCH	12H 10M 13 11 1986	DAY NUMBER	31727.92361
OBSERVED GRAVITY	9798962.06 GU	NORMAL GRAVITY (1967)	9799069.95 GU
IGF CORRECTION	122.52 GU	TERRAIN COEFFICIENT	28.46 GU
TIDAL CORRECTION	1.06 GU	METER DRIFT	-0.07 GU
FREE AIR ANOMALY	-44.74 GU	BOUGUER DENSITY	2.500

1986 GRAVITY OBSERVATIONS

31

REFERENCE NUMBER	1 (1986)	ELEVATION	16,286 METRES
LONGITUDE	22° 9' 3" E	EASTING*****	METRES
LATITUDE	37° 1' 18" N	NORTHING*****	METRES
EPOCH	11H 22M 13 11 1986	DAY NUMBER	31727.99026
OBSERVED GRAVITY	9798955.00 GU	NORMAL GRAVITY (1967)	9799066.09 GU
IGF CORRECTION	122.53 GU	TERRAIN COEFFICIENT	29.69 GU
TIDAL CORRECTION	1.19 GU	METER DRIFT	0.00 GU
FREE AIR ANOMALY	-60.83 GU	BOUGUER DENSITY	2.500
STANDARD BOUGUER ANOMALY	(DENSITY = 2.670)	0.21 GU	
GEOLOGIC BOUGUER ANOMALY	(DENSITY = 2.500)	-2.86 GU	

32

REFERENCE NUMBER	2 (1986)	ELEVATION	19,646 METRES
LONGITUDE	22° 9' 56" E	EASTING*****	METRES
LATITUDE	37° 1' 25" N	NORTHING*****	METRES
EPOCH	11H 47M 13 11 1986	DAY NUMBER	31727.90764
OBSERVED GRAVITY	9798956.43 GU	NORMAL GRAVITY (1967)	9799067.78 GU
IGF CORRECTION	122.53 GU	TERRAIN COEFFICIENT	28.96 GU
TIDAL CORRECTION	1.14 GU	METER DRIFT	-0.03 GU
FREE AIR ANOMALY	-53.81 GU	BOUGUER DENSITY	2.500
STANDARD BOUGUER ANOMALY	(DENSITY = 2.670)	2.64 GU	
GEOLOGIC BOUGUER ANOMALY	(DENSITY = 2.500)	-0.17 GU	

33

REFERENCE NUMBER	3 (1986)	ELEVATION	21,196 METRES
LONGITUDE	22° 9' 49" E	EASTING*****	METRES
LATITUDE	37° 1' 32" N	NORTHING*****	METRES
EPOCH	11H 59M 13 11 1986	DAY NUMBER	31727.91528
OBSERVED GRAVITY	9798955.44 GU	NORMAL GRAVITY (1967)	9799069.47 GU
IGF CORRECTION	122.52 GU	TERRAIN COEFFICIENT	28.79 GU
TIDAL CORRECTION	1.10 GU	METER DRIFT	-0.05 GU
FREE AIR ANOMALY	-48.80 GU	BOUGUER DENSITY	2.500
STANDARD BOUGUER ANOMALY	(DENSITY = 2.670)	4.41 GU	
GEOLOGIC BOUGUER ANOMALY	(DENSITY = 2.500)	1.80 GU	

34

REFERENCE NUMBER	4 (1986)	ELEVATION	19,858 METRES
LONGITUDE	22° 9' 45" E	EASTING*****	METRES
LATITUDE	37° 1' 34" N	NORTHING*****	METRES
EPOCH	12H 10M 13 11 1986	DAY NUMBER	31727.92361
OBSERVED GRAVITY	9798962.36 GU	NORMAL GRAVITY (1967)	9799069.95 GU
IGF CORRECTION	122.52 GU	TERRAIN COEFFICIENT	28.46 GU
TIDAL CORRECTION	1.05 GU	METER DRIFT	-0.07 GU
FREE AIR ANOMALY	-44.94 GU	BOUGUER DENSITY	2.500

STANDARD BOUGUER ANOMALY (DENSITY = 2.670) -1.47 GU  
GEOLOGIC BOUGUER ANOMALY (DENSITY = 2.500) -2.64 GU

55  
REFERENCE NUMBER 5 (1986) ELEVATION 17,931 METRES  
LONGITUDE 22 8 39 E EASTING\*\*\*\*\* METRES  
LATITUDE 37 1 39 N NORTHING\*\*\*\*\* METRES  
EPOCH 12H 20M 13 11 1986 DAY NUMBER 31727.93054  
OBSERVED GRAVITY 9798965.45 GU NORMAL GRAVITY (1967) 9799071.16 GU  
IGF CORRECTION 122.52 GU TERRAIN COEFFICIENT 25.80 GU  
TIDAL CORRECTION 1.02 GU METER DRIFT -0.08 GU  
FREE AIR ANOMALY -50.43 GU BOUGUER DENSITY 2.500  
STANDARD BOUGUER ANOMALY (DENSITY = 2.670) -1.60 GU  
GEOLOGIC BOUGUER ANOMALY (DENSITY = 2.500) -4.06 GU

56  
REFERENCE NUMBER 6 (1986) ELEVATION 14,679 METRES  
LONGITUDE 22 8 32 E EASTING\*\*\*\*\* METRES  
LATITUDE 37 1 44 N NORTHING\*\*\*\*\* METRES  
EPOCH 12H 36M 13 11 1986 DAY NUMBER 31727.94167  
OBSERVED GRAVITY 9798973.61 GU NORMAL GRAVITY (1967) 9799072.37 GU  
IGF CORRECTION 122.51 GU TERRAIN COEFFICIENT 23.30 GU  
TIDAL CORRECTION 0.94 GU METER DRIFT -0.10 GU  
FREE AIR ANOMALY -53.46 GU BOUGUER DENSITY 2.500  
STANDARD BOUGUER ANOMALY (DENSITY = 2.670) -7.68 GU  
GEOLOGIC BOUGUER ANOMALY (DENSITY = 2.500) -9.99 GU

57  
REFERENCE NUMBER 7 (1986) ELEVATION 14,076 METRES  
LONGITUDE 22 8 29 E EASTING\*\*\*\*\* METRES  
LATITUDE 37 1 47 N NORTHING\*\*\*\*\* METRES  
EPOCH 12H 49M 13 11 1986 DAY NUMBER 31727.95069  
OBSERVED GRAVITY 9798974.87 GU NORMAL GRAVITY (1967) 9799073.09 GU  
IGF CORRECTION 122.51 GU TERRAIN COEFFICIENT 20.70 GU  
TIDAL CORRECTION 0.86 GU METER DRIFT -0.12 GU  
FREE AIR ANOMALY -54.78 GU BOUGUER DENSITY 2.500  
STANDARD BOUGUER ANOMALY (DENSITY = 2.670) -15.26 GU  
GEOLOGIC BOUGUER ANOMALY (DENSITY = 2.500) -17.22 GU

58  
REFERENCE NUMBER 8 (1986) ELEVATION 15,872 METRES  
LONGITUDE 22 8 26 E EASTING\*\*\*\*\* METRES  
LATITUDE 37 1 49 N NORTHING\*\*\*\*\* METRES  
EPOCH 13H 0M 13 11 1986 DAY NUMBER 31727.95833  
OBSERVED GRAVITY 9798971.31 GU NORMAL GRAVITY (1967) 9799073.57 GU  
IGF CORRECTION 122.51 GU TERRAIN COEFFICIENT 18.25 GU  
TIDAL CORRECTION 0.80 GU METER DRIFT -0.14 GU  
FREE AIR ANOMALY -53.27 GU BOUGUER DENSITY 2.500  
STANDARD BOUGUER ANOMALY (DENSITY = 2.670) -22.29 GU  
GEOLOGIC BOUGUER ANOMALY (DENSITY = 2.500) -23.74 GU

B1  
REFERENCE NUMBER 1 (1986) ELEVATION 16,286 METRES  
LONGITUDE 22 8 3 E EASTING\*\*\*\*\* METRES  
LATITUDE 37 1 18 N NORTHING\*\*\*\*\* METRES  
EPOCH 13H 12M 13 11 1986 DAY NUMBER 31727.96667  
OBSERVED GRAVITY 9798955.26 GU NORMAL GRAVITY (1967) 9799066.09 GU  
IGF CORRECTION 122.53 GU TERRAIN COEFFICIENT 29.75 GU  
TIDAL CORRECTION 0.72 GU METER DRIFT -0.15 GU  
FREE AIR ANOMALY -60.57 GU BOUGUER DENSITY 2.500  
STANDARD BOUGUER ANOMALY (DENSITY = 2.670) -0.68 GU  
GEOLOGIC BOUGUER ANOMALY (DENSITY = 2.500) -2.52 GU

59  
REFERENCE NUMBER 9 (1986) ELEVATION 14,316 METRES  
LONGITUDE 22 8 30 E EASTING\*\*\*\*\* METRES

LONGITUDE	22 1 50 E	NORTHING***** METRES
EPOCH	13H 25M 13 11 1986	DAY NUMBER 31727.97569
OBSERVED GRAVITY	9798975.21 GU	NORMAL GRAVITY (1967) 9799074.06 GU
IGF CORRECTION	122.51 GU	TERRAIN COEFFICIENT 16.49 GU
TIDAL CORRECTION	0.48 GU	METER DRIFT -0.17 GU
FREE AIR ANOMALY	-54.46 GU	BOUGUER DENSITY 2.500
STANDARD BOUGUER	ANOMALY (DENSITY = 2.670)	-24.12 GU
GEOLOGIC BOUGUER	ANOMALY (DENSITY = 2.500)	-27.44 GU

S10

REFERENCE NUMBER	10 (1986)	ELEVATION 12.307 METRES
LONGITUDE	22 8 14 E	EASTING***** METRES
LATITUDE	37 1 52 N	NORTHING***** METRES
EPOCH	13H 37M 13 11 1986	DAY NUMBER 31727.98409
OBSERVED GRAVITY	9798979.29 GU	NORMAL GRAVITY (1967) 9799074.30 GU
IGF CORRECTION	122.51 GU	TERRAIN COEFFICIENT 15.08 GU
TIDAL CORRECTION	0.54 GU	METER DRIFT -0.19 GU
FREE AIR ANOMALY	-57.03 GU	BOUGUER DENSITY 2.500
STANDARD BOUGUER	ANOMALY (DENSITY = 2.670)	-30.54 GU
GEOLOGIC BOUGUER	ANOMALY (DENSITY = 2.500)	-31.78 GU

S11

REFERENCE NUMBER	11 (1986)	ELEVATION 13.219 METRES
LONGITUDE	22 8 6 E	EASTING***** METRES
LATITUDE	37 1 58 N	NORTHING***** METRES
EPOCH	13H 51M 13 11 1986	DAY NUMBER 31727.99375
OBSERVED GRAVITY	9798977.25 GU	NORMAL GRAVITY (1967) 9799075.74 GU
IGF CORRECTION	122.50 GU	TERRAIN COEFFICIENT 13.59 GU
TIDAL CORRECTION	0.44 GU	METER DRIFT -0.21 GU
FREE AIR ANOMALY	-57.70 GU	BOUGUER DENSITY 2.500
STANDARD BOUGUER	ANOMALY (DENSITY = 2.670)	-36.21 GU
GEOLOGIC BOUGUER	ANOMALY (DENSITY = 2.500)	-37.17 GU

S12

REFERENCE NUMBER	12 (1986)	ELEVATION 14.358 METRES
LONGITUDE	22 8 0 E	EASTING***** METRES
LATITUDE	37 2 3 N	NORTHING***** METRES
EPOCH	14H 5M 13 11 1986	DAY NUMBER 31728.00347
OBSERVED GRAVITY	9798975.79 GU	NORMAL GRAVITY (1967) 9799076.95 GU
IGF CORRECTION	122.50 GU	TERRAIN COEFFICIENT 13.20 GU
TIDAL CORRECTION	0.38 GU	METER DRIFT -0.23 GU
FREE AIR ANOMALY	-56.85 GU	BOUGUER DENSITY 2.500
STANDARD BOUGUER	ANOMALY (DENSITY = 2.670)	-37.68 GU
GEOLOGIC BOUGUER	ANOMALY (DENSITY = 2.500)	-38.45 GU

S13

REFERENCE NUMBER	13 (1986)	ELEVATION 12.136 METRES
LONGITUDE	22 7 52 E	EASTING***** METRES
LATITUDE	37 2 5 N	NORTHING***** METRES
EPOCH	14H 18M 13 11 1986	DAY NUMBER 31728.01250
OBSERVED GRAVITY	9798979.89 GU	NORMAL GRAVITY (1967) 9799077.44 GU
IGF CORRECTION	122.50 GU	TERRAIN COEFFICIENT 12.84 GU
TIDAL CORRECTION	0.24 GU	METER DRIFT -0.25 GU
FREE AIR ANOMALY	-60.10 GU	BOUGUER DENSITY 2.500
STANDARD BOUGUER	ANOMALY (DENSITY = 2.670)	-39.40 GU
GEOLOGIC BOUGUER	ANOMALY (DENSITY = 2.500)	-40.24 GU

S14

REFERENCE NUMBER	14 (1986)	ELEVATION 14.737 METRES
LONGITUDE	22 7 43 E	EASTING***** METRES
LATITUDE	37 2 10 N	NORTHING***** METRES
EPOCH	14H 38M 13 11 1986	DAY NUMBER 31728.02639
OBSERVED GRAVITY	9798974.70 GU	NORMAL GRAVITY (1967) 9799078.64 GU
IGF CORRECTION	122.50 GU	TERRAIN COEFFICIENT 12.38 GU
TIDAL CORRECTION	0.08 GU	METER DRIFT -0.27 GU
FREE AIR ANOMALY	-58.43 GU	BOUGUER DENSITY 2.500

STANDARD BOUGUER ANOMALY (DENSITY = 2.670) -43.07 GU  
GEOLOGIC BOUGUER ANOMALY (DENSITY = 2.500) -42.41 GU

S15

REFERENCE NUMBER 15 (1986) ELEVATION 15.430 METRES  
LONGITUDE 22° 7' 36" E EASTING\*\*\*\*\* METRES  
LATITUDE 37° 2' 16" N NORTHING\*\*\*\*\* METRES  
EPOCH 14H 49M 13 11 1986 DAY NUMBER 31728.03403  
OBSERVED GRAVITY 9798974.00 GU NORMAL GRAVITY (1967) 9799066.09 GU  
IGF CORRECTION 122.49 GU TERRAIN COEFFICIENT 11.98 GU  
TIDAL CORRECTION 0.00 GU METER DRIFT -0.29 GU  
FREE AIR ANOMALY -57.70 GU BOUGUER DENSITY 2.500  
STANDARD BOUGUER ANOMALY (DENSITY = 2.670) -43.27 GU  
GEOLOGIC BOUGUER ANOMALY (DENSITY = 2.500) -43.68 GU

S16

REFERENCE NUMBER 16 (1986) ELEVATION 18.207 METRES  
LONGITUDE 22° 7' 28" E EASTING\*\*\*\*\* METRES  
LATITUDE 37° 2' 19" N NORTHING\*\*\*\*\* METRES  
EPOCH 15H 10M 13 11 1986 DAY NUMBER 31728.04861  
OBSERVED GRAVITY 9798969.92 GU NORMAL GRAVITY (1967) 9799080.82 GU  
IGF CORRECTION 122.49 GU TERRAIN COEFFICIENT 11.48 GU  
TIDAL CORRECTION -0.15 GU METER DRIFT -0.32 GU  
FREE AIR ANOMALY -54.71 GU BOUGUER DENSITY 2.500  
STANDARD BOUGUER ANOMALY (DENSITY = 2.670) -44.44 GU  
GEOLOGIC BOUGUER ANOMALY (DENSITY = 2.500) -44.60 GU

B1

REFERENCE NUMBER 1 (1986) ELEVATION 14.286 METRES  
LONGITUDE 22° 9' 3" E EASTING\*\*\*\*\* METRES  
LATITUDE 37° 1' 18" N NORTHING\*\*\*\*\* METRES  
EPOCH 15H 23M 13 11 1986 DAY NUMBER 31728.05764  
OBSERVED GRAVITY 9798955.00 GU NORMAL GRAVITY (1967) 9799066.09 GU  
IGF CORRECTION 122.53 GU TERRAIN COEFFICIENT 29.75 GU  
TIDAL CORRECTION -0.24 GU METER DRIFT -0.34 GU  
FREE AIR ANOMALY -60.83 GU BOUGUER DENSITY 2.500  
STANDARD BOUGUER ANOMALY (DENSITY = 2.670) -0.37 GU  
GEOLOGIC BOUGUER ANOMALY (DENSITY = 2.500) -2.79 GU

1986 GRAVITY OBSERVATIONS

B1

REFERENCE NUMBER	1 (1986)	ELEVATION	16.286 METRES
LONGITUDE	22° 9' 3" E	EASTING	***** METRES
LATITUDE	37° 1' 16" N	NORTHING	***** METRES
EPOCH	10H 42M 14 11 1986	DAY NUMBER	31728.86250
OBSERVED GRAVITY	9798955.00 GU	NORMAL GRAVITY (1967)	9799066.09 GU
IGF CORRECTION	122.53 GU	TERRAIN COEFFICIENT	29.75 GU
TIDAL CORRECTION	1.31 GU	METER DRIFT	0.00 GU
FREE AIR ANOMALY	-60.83 GU	BOUGUER DENSITY	2.500
STANDARD BOUGUER	ANOMALY (DENSITY = 2.670)	0.37 GU	
GEOLOGIC BOUGUER	ANOMALY (DENSITY = 2.500)	-2.79 GU	

B17

REFERENCE NUMBER	17 (1986)	ELEVATION	17.046 METRES
LONGITUDE	22° 9' 11" E	EASTING	***** METRES
LATITUDE	37° 1' 9" N	NORTHING	***** METRES
EPOCH	10H 50M 14 11 1986	DAY NUMBER	31728.86806
OBSERVED GRAVITY	9798951.64 GU	NORMAL GRAVITY (1967)	9799063.92 GU
IGF CORRECTION	122.54 GU	TERRAIN COEFFICIENT	31.07 GU
TIDAL CORRECTION	1.34 GU	METER DRIFT	0.08 GU
FREE AIR ANOMALY	-58.75 GU	BOUGUER DENSITY	2.500
STANDARD BOUGUER	ANOMALY (DENSITY = 2.670)	4.79 GU	
GEOLOGIC BOUGUER	ANOMALY (DENSITY = 2.500)	1.70 GU	

B18

REFERENCE NUMBER	18 (1986)	ELEVATION	24.296 METRES
LONGITUDE	22° 9' 15" E	EASTING	***** METRES
LATITUDE	37° 0' 50" N	NORTHING	***** METRES
EPOCH	11H 2M 14 11 1986	DAY NUMBER	31728.87639
OBSERVED GRAVITY	9798927.19 GU	NORMAL GRAVITY (1967)	9799061.26 GU
IGF CORRECTION	122.54 GU	TERRAIN COEFFICIENT	32.90 GU
TIDAL CORRECTION	1.36 GU	METER DRIFT	0.19 GU
FREE AIR ANOMALY	-59.12 GU	BOUGUER DENSITY	2.500
STANDARD BOUGUER	ANOMALY (DENSITY = 2.670)	1.54 GU	
GEOLOGIC BOUGUER	ANOMALY (DENSITY = 2.500)	-0.71 GU	

B19

REFERENCE NUMBER	19 (1986)	ELEVATION	21.179 METRES
LONGITUDE	22° 9' 19" E	EASTING	***** METRES
LATITUDE	37° 0' 50" N	NORTHING	***** METRES
EPOCH	11H 14M 14 11 1986	DAY NUMBER	31728.88611
OBSERVED GRAVITY	9798926.43 GU	NORMAL GRAVITY (1967)	9799059.33 GU
IGF CORRECTION	122.55 GU	TERRAIN COEFFICIENT	31.50 GU
TIDAL CORRECTION	1.38 GU	METER DRIFT	0.22 GU
FREE AIR ANOMALY	-47.54 GU	BOUGUER DENSITY	2.500

STANDARD BOUGUER ANOMALY (DENSITY = 2.670) -7.24 GU  
GEOLOGIC BOUGUER ANOMALY (DENSITY = 2.500) -9.26 GU

320  
REFERENCE NUMBER 20 (1986) ELEVATION 24.759 METRES  
LONGITUDE 22° 9' 21" E EASTING\*\*\*\*\* METRES  
LATITUDE 37° 0' 40" N NORTHING\*\*\*\*\* METRES  
EPOCH 11H 25M 14 11 1986 DAY NUMBER 31728.89236  
OBSERVED GRAVITY 9798917.87 GU NORMAL GRAVITY (1967) 9799056.91 GU  
IGF CORRECTION 122.55 GU TERRAIN COEFFICIENT 36.61 GU  
TIDAL CORRECTION 1.39 GU METER DRIFT 0.41 GU  
FREE AIR ANOMALY -62.64 GU BOUGUER DENSITY 2.500  
STANDARD BOUGUER ANOMALY (DENSITY = 2.670) 7.40 GU  
GEOLOGIC BOUGUER ANOMALY (DENSITY = 2.500) 4.50 GU

321  
REFERENCE NUMBER 21 (1986) ELEVATION 41.699 METRES  
LONGITUDE 22° 9' 31" E EASTING\*\*\*\*\* METRES  
LATITUDE 37° 0' 33" N NORTHING\*\*\*\*\* METRES  
EPOCH 11H 35M 14 11 1986 DAY NUMBER 31728.89931  
OBSERVED GRAVITY 9798862.29 GU NORMAL GRAVITY (1967) 9799055.23 GU  
IGF CORRECTION 122.56 GU TERRAIN COEFFICIENT 40.07 GU  
TIDAL CORRECTION 1.39 GU METER DRIFT 0.50 GU  
FREE AIR ANOMALY -64.25 GU BOUGUER DENSITY 2.500  
STANDARD BOUGUER ANOMALY (DENSITY = 2.670) -3.95 GU  
GEOLOGIC BOUGUER ANOMALY (DENSITY = 2.500) -6.24 GU

322  
REFERENCE NUMBER 22 (1986) ELEVATION 64.522 METRES  
LONGITUDE 22° 9' 40" E EASTING\*\*\*\*\* METRES  
LATITUDE 37° 0' 25" N NORTHING\*\*\*\*\* METRES  
EPOCH 11H 47M 14 11 1986 DAY NUMBER 31728.90764  
OBSERVED GRAVITY 9798803.80 GU NORMAL GRAVITY (1967) 9799053.29 GU  
IGF CORRECTION 122.56 GU TERRAIN COEFFICIENT 43.46 GU  
TIDAL CORRECTION 1.38 GU METER DRIFT 0.62 GU  
FREE AIR ANOMALY -50.38 GU BOUGUER DENSITY 2.500  
STANDARD BOUGUER ANOMALY (DENSITY = 2.670) -6.52 GU  
GEOLOGIC BOUGUER ANOMALY (DENSITY = 2.500) -7.71 GU

24  
REFERENCE NUMBER 24 (1986) ELEVATION 89.752 METRES  
LONGITUDE 22° 9' 43" E EASTING\*\*\*\*\* METRES  
LATITUDE 37° 0' 12" N NORTHING\*\*\*\*\* METRES  
EPOCH 12H 6M 14 11 1986 DAY NUMBER 31728.92083  
OBSERVED GRAVITY 9798765.28 GU NORMAL GRAVITY (1967) 9799050.15 GU  
IGF CORRECTION 122.57 GU TERRAIN COEFFICIENT 38.46 GU  
TIDAL CORRECTION 1.34 GU METER DRIFT 0.80 GU  
FREE AIR ANOMALY -7.90 GU BOUGUER DENSITY 2.500  
STANDARD BOUGUER ANOMALY (DENSITY = 2.670) -5.69 GU  
GEOLOGIC BOUGUER ANOMALY (DENSITY = 2.500) -3.94 GU

23  
REFERENCE NUMBER 23 (1986) ELEVATION 77.127 METRES  
LONGITUDE 22° 9' 40" E EASTING\*\*\*\*\* METRES  
LATITUDE 37° 0' 18" N NORTHING\*\*\*\*\* METRES  
EPOCH 12H 18M 14 11 1986 DAY NUMBER 31728.92917  
OBSERVED GRAVITY 9798785.56 GU NORMAL GRAVITY (1967) 9799051.60 GU  
IGF CORRECTION 122.57 GU TERRAIN COEFFICIENT 41.44 GU  
TIDAL CORRECTION 1.31 GU METER DRIFT 0.91 GU  
FREE AIR ANOMALY -28.03 GU BOUGUER DENSITY 2.500  
STANDARD BOUGUER ANOMALY (DENSITY = 2.670) -3.70 GU  
GEOLOGIC BOUGUER ANOMALY (DENSITY = 2.500) -4.18 GU

17  
REFERENCE NUMBER 17 (1986) ELEVATION 17.346 METRES  
LONGITUDE 22° 9' 11" E NORTHING\*\*\*\*\* METRES

LATITUDE 37 1 18 N  
 EPOCH 12H 27M 14 11 1986 DAY NUMBER 31728.93542  
 OBSERVED GRAVITY 9798950.74 GU NORMAL GRAVITY (1967) 9799060.92 GU  
 IGF CORRECTION 122.54 GU TERRAIN COEFFICIENT 32.88 GU  
 TIDAL CORRECTION 1.28 GU METER DRIFT 1.00 GU  
 FREE AIR ANOMALY -59.65 GU BOUGUER DENSITY 2.500  
 STANDARD BOUGUER ANOMALY (DENSITY = 2.670) 7.09 GU  
 GEOLOGIC BOUGUER ANOMALY (DENSITY = 2.500) 2.91 GU

**B1**  
 REFERENCE NUMBER 1 (1986) ELEVATION 16.286 METRES  
 LONGITUDE 22 9 3 E EASTING\*\*\*\*\* METRES  
 LATITUDE 37 1 18 N NORTHING\*\*\*\*\* METRES  
 EPOCH 12H 32M 14 11 1986 DAY NUMBER 31728.93889  
 OBSERVED GRAVITY 9798955.00 GU NORMAL GRAVITY (1967) 9799066.09 GU  
 IGF CORRECTION 122.53 GU TERRAIN COEFFICIENT 29.75 GU  
 TIDAL CORRECTION 1.26 GU METER DRIFT 1.05 GU  
 FREE AIR ANOMALY -60.83 GU BOUGUER DENSITY 2.500  
 STANDARD BOUGUER ANOMALY (DENSITY = 2.670) 0.37 GU  
 GEOLOGIC BOUGUER ANOMALY (DENSITY = 2.500) -2.79 GU

**S25**  
 REFERENCE NUMBER 25 (1986) ELEVATION 16.359 METRES  
 LONGITUDE 22 7 17 E EASTING\*\*\*\*\* METRES  
 LATITUDE 37 2 25 N NORTHING\*\*\*\*\* METRES  
 EPOCH 12H 44M 14 11 1986 DAY NUMBER 31728.94722  
 OBSERVED GRAVITY 9798975.34 GU NORMAL GRAVITY (1967) 9799082.26 GU  
 IGF CORRECTION 122.49 GU TERRAIN COEFFICIENT 11.00 GU  
 TIDAL CORRECTION 1.20 GU METER DRIFT 1.16 GU  
 FREE AIR ANOMALY -56.44 GU BOUGUER DENSITY 2.500  
 STANDARD BOUGUER ANOMALY (DENSITY = 2.670) -45.38 GU  
 GEOLOGIC BOUGUER ANOMALY (DENSITY = 2.500) -45.60 GU

**S26**  
 REFERENCE NUMBER 26 (1986) ELEVATION 19.547 METRES  
 LONGITUDE 22 7 9 E EASTING\*\*\*\*\* METRES  
 LATITUDE 37 2 28 N NORTHING\*\*\*\*\* METRES  
 EPOCH 13H 57M 14 11 1986 DAY NUMBER 31728.99792  
 OBSERVED GRAVITY 9798972.92 GU NORMAL GRAVITY (1967) 9799082.99 GU  
 IGF CORRECTION 122.49 GU TERRAIN COEFFICIENT 10.48 GU  
 TIDAL CORRECTION 0.74 GU METER DRIFT 1.86 GU  
 FREE AIR ANOMALY -49.75 GU BOUGUER DENSITY 2.500  
 STANDARD BOUGUER ANOMALY (DENSITY = 2.670) -43.65 GU  
 GEOLOGIC BOUGUER ANOMALY (DENSITY = 2.500) -43.57 GU

**S25**  
 REFERENCE NUMBER 25 (1986) ELEVATION 16.359 METRES  
 LONGITUDE 22 7 17 E EASTING\*\*\*\*\* METRES  
 LATITUDE 37 2 25 N NORTHING\*\*\*\*\* METRES  
 EPOCH 14H 7M 14 11 1986 DAY NUMBER 31729.00486  
 OBSERVED GRAVITY 9798974.40 GU NORMAL GRAVITY (1967) 9799082.26 GU  
 IGF CORRECTION 122.49 GU TERRAIN COEFFICIENT 11.00 GU  
 TIDAL CORRECTION 0.66 GU METER DRIFT 1.95 GU  
 FREE AIR ANOMALY -57.39 GU BOUGUER DENSITY 2.500  
 STANDARD BOUGUER ANOMALY (DENSITY = 2.670) -46.32 GU  
 GEOLOGIC BOUGUER ANOMALY (DENSITY = 2.500) -46.54 GU

**S27**  
 REFERENCE NUMBER 27 (1986) ELEVATION 28.084 METRES  
 LONGITUDE 22 7 1 E EASTING\*\*\*\*\* METRES  
 LATITUDE 37 2 24 N NORTHING\*\*\*\*\* METRES  
 EPOCH 14H 16M 14 11 1986 DAY NUMBER 31729.01111  
 OBSERVED GRAVITY 9798958.09 GU NORMAL GRAVITY (1967) 9799084.44 GU  
 IGF CORRECTION 122.48 GU TERRAIN COEFFICIENT 9.95 GU  
 TIDAL CORRECTION 0.59 GU METER DRIFT 2.04 GU  
 FREE AIR ANOMALY -37.31 GU BOUGUER DENSITY 2.500

STANDARD BOUGUER ANOMALY (DENSITY = 2.670) -42.90 GU  
GEOLOGIC BOUGUER ANOMALY (DENSITY = 2.500) -42.15 GU

S28

REFERENCE NUMBER 28 (1986) ELEVATION 25.200 METRES  
LONGITUDE 22 6 51 E EASTING\*\*\*\*\* METRES  
LATITUDE 37 2 29 N NORTHING\*\*\*\*\* METRES  
EPOCH 14H 27M 14 11 1986 DAY NUMBER 31729.01875  
OBSERVED GRAVITY 9798979.53 GU NORMAL GRAVITY (1967) 9799085.41 GU  
IGF CORRECTION 122.48 GU TERRAIN COEFFICIENT 9.47 GU  
TIDAL CORRECTION 0.50 GU METER DRIFT 2.14 GU  
FREE AIR ANOMALY -04.08 GU BOUGUER DENSITY 2.500  
STANDARD BOUGUER ANOMALY (DENSITY = 2.670) -37.02 GU  
GEOLOGIC BOUGUER ANOMALY (DENSITY = 2.500) -36.38 GU

S29

REFERENCE NUMBER 29 (1986) ELEVATION 27.272 METRES  
LONGITUDE 22 6 44 E EASTING\*\*\*\*\* METRES  
LATITUDE 37 2 47 N NORTHING\*\*\*\*\* METRES  
EPOCH 14H 39M 14 11 1986 DAY NUMBER 31729.02708  
OBSERVED GRAVITY 9798977.20 GU NORMAL GRAVITY (1967) 9799087.58 GU  
IGF CORRECTION 122.47 GU TERRAIN COEFFICIENT 10.27 GU  
TIDAL CORRECTION 0.40 GU METER DRIFT 2.26 GU  
FREE AIR ANOMALY -26.22 GU BOUGUER DENSITY 2.500  
STANDARD BOUGUER ANOMALY (DENSITY = 2.670) -29.33 GU  
GEOLOGIC BOUGUER ANOMALY (DENSITY = 2.500) -28.75 GU

S31

REFERENCE NUMBER 30 (1986) ELEVATION 34.918 METRES  
LONGITUDE 22 6 44 E EASTING\*\*\*\*\* METRES  
LATITUDE 37 3 3 N NORTHING\*\*\*\*\* METRES  
EPOCH 14H 57M 14 11 1986 DAY NUMBER 31729.03958  
OBSERVED GRAVITY 9798956.28 GU NORMAL GRAVITY (1967) 9799091.44 GU  
IGF CORRECTION 122.46 GU TERRAIN COEFFICIENT 11.87 GU  
TIDAL CORRECTION 0.25 GU METER DRIFT 2.43 GU  
FREE AIR ANOMALY -27.40 GU BOUGUER DENSITY 2.500  
STANDARD BOUGUER ANOMALY (DENSITY = 2.670) -34.80 GU  
GEOLOGIC BOUGUER ANOMALY (DENSITY = 2.500) -33.97 GU

S32

REFERENCE NUMBER 31 (1986) ELEVATION -45.654 METRES  
LONGITUDE 22 6 45 E EASTING\*\*\*\*\* METRES  
LATITUDE 37 3 2 N NORTHING\*\*\*\*\* METRES  
EPOCH 15H 10M 14 11 1986 DAY NUMBER 31729.04861  
OBSERVED GRAVITY 9798953.68 GU NORMAL GRAVITY (1967) 9799092.65 GU  
IGF CORRECTION 122.46 GU TERRAIN COEFFICIENT 11.96 GU  
TIDAL CORRECTION 0.14 GU METER DRIFT 2.55 GU  
FREE AIR ANOMALY 1.91 GU BOUGUER DENSITY 2.500  
STANDARD BOUGUER ANOMALY (DENSITY = 2.670) -17.26 GU  
GEOLOGIC BOUGUER ANOMALY (DENSITY = 2.500) -15.63 GU

S33

REFERENCE NUMBER 32 (1986) ELEVATION 55.214 METRES  
LONGITUDE 22 6 45 E EASTING\*\*\*\*\* METRES  
LATITUDE 37 3 16 N NORTHING\*\*\*\*\* METRES  
EPOCH 15H 25M 14 11 1986 DAY NUMBER 31729.05903  
OBSERVED GRAVITY 9798938.74 GU NORMAL GRAVITY (1967) 9799094.50 GU  
IGF CORRECTION 122.45 GU TERRAIN COEFFICIENT 12.40 GU  
TIDAL CORRECTION 0.01 GU METER DRIFT 2.69 GU  
FREE AIR ANOMALY 14.55 GU BOUGUER DENSITY 2.500  
STANDARD BOUGUER ANOMALY (DENSITY = 2.670) -14.16 GU  
GEOLOGIC BOUGUER ANOMALY (DENSITY = 2.500) -11.87 GU

S34

REFERENCE NUMBER 33 (1986) ELEVATION 70.707 METRES  
LONGITUDE 22 A 39 E EASTING\*\*\*\*\* METRES

LATITUDE	37 3 22 N	NORTHING***** METRES	31729.06736
EPOCH	15H 37M 14 11 1986	DAY NUMBER	31729.06736
OBSERVED GRAVITY	9799096.56 GU	NORMAL GRAVITY (1967)	9799096.03 GU
IGF CORRECTION	122.45 GU	TERRAIN COEFFICIENT	13.01 GU
TIDAL CORRECTION	-0.08 GU	METER DRIFT	2.81 GU
FREE AIR ANOMALY	37.98 GU	BOUGUER DENSITY	2.500
STANDARD BOUGUER ANOMALY	(DENSITY = 2.670)	-9.72 GU	
GEOLOGIC BOUGUER ANOMALY	(DENSITY = 2.500)	-6.29 GU	

S35

REFERENCE NUMBER	34 (1986)	ELEVATION	89.063 METRES
LONGITUDE	22 6 43 E	EASTING***** METRES	
LATITUDE	37 3 30 N	NORTHING***** METRES	
EPOCH	15H 49M 14 11 1986	DAY NUMBER	31729.07569
OBSERVED GRAVITY	9798876.87 GU	NORMAL GRAVITY (1967)	9799097.96 GU
IGF CORRECTION	122.45 GU	TERRAIN COEFFICIENT	15.37 GU
TIDAL CORRECTION	-0.17 GU	METER DRIFT	2.92 GU
FREE AIR ANOMALY	53.75 GU	BOUGUER DENSITY	2.500
STANDARD BOUGUER ANOMALY	(DENSITY = 2.670)	-4.91 GU	
GEOLOGIC BOUGUER ANOMALY	(DENSITY = 2.500)	-0.73 GU	

S30

REFERENCE NUMBER	35 (1986)	ELEVATION	34.918 METRES
LONGITUDE	22 6 42 E	EASTING***** METRES	
LATITUDE	37 2 56 N	NORTHING***** METRES	
EPOCH	16H 5M 14 11 1986	DAY NUMBER	31729.08681
OBSERVED GRAVITY	9798967.20 GU	NORMAL GRAVITY (1967)	9799089.76 GU
IGF CORRECTION	122.47 GU	TERRAIN COEFFICIENT	11.30 GU
TIDAL CORRECTION	-0.29 GU	METER DRIFT	3.07 GU
FREE AIR ANOMALY	-14.80 GU	BOUGUER DENSITY	2.500
STANDARD BOUGUER ANOMALY	(DENSITY = 2.670)	-23.72 GU	
GEOLOGIC BOUGUER ANOMALY	(DENSITY = 2.500)	-22.86 GU	

B28

REFERENCE NUMBER	28 (1986)	ELEVATION	25.208 METRES
LONGITUDE	22 6 51 E	EASTING***** METRES	
LATITUDE	37 2 38 N	NORTHING***** METRES	
EPOCH	16H 24M 14 11 1986	DAY NUMBER	31729.10000
OBSERVED GRAVITY	9798972.33 GU	NORMAL GRAVITY (1967)	9799085.41 GU
IGF CORRECTION	122.48 GU	TERRAIN COEFFICIENT	9.47 GU
TIDAL CORRECTION	-0.41 GU	METER DRIFT	3.25 GU
FREE AIR ANOMALY	-35.29 GU	BOUGUER DENSITY	2.500
STANDARD BOUGUER ANOMALY	(DENSITY = 2.670)	-38.22 GU	
GEOLOGIC BOUGUER ANOMALY	(DENSITY = 2.500)	-37.58 GU	

S25

REFERENCE NUMBER	25 (1986)	ELEVATION	16.359 METRES
LONGITUDE	22 7 17 E	EASTING***** METRES	
LATITUDE	37 2 25 N	NORTHING***** METRES	
EPOCH	16H 41M 14 11 1986	DAY NUMBER	31729.11181
OBSERVED GRAVITY	9798972.40 GU	NORMAL GRAVITY (1967)	9799082.26 GU
IGF CORRECTION	122.49 GU	TERRAIN COEFFICIENT	11.00 GU
TIDAL CORRECTION	-0.51 GU	METER DRIFT	3.42 GU
FREE AIR ANOMALY	-59.38 GU	BOUGUER DENSITY	2.500
STANDARD BOUGUER ANOMALY	(DENSITY = 2.670)	-48.92 GU	
GEOLOGIC BOUGUER ANOMALY	(DENSITY = 2.500)	-48.54 GU	

1986 GRAVITY OBSERVATIONS

328  
REFERENCE NUMBER 28 (1986) ELEVATION 25.208 METRES  
LONGITUDE 22° 6' 51" E EASTING\*\*\*\*\* METRES  
LATITUDE 37° 2' 38" N NORTHING\*\*\*\*\* METRES  
EPOCH 10H 2M 15 11 1986 DAY NUMBER 31729.83472  
OBSERVED GRAVITY 9798972.36 GU NORMAL GRAVITY (1967) 9799095.41 GU  
IGF CORRECTION 122.48 GU TERRAIN COEFFICIENT 9.47 GU  
TIDAL CORRECTION 1.07 GU METER DRIFT -0.02 GU  
FREE AIR ANOMALY -35.26 GU BOUGUER DENSITY 2.500  
STANDARD BOUGUER ANOMALY (DENSITY = 2.670) -38.19 GU  
GEOLOGIC BOUGUER ANOMALY (DENSITY = 2.500) -37.56 GU

328  
REFERENCE NUMBER 28 (1986) ELEVATION 25.208 METRES  
LONGITUDE 22° 6' 51" E EASTING\*\*\*\*\* METRES  
LATITUDE 37° 2' 38" N NORTHING\*\*\*\*\* METRES  
EPOCH 10H 3M 15 11 1986 DAY NUMBER 31729.83542  
OBSERVED GRAVITY 9798972.34 GU NORMAL GRAVITY (1967) 9799095.41 GU  
IGF CORRECTION 122.48 GU TERRAIN COEFFICIENT 9.47 GU  
TIDAL CORRECTION 1.08 GU METER DRIFT -0.02 GU  
FREE AIR ANOMALY -35.27 GU BOUGUER DENSITY 2.500  
STANDARD BOUGUER ANOMALY (DENSITY = 2.670) -38.21 GU  
GEOLOGIC BOUGUER ANOMALY (DENSITY = 2.500) -37.57 GU

35  
REFERENCE NUMBER 34 (1986) ELEVATION 89.043 METRES  
LONGITUDE 22° 6' 43" E EASTING\*\*\*\*\* METRES  
LATITUDE 37° 3' 30" N NORTHING\*\*\*\*\* METRES  
EPOCH 10H 27M 15 11 1986 DAY NUMBER 31729.85208  
OBSERVED GRAVITY 9798876.87 GU NORMAL GRAVITY (1967) 9799097.96 GU  
IGF CORRECTION 122.45 GU TERRAIN COEFFICIENT 15.37 GU  
TIDAL CORRECTION 1.29 GU METER DRIFT 0.00 GU  
FREE AIR ANOMALY 53.76 GU BOUGUER DENSITY 2.500  
STANDARD BOUGUER ANOMALY (DENSITY = 2.670) -4.91 GU  
GEOLOGIC BOUGUER ANOMALY (DENSITY = 2.500) -0.72 GU

35  
REFERENCE NUMBER 35 (1986) ELEVATION 97.015 METRES  
LONGITUDE 22° 6' 45" E EASTING\*\*\*\*\* METRES  
LATITUDE 37° 3' 34" N NORTHING\*\*\*\*\* METRES  
EPOCH 10H 39M 15 11 1986 DAY NUMBER 31729.86042  
OBSERVED GRAVITY 9798861.60 GU NORMAL GRAVITY (1967) 9799098.93 GU  
IGF CORRECTION 122.44 GU TERRAIN COEFFICIENT 15.43 GU  
TIDAL CORRECTION 1.30 GU METER DRIFT 0.01 GU  
FREE AIR ANOMALY 49.05 GU BOUGUER DENSITY 2.500

STANDARD BOUGUER ANOMALY (DENSITY = 2.670) -5.39 GU  
GEOLOGIC BOUGUER ANOMALY (DENSITY = 2.500) -0.62 GU

S38

REFERENCE NUMBER 37 (1986) ELEVATION 129.021 METRES  
LONGITUDE 22° 6' 48" E EASTING\*\*\*\*\* METRES  
LATITUDE 37° 3' 47" N NORTHING\*\*\*\*\* METRES  
EPOCH 10H 56M 15 11 1986 DAY NUMBER 31729.87222  
OBSERVED GRAVITY 9798795.19 GU NORMAL GRAVITY (1967) 9799102.67 GU  
IGF CORRECTION 122.44 GU TERRAIN COEFFICIENT 15.37 GU  
TIDAL CORRECTION 1.30 GU METER DRIFT 0.02 GU  
FREE AIR ANOMALY 88.19 GU BOUGUER DENSITY 2.500  
STANDARD BOUGUER ANOMALY (DENSITY = 2.670) -14.09 GU  
GEOLOGIC BOUGUER ANOMALY (DENSITY = 2.500) -7.08 GU

S39

REFERENCE NUMBER 38 (1986) ELEVATION 141.564 METRES  
LONGITUDE 22° 6' 48" E EASTING\*\*\*\*\* METRES  
LATITUDE 37° 3' 51" N NORTHING\*\*\*\*\* METRES  
EPOCH 11H 12M 15 11 1986 DAY NUMBER 31729.88333  
OBSERVED GRAVITY 9798764.48 GU NORMAL GRAVITY (1967) 9799103.03 GU  
IGF CORRECTION 122.43 GU TERRAIN COEFFICIENT 18.32 GU  
TIDAL CORRECTION 1.43 GU METER DRIFT 0.03 GU  
FREE AIR ANOMALY 98.32 GU BOUGUER DENSITY 2.500  
STANDARD BOUGUER ANOMALY (DENSITY = 2.670) -11.25 GU  
GEOLOGIC BOUGUER ANOMALY (DENSITY = 2.500) -3.74 GU

S40

REFERENCE NUMBER 39 (1986) ELEVATION 147.581 METRES  
LONGITUDE 22° 6' 49" E EASTING\*\*\*\*\* METRES  
LATITUDE 37° 3' 56" N NORTHING\*\*\*\*\* METRES  
EPOCH 11H 25M 15 11 1986 DAY NUMBER 31729.89236  
OBSERVED GRAVITY 9798744.07 GU NORMAL GRAVITY (1967) 9799104.24 GU  
IGF CORRECTION 122.43 GU TERRAIN COEFFICIENT 22.48 GU  
TIDAL CORRECTION 1.47 GU METER DRIFT 0.04 GU  
FREE AIR ANOMALY 95.26 GU BOUGUER DENSITY 2.500  
STANDARD BOUGUER ANOMALY (DENSITY = 2.670) -9.93 GU  
GEOLOGIC BOUGUER ANOMALY (DENSITY = 2.500) -2.67 GU

S35

REFERENCE NUMBER 34 (1986) ELEVATION 89.063 METRES  
LONGITUDE 22° 6' 43" E EASTING\*\*\*\*\* METRES  
LATITUDE 37° 3' 29" N NORTHING\*\*\*\*\* METRES  
EPOCH 12H 20M 15 11 1986 DAY NUMBER 31729.93056  
OBSERVED GRAVITY 9798876.98 GU NORMAL GRAVITY (1967) 9799097.96 GU  
IGF CORRECTION 122.45 GU TERRAIN COEFFICIENT 15.37 GU  
TIDAL CORRECTION 1.49 GU METER DRIFT 0.08 GU  
FREE AIR ANOMALY 53.81 GU BOUGUER DENSITY 2.500  
STANDARD BOUGUER ANOMALY (DENSITY = 2.670) -4.85 GU  
GEOLOGIC BOUGUER ANOMALY (DENSITY = 2.500) -0.67 GU

S37

REFERENCE NUMBER 40 (1986) ELEVATION 114.293 METRES  
LONGITUDE 22° 6' 46" E EASTING\*\*\*\*\* METRES  
LATITUDE 37° 3' 41" N NORTHING\*\*\*\*\* METRES  
EPOCH 12H 37M 15 11 1986 DAY NUMBER 31729.94236  
OBSERVED GRAVITY 9798825.49 GU NORMAL GRAVITY (1967) 9799100.62 GU  
IGF CORRECTION 122.44 GU TERRAIN COEFFICIENT 15.05 GU  
TIDAL CORRECTION 1.45 GU METER DRIFT 0.09 GU  
FREE AIR ANOMALY 77.58 GU BOUGUER DENSITY 2.500  
STANDARD BOUGUER ANOMALY (DENSITY = 2.670) -10.18 GU  
GEOLOGIC BOUGUER ANOMALY (DENSITY = 2.500) -4.12 GU

S41

REFERENCE NUMBER 41 (1986) ELEVATION 249.200 METRES  
LONGITUDE 22° 6' 50" E EASTING\*\*\*\*\* METRES

LATITUDE	27 4 30 N	NORTHING***** METRES	31
EPOCH	13H 38M 15 11 1986	DAY NUMBER	31729.96389
OBSERVED GRAVITY	9799367.01 GU	NORMAL GRAVITY (1967)	9799109.06 GU
IGF CORRECTION	122.42 GU	TERRAIN COEFFICIENT	18.39 GU
TIDAL CORRECTION	1.34 GU	METER DRIFT	0.17 GU
FREE AIR ANOMALY	317.05 GU	BOUGUER DENSITY	2.500
STANDARD BOUGUER ANOMALY	(DENSITY = 2.670)	-18.05 GU	
GEOLOGIC BOUGUER ANOMALY	(DENSITY = 2.500)	4.31 GU	

S35

REFERENCE NUMBER	34 (1986)	ELEVATION	89.063 METRES
LONGITUDE	22 6 42 E	EASTING***** METRES	
LATITUDE	27 3 30 N	NORTHING***** METRES	
EPOCH	13H 38M 15 11 1986	DAY NUMBER	31729.98472
OBSERVED GRAVITY	9798876.87 GU	NORMAL GRAVITY (1967)	9799097.96 GU
IGF CORRECTION	122.45 GU	TERRAIN COEFFICIENT	15.37 GU
TIDAL CORRECTION	1.18 GU	METER DRIFT	0.13 GU
FREE AIR ANOMALY	53.76 GU	BOUGUER DENSITY	2.500
STANDARD BOUGUER ANOMALY	(DENSITY = 2.670)	-4.91 GU	
GEOLOGIC BOUGUER ANOMALY	(DENSITY = 2.500)	-0.72 GU	

1986 GRAVITY OBSERVATIONS

B28

REFERENCE NUMBER	28 (1986)	ELEVATION	25.200 METRES
LONGITUDE	22 6 51 E	EASTING	***** METRES
LATITUDE	37 2 38 N	NORTHING	***** METRES
EPOCH	15H 32M 16 11 1986	DAY NUMBER	31731.06389
OBSERVED GRAVITY	9798973.53 GU	NORMAL GRAVITY (1967)	9799085.41 GU
IGF CORRECTION	122.48 GU	TERRAIN COEFFICIENT	9.47 GU
TIDAL CORRECTION	0.60 GU	METER DRIFT	0.00 GU
FREE AIR ANOMALY	-34.08 GU	BOUGUER DENSITY	2.500
STANDARD BOUGUER	ANOMALY (DENSITY = 2.670)	-37.02 GU	
GEOLOGIC BOUGUER	ANOMALY (DENSITY = 2.500)	-36.38 GU	

B28

REFERENCE NUMBER	28 (1986)	ELEVATION	25.208 METRES
LONGITUDE	22 6 51 E	EASTING	***** METRES
LATITUDE	37 2 38 N	NORTHING	***** METRES
EPOCH	15H 34M 16 11 1986	DAY NUMBER	31731.06528
OBSERVED GRAVITY	9798973.57 GU	NORMAL GRAVITY (1967)	9799085.41 GU
IGF CORRECTION	122.48 GU	TERRAIN COEFFICIENT	9.47 GU
TIDAL CORRECTION	0.58 GU	METER DRIFT	-0.01 GU
FREE AIR ANOMALY	-34.05 GU	BOUGUER DENSITY	2.500
STANDARD BOUGUER	ANOMALY (DENSITY = 2.670)	-36.98 GU	
GEOLOGIC BOUGUER	ANOMALY (DENSITY = 2.500)	-36.34 GU	

M1

REFERENCE NUMBER	72 (1986)	ELEVATION	25.175 METRES
LONGITUDE	22 6 47 E	EASTING	***** METRES
LATITUDE	37 2 38 N	NORTHING	***** METRES
EPOCH	15H 39M 16 11 1986	DAY NUMBER	31731.06875
OBSERVED GRAVITY	9798974.77 GU	NORMAL GRAVITY (1967)	9799085.41 GU
IGF CORRECTION	122.48 GU	TERRAIN COEFFICIENT	9.40 GU
TIDAL CORRECTION	0.54 GU	METER DRIFT	-0.05 GU
FREE AIR ANOMALY	-32.94 GU	BOUGUER DENSITY	2.500
STANDARD BOUGUER	ANOMALY (DENSITY = 2.670)	-36.03 GU	
GEOLOGIC BOUGUER	ANOMALY (DENSITY = 2.500)	-35.38 GU	

M2

REFERENCE NUMBER	73 (1986)	ELEVATION	23.983 METRES
LONGITUDE	22 6 47 E	EASTING	***** METRES
LATITUDE	37 2 34 N	NORTHING	***** METRES
EPOCH	15H 44M 16 11 1986	DAY NUMBER	31731.07222
OBSERVED GRAVITY	9798973.16 GU	NORMAL GRAVITY (1967)	9799084.44 GU
IGF CORRECTION	122.48 GU	TERRAIN COEFFICIENT	9.45 GU
TIDAL CORRECTION	0.49 GU	METER DRIFT	-0.08 GU
FREE AIR ANOMALY	-37.27 GU	BOUGUER DENSITY	2.500

33  
STANDARD BOUGUER ANOMALY (DENSITY = 2.670) -39.89 GU  
GEOLOGIC BOUGUER ANOMALY (DENSITY = 2.500) -38.29 GU

13

REFERENCE NUMBER 74 (1986) ELEVATION 23.369 METRES  
LONGITUDE 22 4 45 E EASTING\*\*\*\*\* METRES  
LATITUDE 37 2 30 N NORTHING\*\*\*\*\* METRES  
EPOCH 15H 50M 16 11 1986 DAY NUMBER 31731.07639  
OBSERVED GRAVITY 9798970.54 GU NORMAL GRAVITY (1967) 9799083.46 GU  
IGF CORRECTION 122.48 GU TERRAIN COEFFICIENT 9.40 GU  
TIDAL CORRECTION 0.44 GU METER DRIFT -0.12 GU  
FREE AIR ANOMALY -40.92 GU BOUGUER DENSITY 2.500  
STANDARD BOUGUER ANOMALY (DENSITY = 2.670) -41.89 GU  
GEOLOGIC BOUGUER ANOMALY (DENSITY = 2.500) -41.28 GU

14

REFERENCE NUMBER 75 (1986) ELEVATION 21.776 METRES  
LONGITUDE 22 6 44 E EASTING\*\*\*\*\* METRES  
LATITUDE 37 2 25 N NORTHING\*\*\*\*\* METRES  
EPOCH 15H 57M 16 11 1986 DAY NUMBER 31731.08125  
OBSERVED GRAVITY 9798972.13 GU NORMAL GRAVITY (1967) 9799082.26 GU  
IGF CORRECTION 122.49 GU TERRAIN COEFFICIENT 9.40 GU  
TIDAL CORRECTION 0.39 GU METER DRIFT -0.17 GU  
FREE AIR ANOMALY -42.93 GU BOUGUER DENSITY 2.500  
STANDARD BOUGUER ANOMALY (DENSITY = 2.670) -42.21 GU  
GEOLOGIC BOUGUER ANOMALY (DENSITY = 2.500) -41.69 GU

15

REFERENCE NUMBER 76 (1986) ELEVATION 20.320 METRES  
LONGITUDE 22 6 43 E EASTING\*\*\*\*\* METRES  
LATITUDE 37 2 22 N NORTHING\*\*\*\*\* METRES  
EPOCH 16H 4M 16 11 1986 DAY NUMBER 31731.08611  
OBSERVED GRAVITY 9798973.84 GU NORMAL GRAVITY (1967) 9799081.54 GU  
IGF CORRECTION 122.49 GU TERRAIN COEFFICIENT 8.74 GU  
TIDAL CORRECTION 0.32 GU METER DRIFT -0.22 GU  
FREE AIR ANOMALY -45.00 GU BOUGUER DENSITY 2.500  
STANDARD BOUGUER ANOMALY (DENSITY = 2.670) -44.41 GU  
GEOLOGIC BOUGUER ANOMALY (DENSITY = 2.500) -43.84 GU

16

REFERENCE NUMBER 77 (1986) ELEVATION 18.977 METRES  
LONGITUDE 22 6 43 E EASTING\*\*\*\*\* METRES  
LATITUDE 37 2 18 N NORTHING\*\*\*\*\* METRES  
EPOCH 16H 11M 16 11 1986 DAY NUMBER 31731.09097  
OBSERVED GRAVITY 9798974.95 GU NORMAL GRAVITY (1967) 9799080.57 GU  
IGF CORRECTION 122.49 GU TERRAIN COEFFICIENT 8.08 GU  
TIDAL CORRECTION 0.26 GU METER DRIFT -0.27 GU  
FREE AIR ANOMALY -47.07 GU BOUGUER DENSITY 2.500  
STANDARD BOUGUER ANOMALY (DENSITY = 2.670) -46.74 GU  
GEOLOGIC BOUGUER ANOMALY (DENSITY = 2.500) -46.14 GU

17

REFERENCE NUMBER 78 (1986) ELEVATION 17.643 METRES  
LONGITUDE 22 6 42 E EASTING\*\*\*\*\* METRES  
LATITUDE 37 2 15 N NORTHING\*\*\*\*\* METRES  
EPOCH 16H 18M 16 11 1986 DAY NUMBER 31731.09583  
OBSERVED GRAVITY 9798975.90 GU NORMAL GRAVITY (1967) 9799077.85 GU  
IGF CORRECTION 122.49 GU TERRAIN COEFFICIENT 7.41 GU  
TIDAL CORRECTION 0.20 GU METER DRIFT -0.31 GU  
FREE AIR ANOMALY -49.51 GU BOUGUER DENSITY 2.500  
STANDARD BOUGUER ANOMALY (DENSITY = 2.670) -49.47 GU  
GEOLOGIC BOUGUER ANOMALY (DENSITY = 2.500) -48.84 GU

18

REFERENCE NUMBER 79 (1986) ELEVATION 15.638 METRES  
LONGITUDE 22 4 41 E NORTHING\*\*\*\*\* METRES

LATITUDE	37 1 10 N	NORTHING	***** METRES
EPOCH	16H 29M 16 11 1986	DAY NUMBER	31731.10347
OBSERVED GRAVITY	9798978.93 GU	NORMAL GRAVITY (1967)	9799079.64 GU
IGF CORRECTION	122.50 GU	TERRAIN COEFFICIENT	7.37 GU
TIDAL CORRECTION	-0.11 GU	METER DRIFT	-0.39 GU
FREE AIR ANOMALY	-51.55 GU	BOUGUER DENSITY	2.500
STANDARD BOUGUER	ANOMALY (DENSITY = 2.670)	-49.88 GU	
GEOLOGIC BOUGUER	ANOMALY (DENSITY = 2.500)	-48.86 GU	

M9

REFERENCE NUMBER	80 (1986)	ELEVATION	18.758 METRES
LONGITUDE	22 6 41 E	EASTING	***** METRES
LATITUDE	37 2 5 N	NORTHING	***** METRES
EPOCH	16H 48M 16 11 1986	DAY NUMBER	31731.11667
OBSERVED GRAVITY	9798979.79 GU	NORMAL GRAVITY (1967)	9799077.44 GU
IGF CORRECTION	122.50 GU	TERRAIN COEFFICIENT	7.32 GU
TIDAL CORRECTION	-0.05 GU	METER DRIFT	-0.52 GU
FREE AIR ANOMALY	-55.19 GU	BOUGUER DENSITY	2.500
STANDARD BOUGUER	ANOMALY (DENSITY = 2.670)	-51.05 GU	
GEOLOGIC BOUGUER	ANOMALY (DENSITY = 2.500)	-50.64 GU	

M10

REFERENCE NUMBER	81 (1986)	ELEVATION	11.791 METRES
LONGITUDE	22 6 41 E	EASTING	***** METRES
LATITUDE	37 2 1 N	NORTHING	***** METRES
EPOCH	16H 58M 16 11 1986	DAY NUMBER	31731.12361
OBSERVED GRAVITY	9798982.25 GU	NORMAL GRAVITY (1967)	9799076.47 GU
IGF CORRECTION	122.50 GU	TERRAIN COEFFICIENT	7.27 GU
TIDAL CORRECTION	-0.13 GU	METER DRIFT	-0.59 GU
FREE AIR ANOMALY	-57.84 GU	BOUGUER DENSITY	2.500
STANDARD BOUGUER	ANOMALY (DENSITY = 2.670)	-51.63 GU	
GEOLOGIC BOUGUER	ANOMALY (DENSITY = 2.500)	-51.34 GU	

M11

REFERENCE NUMBER	82 (1986)	ELEVATION	10.493 METRES
LONGITUDE	22 6 41 E	EASTING	***** METRES
LATITUDE	37 1 58 N	NORTHING	***** METRES
EPOCH	17H 7M 16 11 1986	DAY NUMBER	31731.12986
OBSERVED GRAVITY	9798984.40 GU	NORMAL GRAVITY (1967)	9799075.74 GU
IGF CORRECTION	122.50 GU	TERRAIN COEFFICIENT	7.22 GU
TIDAL CORRECTION	-0.20 GU	METER DRIFT	-0.65 GU
FREE AIR ANOMALY	-58.94 GU	BOUGUER DENSITY	2.500
STANDARD BOUGUER	ANOMALY (DENSITY = 2.670)	-51.43 GU	
GEOLOGIC BOUGUER	ANOMALY (DENSITY = 2.500)	-51.21 GU	

M12

REFERENCE NUMBER	83 (1986)	ELEVATION	9.512 METRES
LONGITUDE	22 6 41 E	EASTING	***** METRES
LATITUDE	37 1 55 N	NORTHING	***** METRES
EPOCH	17H 14M 16 11 1986	DAY NUMBER	31731.13472
OBSERVED GRAVITY	9798985.92 GU	NORMAL GRAVITY (1967)	9799075.02 GU
IGF CORRECTION	122.51 GU	TERRAIN COEFFICIENT	7.16 GU
TIDAL CORRECTION	-0.25 GU	METER DRIFT	-0.70 GU
FREE AIR ANOMALY	-59.75 GU	BOUGUER DENSITY	2.500
STANDARD BOUGUER	ANOMALY (DENSITY = 2.670)	-51.28 GU	
GEOLOGIC BOUGUER	ANOMALY (DENSITY = 2.500)	-51.11 GU	

M13

REFERENCE NUMBER	84 (1986)	ELEVATION	7.716 METRES
LONGITUDE	22 6 41 E	EASTING	***** METRES
LATITUDE	37 1 51 N	NORTHING	***** METRES
EPOCH	17H 19M 16 11 1986	DAY NUMBER	31731.13750
OBSERVED GRAVITY	9798988.72 GU	NORMAL GRAVITY (1967)	9799074.06 GU
IGF CORRECTION	122.51 GU	TERRAIN COEFFICIENT	7.12 GU
TIDAL CORRECTION	-0.28 GU	METER DRIFT	-0.73 GU
FREE AIR ANOMALY	-61.52 GU	BOUGUER DENSITY	2.500

STANDARD BOUGUER ANOMALY (DENSITY = 2.670) -51.16 GU  
GEOLOGIC BOUGUER ANOMALY (DENSITY = 2.500) -51.10 GU

M14

REFERENCE NUMBER 85 (1986) ELEVATION 4.201 METRES  
LONGITUDE 22 6 40 E EASTING\*\*\*\*\* METRES  
LATITUDE 37 1 46 N NORTHING\*\*\*\*\* METRES  
EPOCH 17H 25M 16 11 1986 DAY NUMBER 31731.14236  
OBSERVED GRAVITY 9798989.98 GU NORMAL GRAVITY (1967) 9799072.85 GU  
IGF CORRECTION 122.51 GU TERRAIN COEFFICIENT 7.09 GU  
TIDAL CORRECTION -0.33 GU METER DRIFT -0.77 GU  
FREE AIR ANOMALY -63.70 GU BOUGUER DENSITY 2.500  
STANDARD BOUGUER ANOMALY (DENSITY = 2.670) -51.72 GU  
GEOLOGIC BOUGUER ANOMALY (DENSITY = 2.500) -51.74 GU

M15

REFERENCE NUMBER 85 (1986) ELEVATION 4.160 METRES  
LONGITUDE 22 6 41 E EASTING\*\*\*\*\* METRES  
LATITUDE 37 1 41 N NORTHING\*\*\*\*\* METRES  
EPOCH 17H 32M 16 11 1986 DAY NUMBER 31731.14722  
OBSERVED GRAVITY 9798993.32 GU NORMAL GRAVITY (1967) 9799071.64 GU  
IGF CORRECTION 122.52 GU TERRAIN COEFFICIENT 7.05 GU  
TIDAL CORRECTION -0.37 GU METER DRIFT -0.82 GU  
FREE AIR ANOMALY -65.48 GU BOUGUER DENSITY 2.500  
STANDARD BOUGUER ANOMALY (DENSITY = 2.670) -51.31 GU  
GEOLOGIC BOUGUER ANOMALY (DENSITY = 2.500) -51.47 GU

B28

REFERENCE NUMBER 28 (1986) ELEVATION 25.208 METRES  
LONGITUDE 22 6 51 E EASTING\*\*\*\*\* METRES  
LATITUDE 37 2 08 N NORTHING\*\*\*\*\* METRES  
EPOCH 17H 45M 16 11 1986 DAY NUMBER 31731.15625  
OBSERVED GRAVITY 9798973.53 GU NORMAL GRAVITY (1967) 9799085.41 GU  
IGF CORRECTION 122.48 GU TERRAIN COEFFICIENT 9.47 GU  
TIDAL CORRECTION -0.45 GU METER DRIFT -0.91 GU  
FREE AIR ANOMALY -34.08 GU BOUGUER DENSITY 2.500  
STANDARD BOUGUER ANOMALY (DENSITY = 2.670) -37.02 GU  
GEOLOGIC BOUGUER ANOMALY (DENSITY = 2.500) -36.38 GU

1986 GRAVITY OBSERVATIONS

S11

REFERENCE NUMBER	11 (1986)	ELEVATION	13.219 METRES
LONGITUDE	22 8 6 E	EASTING	***** METRES
LATITUDE	37 1 58 N	NORTHING	***** METRES
EPOCH	11H 14M 19 11 1986	DAY NUMBER	31733.88472
OBSERVED GRAVITY	9798977.25 GU	NORMAL GRAVITY (1967)	9799075.74 GU
IGF CORRECTION	122.50 GU	TERRAIN COEFFICIENT	13.59 GU
TIDAL CORRECTION	0.72 GU	METER DRIFT	0.00 GU
FREE AIR ANOMALY	-57.70 GU	BOUGUER DENSITY	2.500
STANDARD BOUGUER ANOMALY	(DENSITY = 2.670)	-36.21 GU	
GEOLOGIC BOUGUER ANOMALY	(DENSITY = 2.500)	-37.17 GU	

P1

REFERENCE NUMBER	87 (1986)	ELEVATION	9.885 METRES
LONGITUDE	22 8 3 E	EASTING	***** METRES
LATITUDE	37 1 53 N	NORTHING	***** METRES
EPOCH	11H 22M 19 11 1986	DAY NUMBER	31733.89028
OBSERVED GRAVITY	9798982.34 GU	NORMAL GRAVITY (1967)	9799074.54 GU
IGF CORRECTION	122.51 GU	TERRAIN COEFFICIENT	12.85 GU
TIDAL CORRECTION	0.77 GU	METER DRIFT	0.05 GU
FREE AIR ANOMALY	-61.69 GU	BOUGUER DENSITY	2.500
STANDARD BOUGUER ANOMALY	(DENSITY = 2.670)	-38.45 GU	
GEOLOGIC BOUGUER ANOMALY	(DENSITY = 2.500)	-39.47 GU	

P2

REFERENCE NUMBER	88 (1986)	ELEVATION	8.499 METRES
LONGITUDE	22 8 60 E	EASTING	***** METRES
LATITUDE	37 1 50 N	NORTHING	***** METRES
EPOCH	11H 28M 19 11 1986	DAY NUMBER	31733.89444
OBSERVED GRAVITY	9798983.73 GU	NORMAL GRAVITY (1967)	9799073.81 GU
IGF CORRECTION	122.51 GU	TERRAIN COEFFICIENT	12.01 GU
TIDAL CORRECTION	0.81 GU	METER DRIFT	0.08 GU
FREE AIR ANOMALY	-63.86 GU	BOUGUER DENSITY	2.500
STANDARD BOUGUER ANOMALY	(DENSITY = 2.670)	-41.21 GU	
GEOLOGIC BOUGUER ANOMALY	(DENSITY = 2.500)	-42.23 GU	

P3

REFERENCE NUMBER	89 (1986)	ELEVATION	6.847 METRES
LONGITUDE	22 7 57 E	EASTING	***** METRES
LATITUDE	37 1 45 N	NORTHING	***** METRES
EPOCH	11H 32M 19 11 1986	DAY NUMBER	31733.89722
OBSERVED GRAVITY	9798985.02 GU	NORMAL GRAVITY (1967)	9799072.61 GU
IGF CORRECTION	122.51 GU	TERRAIN COEFFICIENT	11.20 GU
TIDAL CORRECTION	0.84 GU	METER DRIFT	0.11 GU
FREE AIR ANOMALY	-66.44 GU	BOUGUER DENSITY	2.500

STANDARD BOUGUER ANOMALY (DENSITY = 2.670) -46.22 GU  
GEOLOGIC BOUGUER ANOMALY (DENSITY = 2.500) -45.08 GU

P4

REFERENCE NUMBER	90 (1986)	ELEVATION	4.699 METRES
LONGITUDE	22 7 53 E	EASTING*****	METRES
LATITUDE	37 1 40 N	NORTHING*****	METRES
EPOCH	11H 42M 19 11 1986	DAY NUMBER	31733.90417
OBSERVED GRAVITY	9798986.56 GU	NORMAL GRAVITY (1967)	9799071.40 GU
IGF CORRECTION	122.52 GU	TERRAIN COEFFICIENT	10.80 GU
TIDAL CORRECTION	0.91 GU	METER DRIFT	0.17 GU
FREE AIR ANOMALY	-70.34 GU	BOUGUER DENSITY	2.500
STANDARD BOUGUER	ANOMALY (DENSITY = 2.670)	-46.77 GU	
GEOLOGIC BOUGUER	ANOMALY (DENSITY = 2.500)	-47.69 GU	

P5

REFERENCE NUMBER	91 (1986)	ELEVATION	3.579 METRES
LONGITUDE	22 7 50 E	EASTING*****	METRES
LATITUDE	37 1 37 N	NORTHING*****	METRES
EPOCH	11H 48M 19 11 1986	DAY NUMBER	31733.90833
OBSERVED GRAVITY	9798987.37 GU	NORMAL GRAVITY (1967)	9799070.67 GU
IGF CORRECTION	122.52 GU	TERRAIN COEFFICIENT	10.52 GU
TIDAL CORRECTION	0.94 GU	METER DRIFT	0.20 GU
FREE AIR ANOMALY	-72.26 GU	BOUGUER DENSITY	2.500
STANDARD BOUGUER	ANOMALY (DENSITY = 2.670)	-48.18 GU	
GEOLOGIC BOUGUER	ANOMALY (DENSITY = 2.500)	-49.13 GU	

P6

REFERENCE NUMBER	92 (1986)	ELEVATION	3.257 METRES
LONGITUDE	22 7 48 E	EASTING*****	METRES
LATITUDE	37 1 33 N	NORTHING*****	METRES
EPOCH	11H 52M 19 11 1986	DAY NUMBER	31733.91111
OBSERVED GRAVITY	9798986.73 GU	NORMAL GRAVITY (1967)	9799069.71 GU
IGF CORRECTION	122.52 GU	TERRAIN COEFFICIENT	10.25 GU
TIDAL CORRECTION	0.97 GU	METER DRIFT	0.23 GU
FREE AIR ANOMALY	-72.92 GU	BOUGUER DENSITY	2.500
STANDARD BOUGUER	ANOMALY (DENSITY = 2.670)	-49.20 GU	
GEOLOGIC BOUGUER	ANOMALY (DENSITY = 2.500)	-50.11 GU	

P7

REFERENCE NUMBER	93 (1986)	ELEVATION	2.286 METRES
LONGITUDE	22 7 46 E	EASTING*****	METRES
LATITUDE	37 1 31 N	NORTHING*****	METRES
EPOCH	12H 1M 19 11 1986	DAY NUMBER	31733.91736
OBSERVED GRAVITY	9798985.52 GU	NORMAL GRAVITY (1967)	9799069.23 GU
IGF CORRECTION	122.52 GU	TERRAIN COEFFICIENT	9.98 GU
TIDAL CORRECTION	1.02 GU	METER DRIFT	0.28 GU
FREE AIR ANOMALY	-73.56 GU	BOUGUER DENSITY	2.500
STANDARD BOUGUER	ANOMALY (DENSITY = 2.670)	-50.60 GU	
GEOLOGIC BOUGUER	ANOMALY (DENSITY = 2.500)	-51.43 GU	

S11

REFERENCE NUMBER	11 (1986)	ELEVATION	13.219 METRES
LONGITUDE	22 8 4 E	EASTING*****	METRES
LATITUDE	37 1 58 N	NORTHING*****	METRES
EPOCH	12H 13M 19 11 1986	DAY NUMBER	31733.92569
OBSERVED GRAVITY	9798977.25 GU	NORMAL GRAVITY (1967)	9799075.74 GU
IGF CORRECTION	122.50 GU	TERRAIN COEFFICIENT	13.59 GU
TIDAL CORRECTION	1.09 GU	METER DRIFT	0.35 GU
FREE AIR ANOMALY	-57.70 GU	BOUGUER DENSITY	2.500
STANDARD BOUGUER	ANOMALY (DENSITY = 2.670)	-36.21 GU	
GEOLOGIC BOUGUER	ANOMALY (DENSITY = 2.500)	-37.17 GU	

1986 GRAVITY OBSERVATIONS

S16

REFERENCE NUMBER	16 (1986)	ELEVATION	18.207 METRES
LONGITUDE	22 7 28 E	EASTING*****	METRES
LATITUDE	37 2 19 N	NORTHING*****	METRES
EPOCH	10H 3M 16 11 1986	DAY NUMBER	31730.83542
OBSERVED GRAVITY	9798969.92 GU	NORMAL GRAVITY (1967)	9799080.82 GU
IGF CORRECTION	122.49 GU	TERRAIN COEFFICIENT	11.48 GU
TIDAL CORRECTION	0.92 GU	METER DRIFT	0.00 GU
FREE AIR ANOMALY	-54.71 GU	BOUGUER DENSITY	2.500
STANDARD BOUGUER	ANOMALY (DENSITY = 2.670)	-44.44 GU	
GEOLOGIC BOUGUER	ANOMALY (DENSITY = 2.500)	-44.60 GU	

S16

REFERENCE NUMBER	16 (1986)	ELEVATION	18.207 METRES
LONGITUDE	22 7 28 E	EASTING*****	METRES
LATITUDE	37 2 19 N	NORTHING*****	METRES
EPOCH	10H 5M 16 11 1986	DAY NUMBER	31730.83681
OBSERVED GRAVITY	9798969.93 GU	NORMAL GRAVITY (1967)	9799080.82 GU
IGF CORRECTION	122.49 GU	TERRAIN COEFFICIENT	11.48 GU
TIDAL CORRECTION	0.94 GU	METER DRIFT	0.01 GU
FREE AIR ANOMALY	-54.70 GU	BOUGUER DENSITY	2.500
STANDARD BOUGUER	ANOMALY (DENSITY = 2.670)	-44.43 GU	
GEOLOGIC BOUGUER	ANOMALY (DENSITY = 2.500)	-44.59 GU	

K1

REFERENCE NUMBER	42 (1986)	ELEVATION	15.280 METRES
LONGITUDE	22 7 28 E	EASTING*****	METRES
LATITUDE	37 2 20 N	NORTHING*****	METRES
EPOCH	10H 11M 16 11 1986	DAY NUMBER	31730.84097
OBSERVED GRAVITY	9798975.46 GU	NORMAL GRAVITY (1967)	9799081.05 GU
IGF CORRECTION	122.49 GU	TERRAIN COEFFICIENT	9.37 GU
TIDAL CORRECTION	0.98 GU	METER DRIFT	0.02 GU
FREE AIR ANOMALY	-58.44 GU	BOUGUER DENSITY	2.500
STANDARD BOUGUER	ANOMALY (DENSITY = 2.670)	-50.52 GU	
GEOLOGIC BOUGUER	ANOMALY (DENSITY = 2.500)	-50.71 GU	

K2

REFERENCE NUMBER	43 (1986)	ELEVATION	12.153 METRES
LONGITUDE	22 7 22 E	EASTING*****	METRES
LATITUDE	37 2 16 N	NORTHING*****	METRES
EPOCH	10H 17M 16 11 1986	DAY NUMBER	31730.84514
OBSERVED GRAVITY	9798980.36 GU	NORMAL GRAVITY (1967)	9799080.09 GU
IGF CORRECTION	122.49 GU	TERRAIN COEFFICIENT	9.10 GU
TIDAL CORRECTION	1.03 GU	METER DRIFT	0.04 GU
FREE AIR ANOMALY	-54.22 GU	BOUGUER DENSITY	2.500

K3  
REFERENCE NUMBER 44 (1986) ELEVATION 9.953 METRES  
LONGITUDE 22 7 22 E EASTING\*\*\*\*\* METRES  
LATITUDE 37 2 11 N NORTHING\*\*\*\*\* METRES  
EPOCH 10H 24M 16 11 1986 DAY NUMBER 31730.85600  
OBSERVED GRAVITY 9798974.18 GU NORMAL GRAVITY (1967) 9799078.68 GU  
IGF CORRECTION 122.50 GU TERRAIN COEFFICIENT 8.67 GU  
TIDAL CORRECTION 1.09 GU METER DRIFT 0.06 GU  
FREE AIR ANOMALY -74.01 GU BOUGUER DENSITY 2.500  
STANDARD BOUGUER ANOMALY (DENSITY = 2.670) -61.47 GU  
GEOLOGIC BOUGUER ANOMALY (DENSITY = 2.500) -61.85 GU

K4  
REFERENCE NUMBER 45 (1986) ELEVATION 7.723 METRES  
LONGITUDE 22 7 22 E EASTING\*\*\*\*\* METRES  
LATITUDE 37 2 7 N NORTHING\*\*\*\*\* METRES  
EPOCH 10H 32M 16 11 1986 DAY NUMBER 31730.85556  
OBSERVED GRAVITY 9798987.57 GU NORMAL GRAVITY (1967) 9799077.92 GU  
IGF CORRECTION 122.50 GU TERRAIN COEFFICIENT 8.62 GU  
TIDAL CORRECTION 1.14 GU METER DRIFT 0.08 GU  
FREE AIR ANOMALY -66.51 GU BOUGUER DENSITY 2.500  
STANDARD BOUGUER ANOMALY (DENSITY = 2.670) -52.14 GU  
GEOLOGIC BOUGUER ANOMALY (DENSITY = 2.500) -52.60 GU

K5  
REFERENCE NUMBER 46 (1986) ELEVATION 6.468 METRES  
LONGITUDE 22 7 22 E EASTING\*\*\*\*\* METRES  
LATITUDE 37 2 3 N NORTHING\*\*\*\*\* METRES  
EPOCH 10H 37M 16 11 1986 DAY NUMBER 31730.85903  
OBSERVED GRAVITY 9798989.27 GU NORMAL GRAVITY (1967) 9799076.95 GU  
IGF CORRECTION 122.50 GU TERRAIN COEFFICIENT 8.41 GU  
TIDAL CORRECTION 1.17 GU METER DRIFT 0.09 GU  
FREE AIR ANOMALY -67.73 GU BOUGUER DENSITY 2.500  
STANDARD BOUGUER ANOMALY (DENSITY = 2.670) -52.51 GU  
GEOLOGIC BOUGUER ANOMALY (DENSITY = 2.500) -52.97 GU

K6  
REFERENCE NUMBER 47 (1986) ELEVATION 5.682 METRES  
LONGITUDE 22 7 22 E EASTING\*\*\*\*\* METRES  
LATITUDE 37 2 0 N NORTHING\*\*\*\*\* METRES  
EPOCH 10H 44M 16 11 1986 DAY NUMBER 31730.86389  
OBSERVED GRAVITY 9798991.54 GU NORMAL GRAVITY (1967) 9799076.23 GU  
IGF CORRECTION 122.50 GU TERRAIN COEFFICIENT 8.20 GU  
TIDAL CORRECTION 1.22 GU METER DRIFT 0.11 GU  
FREE AIR ANOMALY -67.16 GU BOUGUER DENSITY 2.500  
STANDARD BOUGUER ANOMALY (DENSITY = 2.670) -51.62 GU  
GEOLOGIC BOUGUER ANOMALY (DENSITY = 2.500) -52.05 GU

K7  
REFERENCE NUMBER 48 (1986) ELEVATION 5.008 METRES  
LONGITUDE 22 7 22 E EASTING\*\*\*\*\* METRES  
LATITUDE 37 1 57 N NORTHING\*\*\*\*\* METRES  
EPOCH 10H 51M 16 11 1986 DAY NUMBER 31730.86875  
OBSERVED GRAVITY 9798993.40 GU NORMAL GRAVITY (1967) 9799075.51 GU  
IGF CORRECTION 122.50 GU TERRAIN COEFFICIENT 7.97 GU  
TIDAL CORRECTION 1.26 GU METER DRIFT 0.13 GU  
FREE AIR ANOMALY -66.65 GU BOUGUER DENSITY 2.500  
STANDARD BOUGUER ANOMALY (DENSITY = 2.670) -50.90 GU  
GEOLOGIC BOUGUER ANOMALY (DENSITY = 2.500) -51.36 GU

K8  
REFERENCE NUMBER 49 (1986) ELEVATION 4.130 METRES  
LONGITUDE 22 7 21 E EASTING\*\*\*\*\* METRES

LATITUDE	37 1 52 N	NORTHING***** METRES
EPOCH	10H 57M 16 11 1986	DAY NUMBER 31730.87292
OBSERVED GRAVITY	9798995.48 GU	NORMAL GRAVITY (1967) 9799074.30 GU
IGF CORRECTION	122.51 GU	TERRAIN COEFFICIENT 8.34 GU
TIDAL CORRECTION	1.29 GU	METER DRIFT 0.14 GU
FREE AIR ANOMALY	-66.06 GU	BOUGUER DENSITY 2.500
STANDARD BOUGUER	ANOMALY (DENSITY = 2.670)	-49.69 GU
GEOLOGIC BOUGUER	ANOMALY (DENSITY = 2.500)	-49.16 GU

K9

REFERENCE NUMBER	50 (1986)	ELEVATION 3.608 METRES
LONGITUDE	22 7 21 E	EASTING***** METRES
LATITUDE	37 1 49 N	NORTHING***** METRES
EPOCH	11H 3M 16 11 1986	DAY NUMBER 31730.87708
OBSERVED GRAVITY	9798994.99 GU	NORMAL GRAVITY (1967) 9799073.57 GU
IGF CORRECTION	122.51 GU	TERRAIN COEFFICIENT 8.51 GU
TIDAL CORRECTION	1.33 GU	METER DRIFT 0.16 GU
FREE AIR ANOMALY	-67.45 GU	BOUGUER DENSITY 2.500
STANDARD BOUGUER	ANOMALY (DENSITY = 2.670)	-48.77 GU
GEOLOGIC BOUGUER	ANOMALY (DENSITY = 2.500)	-49.30 GU

K10

REFERENCE NUMBER	51 (1986)	ELEVATION 3.236 METRES
LONGITUDE	22 7 21 E	EASTING***** METRES
LATITUDE	37 1 46 N	NORTHING***** METRES
EPOCH	11H 9M 16 11 1986	DAY NUMBER 31730.88125
OBSERVED GRAVITY	9798994.11 GU	NORMAL GRAVITY (1967) 9799072.85 GU
IGF CORRECTION	122.51 GU	TERRAIN COEFFICIENT 8.80 GU
TIDAL CORRECTION	1.36 GU	METER DRIFT 0.18 GU
FREE AIR ANOMALY	-68.75 GU	BOUGUER DENSITY 2.500
STANDARD BOUGUER	ANOMALY (DENSITY = 2.670)	-48.88 GU
GEOLOGIC BOUGUER	ANOMALY (DENSITY = 2.500)	-49.47 GU

K11

REFERENCE NUMBER	52 (1986)	ELEVATION 2.971 METRES
LONGITUDE	22 7 21 E	EASTING***** METRES
LATITUDE	37 1 42 N	NORTHING***** METRES
EPOCH	11H 16M 16 11 1986	DAY NUMBER 31730.88611
OBSERVED GRAVITY	9798993.02 GU	NORMAL GRAVITY (1967) 9799071.88 GU
IGF CORRECTION	122.51 GU	TERRAIN COEFFICIENT 9.09 GU
TIDAL CORRECTION	1.39 GU	METER DRIFT 0.20 GU
FREE AIR ANOMALY	-69.69 GU	BOUGUER DENSITY 2.500
STANDARD BOUGUER	ANOMALY (DENSITY = 2.670)	-48.75 GU
GEOLOGIC BOUGUER	ANOMALY (DENSITY = 2.500)	-49.39 GU

K12

REFERENCE NUMBER	53 (1986)	ELEVATION 2.749 METRES
LONGITUDE	22 7 21 E	EASTING***** METRES
LATITUDE	37 1 39 N	NORTHING***** METRES
EPOCH	11H 22M 16 11 1986	DAY NUMBER 31730.89028
OBSERVED GRAVITY	9798992.58 GU	NORMAL GRAVITY (1967) 9799071.16 GU
IGF CORRECTION	122.52 GU	TERRAIN COEFFICIENT 9.39 GU
TIDAL CORRECTION	1.42 GU	METER DRIFT 0.21 GU
FREE AIR ANOMALY	-70.10 GU	BOUGUER DENSITY 2.500
STANDARD BOUGUER	ANOMALY (DENSITY = 2.670)	-48.10 GU
GEOLOGIC BOUGUER	ANOMALY (DENSITY = 2.500)	-48.78 GU

K13

REFERENCE NUMBER	54 (1986)	ELEVATION 2.597 METRES
LONGITUDE	22 7 21 E	EASTING***** METRES
LATITUDE	37 1 36 N	NORTHING***** METRES
EPOCH	11H 28M 16 11 1986	DAY NUMBER 31730.89444
OBSERVED GRAVITY	9798992.18 GU	NORMAL GRAVITY (1967) 9799070.43 GU
IGF CORRECTION	122.52 GU	TERRAIN COEFFICIENT 9.68 GU
TIDAL CORRECTION	1.44 GU	METER DRIFT 0.23 GU
FREE AIR ANOMALY	-70.24 GU	BOUGUER DENSITY 2.500

STANDARD BOUGUER ANOMALY (DENSITY = 2.670) -47.30 GU  
GEOLOGIC BOUGUER ANOMALY (DENSITY = 2.500) -49.02 GU

S14

REFERENCE NUMBER 56 (1986) ELEVATION 2.324 METRES  
LONGITUDE 22 7 20 E EASTING\*\*\*\*\* METRES  
LATITUDE 37 1 24 N NORTHING\*\*\*\*\* METRES  
EPOCH 11H 34M 16 11 1986 DAY NUMBER 31730.89861  
OBSERVED GRAVITY 9798992.18 GU NORMAL GRAVITY (1967) 9799069.95 GU  
IGF CORRECTION 122.52 GU TERRAIN COEFFICIENT 9.98 GU  
TIDAL CORRECTION 1.47 GU METER DRIFT 0.24 GU  
FREE AIR ANOMALY -70.59 GU BOUGUER DENSITY 2.500  
STANDARD BOUGUER ANOMALY (DENSITY = 2.670) -46.55 GU  
GEOLOGIC BOUGUER ANOMALY (DENSITY = 2.500) -47.32 GU

S16

REFERENCE NUMBER 16 (1986) ELEVATION 18.207 METRES  
LONGITUDE 22 7 28 E EASTING\*\*\*\*\* METRES  
LATITUDE 37 2 19 N NORTHING\*\*\*\*\* METRES  
EPOCH 11H 44M 16 11 1986 DAY NUMBER 31730.90556  
OBSERVED GRAVITY 9798969.89 GU NORMAL GRAVITY (1967) 9799080.82 GU  
IGF CORRECTION 122.49 GU TERRAIN COEFFICIENT 11.48 GU  
TIDAL CORRECTION 1.50 GU METER DRIFT 0.27 GU  
FREE AIR ANOMALY -54.74 GU BOUGUER DENSITY 2.500  
STANDARD BOUGUER ANOMALY (DENSITY = 2.670) -44.47 GU  
GEOLOGIC BOUGUER ANOMALY (DENSITY = 2.500) -44.63 GU

S16

REFERENCE NUMBER 16 (1986) ELEVATION 18.207 METRES  
LONGITUDE 22 7 28 E EASTING\*\*\*\*\* METRES  
LATITUDE 37 2 19 N NORTHING\*\*\*\*\* METRES  
EPOCH 11H 45M 16 11 1986 DAY NUMBER 31730.90625  
OBSERVED GRAVITY 9798969.92 GU NORMAL GRAVITY (1967) 9799080.82 GU  
IGF CORRECTION 122.49 GU TERRAIN COEFFICIENT 11.48 GU  
TIDAL CORRECTION 1.50 GU METER DRIFT 0.27 GU  
FREE AIR ANOMALY -54.71 GU BOUGUER DENSITY 2.500  
STANDARD BOUGUER ANOMALY (DENSITY = 2.670) -44.44 GU  
GEOLOGIC BOUGUER ANOMALY (DENSITY = 2.500) -44.60 GU.

1986 GRAVITY OBSERVATIONS

B28

REFERENCE NUMBER	28 (1986)	ELEVATION	25.208 METRES
LONGITUDE	22 4 51 E	EASTING*****	METRES
LATITUDE	37 2 38 N	NORTHING*****	METRES
EPOCH	12H 34M 16 11 1986	DAY NUMBER	31730.94028
OBSERVED GRAVITY	9798973.53 GU	NORMAL GRAVITY (1967)	9799085.41 GU
IGF CORRECTION	122.48 GU	TERRAIN COEFFICIENT	9.47 GU
TIDAL CORRECTION	1.56 GU	METER DRIFT	0.00 GU
FREE AIR ANOMALY	-34.08 GU	BOUGUER DENSITY	2.500
STANDARD BOUGUER	ANOMALY (DENSITY = 2.670)	-37.02 GU	
GEOLOGIC BOUGUER	ANOMALY (DENSITY = 2.500)	-36.38 GU	

L1

REFERENCE NUMBER	56 (1986)	ELEVATION	2.601 METRES
LONGITUDE	22 7 1 E	EASTING*****	METRES
LATITUDE	37 1 34 N	NORTHING*****	METRES
EPOCH	12H 45M 16 11 1986	DAY NUMBER	31730.94792
OBSERVED GRAVITY	9798994.61 GU	NORMAL GRAVITY (1967)	9799069.95 GU
IGF CORRECTION	122.52 GU	TERRAIN COEFFICIENT	7.16 GU
TIDAL CORRECTION	1.55 GU	METER DRIFT	-0.03 GU
FREE AIR ANOMALY	-67.31 GU	BOUGUER DENSITY	2.500
STANDARD BOUGUER	ANOMALY (DENSITY = 2.670)	-51.11 GU	
GEOLOGIC BOUGUER	ANOMALY (DENSITY = 2.500)	-51.32 GU	

L2

REFERENCE NUMBER	57 (1986)	ELEVATION	3.114 METRES
LONGITUDE	22 7 1 E	EASTING*****	METRES
LATITUDE	37 1 38 N	NORTHING*****	METRES
EPOCH	12H 50M 16 11 1986	DAY NUMBER	31730.95139
OBSERVED GRAVITY	9798995.63 GU	NORMAL GRAVITY (1967)	9799070.92 GU
IGF CORRECTION	122.52 GU	TERRAIN COEFFICIENT	7.32 GU
TIDAL CORRECTION	1.55 GU	METER DRIFT	-0.05 GU
FREE AIR ANOMALY	-65.69 GU	BOUGUER DENSITY	2.500
STANDARD BOUGUER	ANOMALY (DENSITY = 2.670)	-49.42 GU	
GEOLOGIC BOUGUER	ANOMALY (DENSITY = 2.500)	-49.36 GU	

L3

REFERENCE NUMBER	58 (1986)	ELEVATION	3.544 METRES
LONGITUDE	22 7 1 E	EASTING*****	METRES
LATITUDE	37 1 41 N	NORTHING*****	METRES
EPOCH	12H 56M 16 11 1986	DAY NUMBER	31730.95556
OBSERVED GRAVITY	9798995.32 GU	NORMAL GRAVITY (1967)	9799071.64 GU
IGF CORRECTION	122.52 GU	TERRAIN COEFFICIENT	7.48 GU
TIDAL CORRECTION	1.54 GU	METER DRIFT	-0.07 GU
FREE AIR ANOMALY	-65.39 GU	BOUGUER DENSITY	2.500

STANDARD BOUGUER ANOMALY (DENSITY = 2.670) -49.36 GU  
GEOLOGIC BOUGUER ANOMALY (DENSITY = 2.500) -49.65 GU

L4  
REFERENCE NUMBER 59 (1986) ELEVATION 4.116 METRES  
LONGITUDE 22 7 1 E EASTING\*\*\*\*\* METRES  
LATITUDE 37 1 44 N NORTHING\*\*\*\*\* METRES  
EPOCH 13H 38M 16 11 1986 DAY NUMBER 31730.96042  
OBSERVED GRAVITY 9798994.83 GU NORMAL GRAVITY (1967) 9799072.37 GU  
IGF CORRECTION 122.51 GU TERRAIN COEFFICIENT 7.167 GU  
TIDAL CORRECTION 1.52 GU METER DRIFT -0.09 GU  
FREE AIR ANOMALY -64.83 GU BOUGUER DENSITY 2.500  
STANDARD BOUGUER ANOMALY (DENSITY = 2.670) -48.96 GU  
GEOLOGIC BOUGUER ANOMALY (DENSITY = 2.500) -49.25 GU

L5  
REFERENCE NUMBER 60 (1986) ELEVATION 4.830 METRES  
LONGITUDE 22 7 1 E EASTING\*\*\*\*\* METRES  
LATITUDE 37 1 48 N NORTHING\*\*\*\*\* METRES  
EPOCH 13H 8M 16 11 1986 DAY NUMBER 31730.96389  
OBSERVED GRAVITY 9798994.17 GU NORMAL GRAVITY (1967) 9799073.33 GU  
IGF CORRECTION 122.51 GU TERRAIN COEFFICIENT 7.86 GU  
TIDAL CORRECTION 1.51 GU METER DRIFT -0.10 GU  
FREE AIR ANOMALY -64.26 GU BOUGUER DENSITY 2.500  
STANDARD BOUGUER ANOMALY (DENSITY = 2.670) -48.68 GU  
GEOLOGIC BOUGUER ANOMALY (DENSITY = 2.500) -49.01 GU

L7  
REFERENCE NUMBER 62 (1986) ELEVATION 5.688 METRES  
LONGITUDE 22 7 1 E EASTING\*\*\*\*\* METRES  
LATITUDE 37 1 55 N NORTHING\*\*\*\*\* METRES  
EPOCH 13H 17M 16 11 1986 DAY NUMBER 31730.97014  
OBSERVED GRAVITY 9798993.13 GU NORMAL GRAVITY (1967) 9799075.02 GU  
IGF CORRECTION 122.51 GU TERRAIN COEFFICIENT 8.31 GU  
TIDAL CORRECTION 1.48 GU METER DRIFT -0.13 GU  
FREE AIR ANOMALY -64.34 GU BOUGUER DENSITY 2.500  
STANDARD BOUGUER ANOMALY (DENSITY = 2.670) -48.52 GU  
GEOLOGIC BOUGUER ANOMALY (DENSITY = 2.500) -48.93 GU

L6  
REFERENCE NUMBER 61 (1986) ELEVATION 5.341 METRES  
LONGITUDE 22 7 1 E EASTING\*\*\*\*\* METRES  
LATITUDE 37 1 57 N NORTHING\*\*\*\*\* METRES  
EPOCH 13H 25M 16 11 1986 DAY NUMBER 31730.97569  
OBSERVED GRAVITY 9798993.64 GU NORMAL GRAVITY (1967) 9799074.54 GU  
IGF CORRECTION 122.51 GU TERRAIN COEFFICIENT 8.09 GU  
TIDAL CORRECTION 1.45 GU METER DRIFT -0.16 GU  
FREE AIR ANOMALY -64.41 GU BOUGUER DENSITY 2.500  
STANDARD BOUGUER ANOMALY (DENSITY = 2.670) -48.79 GU  
GEOLOGIC BOUGUER ANOMALY (DENSITY = 2.500) -49.15 GU

L8  
REFERENCE NUMBER 63 (1986) ELEVATION 6.928 METRES  
LONGITUDE 22 7 2 E EASTING\*\*\*\*\* METRES  
LATITUDE 37 2 0 N NORTHING\*\*\*\*\* METRES  
EPOCH 13H 32M 16 11 1986 DAY NUMBER 31730.98056  
OBSERVED GRAVITY 9798991.25 GU NORMAL GRAVITY (1967) 9799076.23 GU  
IGF CORRECTION 122.50 GU TERRAIN COEFFICIENT 8.53 GU  
TIDAL CORRECTION 1.43 GU METER DRIFT -0.18 GU  
FREE AIR ANOMALY -63.60 GU BOUGUER DENSITY 2.500  
STANDARD BOUGUER ANOMALY (DENSITY = 2.670) -49.59 GU  
GEOLOGIC BOUGUER ANOMALY (DENSITY = 2.500) -49.98 GU

-9  
REFERENCE NUMBER 64 (1986) ELEVATION 7.632 METRES  
LONGITUDE 22 7 2 E EASTING\*\*\*\*\* METRES

LATITUDE 37 2 3 N NORTHING\*\*\*\*\* METRES  
 EPOCH 13H 42M 16 11 1986 DAY NUMBER 31730.98750  
 OBSERVED GRAVITY 9798982.65 GU NORMAL GRAVITY (1967) 9799076.71 GU  
 IGF CORRECTION 122.50 GU TERRAIN COEFFICIENT 8.61 GU  
 TIDAL CORRECTION 1.28 GU METER DRIFT -0.21 GU  
 FREE AIR ANOMALY -63.51 GU BOUGUER DENSITY 2.500  
 STANDARD BOUGUER ANOMALY (DENSITY = 2.670) -49.06 GU  
 GEOLOGIC BOUGUER ANOMALY (DENSITY = 2.500) -49.43 GU

L10

REFERENCE NUMBER 65 (1986) ELEVATION 8.817 METRES  
 LONGITUDE 22 7 1 E EASTING\*\*\*\*\* METRES  
 LATITUDE 37 2 4 N NORTHING\*\*\*\*\* METRES  
 EPOCH 13H 50M 16 11 1986 DAY NUMBER 31730.99306  
 OBSERVED GRAVITY 9798987.80 GU NORMAL GRAVITY (1967) 9799077.19 GU  
 IGF CORRECTION 122.50 GU TERRAIN COEFFICIENT 8.69 GU  
 TIDAL CORRECTION 1.34 GU METER DRIFT -0.23 GU  
 FREE AIR ANOMALY -63.73 GU BOUGUER DENSITY 2.500  
 STANDARD BOUGUER ANOMALY (DENSITY = 2.670) -49.84 GU  
 GEOLOGIC BOUGUER ANOMALY (DENSITY = 2.500) -50.18 GU

L11

REFERENCE NUMBER 66 (1986) ELEVATION 9.603 METRES  
 LONGITUDE 22 7 2 E EASTING\*\*\*\*\* METRES  
 LATITUDE 37 2 8 N NORTHING\*\*\*\*\* METRES  
 EPOCH 13H 55M 16 11 1986 DAY NUMBER 31730.99653  
 OBSERVED GRAVITY 9798985.38 GU NORMAL GRAVITY (1967) 9799078.16 GU  
 IGF CORRECTION 122.50 GU TERRAIN COEFFICIENT 8.75 GU  
 TIDAL CORRECTION 1.31 GU METER DRIFT -0.25 GU  
 FREE AIR ANOMALY -63.15 GU BOUGUER DENSITY 2.500  
 STANDARD BOUGUER ANOMALY (DENSITY = 2.670) -50.54 GU  
 GEOLOGIC BOUGUER ANOMALY (DENSITY = 2.500) -50.80 GU

L12

REFERENCE NUMBER 67 (1986) ELEVATION 10.670 METRES  
 LONGITUDE 22 7 2 E EASTING\*\*\*\*\* METRES  
 LATITUDE 37 2 10 N NORTHING\*\*\*\*\* METRES  
 EPOCH 14H 2M 16 11 1986 DAY NUMBER 31731.00139  
 OBSERVED GRAVITY 9798983.82 GU NORMAL GRAVITY (1967) 9799078.64 GU  
 IGF CORRECTION 122.50 GU TERRAIN COEFFICIENT 8.87 GU  
 TIDAL CORRECTION 1.28 GU METER DRIFT -0.27 GU  
 FREE AIR ANOMALY -61.90 GU BOUGUER DENSITY 2.500  
 STANDARD BOUGUER ANOMALY (DENSITY = 2.670) -50.14 GU  
 GEOLOGIC BOUGUER ANOMALY (DENSITY = 2.500) -50.38 GU

L13

REFERENCE NUMBER 68 (1986) ELEVATION 11.788 METRES  
 LONGITUDE 22 7 2 E EASTING\*\*\*\*\* METRES  
 LATITUDE 37 2 14 N NORTHING\*\*\*\*\* METRES  
 EPOCH 14H 9M 16 11 1986 DAY NUMBER 31731.00625  
 OBSERVED GRAVITY 9798983.27 GU NORMAL GRAVITY (1967) 9799079.61 GU  
 IGF CORRECTION 122.49 GU TERRAIN COEFFICIENT 8.98 GU  
 TIDAL CORRECTION 1.23 GU METER DRIFT -0.29 GU  
 FREE AIR ANOMALY -59.96 GU BOUGUER DENSITY 2.500  
 STANDARD BOUGUER ANOMALY (DENSITY = 2.670) -49.18 GU  
 GEOLOGIC BOUGUER ANOMALY (DENSITY = 2.500) -49.35 GU

L14

REFERENCE NUMBER 69 (1986) ELEVATION 12.164 METRES  
 LONGITUDE 22 7 2 E EASTING\*\*\*\*\* METRES  
 LATITUDE 37 2 18 N NORTHING\*\*\*\*\* METRES  
 EPOCH 14H 15M 16 11 1986 DAY NUMBER 31731.01042  
 OBSERVED GRAVITY 9798976.53 GU NORMAL GRAVITY (1967) 9799080.57 GU  
 IGF CORRECTION 122.49 GU TERRAIN COEFFICIENT 9.09 GU  
 TIDAL CORRECTION 1.20 GU METER DRIFT -0.31 GU  
 FREE AIR ANOMALY -44.50 GU BOUGUER DENSITY 2.500

STANDARD BOUGUER ANOMALY (DENSITY = 2.670) -55.95 GU  
GEOLOGIC BOUGUER ANOMALY (DENSITY = 2.500) -56.02 GU

L15

REFERENCE NUMBER 70 (1986) ELEVATION 17.998 METRES  
LONGITUDE 22 7 0 E EASTING\*\*\*\*\* METRES  
LATITUDE 37 2 24 N NORTHOING\*\*\*\*\* METRES  
EPOCH 14H 23M 16 11 1986 DAY NUMBER 31731.01597  
OBSERVED GRAVITY 9798972.38 GU NORMAL GRAVITY (1967) 9799082.03 GU  
IGF CORRECTION 122.49 GU TERRAIN COEFFICIENT 9.23 GU  
TIDAL CORRECTION 1.14 GU METER DRIFT -0.33 GU  
FREE AIR ANOMALY -54.16 GU BOUGUER DENSITY 2.500  
STANDARD BOUGUER ANOMALY (DENSITY = 2.670) -49.66 GU  
GEOLOGIC BOUGUER ANOMALY (DENSITY = 2.500) -49.45 GU

L16

REFERENCE NUMBER 71 (1986) ELEVATION 22.734 METRES  
LONGITUDE 22 7 20 E EASTING\*\*\*\*\* METRES  
LATITUDE 37 2 22 N NORTHOING\*\*\*\*\* METRES  
EPOCH 14H 32M 16 11 1986 DAY NUMBER 31731.02222  
OBSERVED GRAVITY 9798965.91 GU NORMAL GRAVITY (1967) 9799082.75 GU  
IGF CORRECTION 122.49 GU TERRAIN COEFFICIENT 9.30 GU  
TIDAL CORRECTION 1.08 GU METER DRIFT -0.36 GU  
FREE AIR ANOMALY -46.68 GU BOUGUER DENSITY 2.500  
STANDARD BOUGUER ANOMALY (DENSITY = 2.670) -47.30 GU  
GEOLOGIC BOUGUER ANOMALY (DENSITY = 2.500) -46.76 GU

B28

REFERENCE NUMBER 28 (1986) ELEVATION 25.208 METRES  
LONGITUDE 22 6 51 E EASTING\*\*\*\*\* METRES  
LATITUDE 37 2 38 N NORTHOING\*\*\*\*\* METRES  
EPOCH 14H 42M 16 11 1986 DAY NUMBER 31731.02917  
OBSERVED GRAVITY 9798973.58 GU NORMAL GRAVITY (1967) 9799085.41 GU  
IGF CORRECTION 122.48 GU TERRAIN COEFFICIENT 9.47 GU  
TIDAL CORRECTION 1.01 GU METER DRIFT -0.39 GU  
FREE AIR ANOMALY -34.08 GU BOUGUER DENSITY 2.500  
STANDARD BOUGUER ANOMALY (DENSITY = 2.670) -37.02 GU  
GEOLOGIC BOUGUER ANOMALY (DENSITY = 2.500) -36.98 GU

ΓΕΩΗΛΕΚΤΡΙΚΗ ΕΡΕΥΝΑ

## ΓΕΩΗΛΕΚΤΡΙΚΗ ΕΡΕΥΝΑ

### 1. ΓΕΝΙΚΑ

Η γεωηλεκτρική έρευνα στην Καλαμάτα περιέλαβε 21: συνολικά γεωηλεκτρικές βυθομετρήσεις που διεξήχθησαν κατά το χρονικό διάστημα από 11.11.86 έως 20.11.86. Συγκεκριμένα έγιναν 3 βυθοσκοπήσεις στην τοποθεσία Φραγκοπήγαδο, 4 στην τοποθεσία Πλάκα, 5 στην οδό Ηρώων της περιοχής Μπαριάμ-αγά, 4 στην οδό Αύρας της περιοχής Φαρών, 3 στην περιοχή της Νέας Εισόδου της πόλης και δύο επί τόπου (in situ) μετρήσεις, μία στη θέση Κάστρο στην εμφάνιση της μάργας και μία στην εμφάνιση του φλύσχη στα περιθώρια της πόλης της Καλαμάτας. Όλες οι γεωηλεκτρικές βυθοσκοπήσεις έγιναν με τη διάταξη Schlumberger, με μέγιστο μήκος ηλεκτροδίων ρεύματος,  $\frac{AB}{2} = 316$  m.

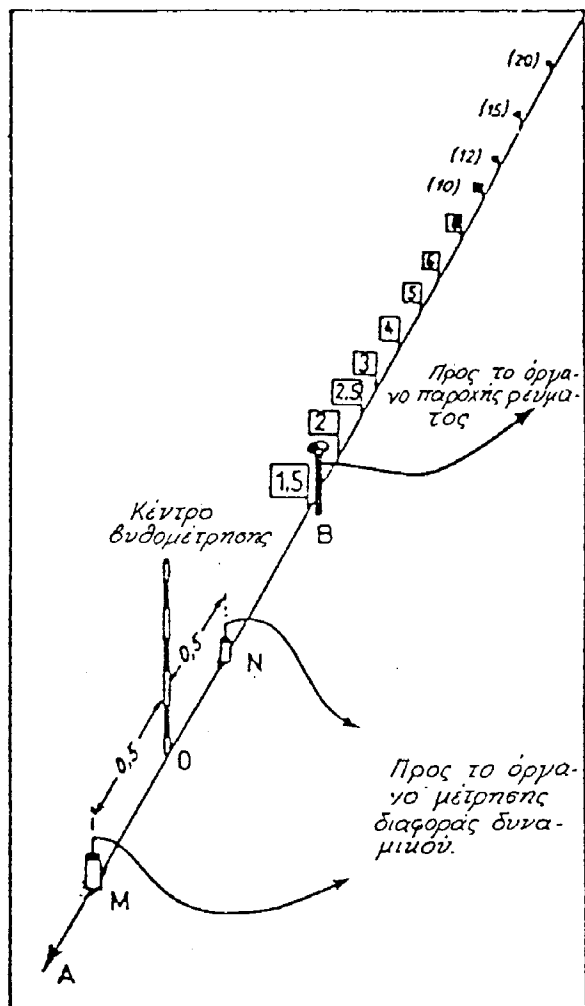
Σκοπός της γεωηλεκτρικής έρευνας ήταν να διερευνηθούν οι γεωλογικές συνθήκες του υπεδάφους, όπως ο καθορισμός της φύσης των γεωηλεκτρικών στρωμάτων, η ανίχνευση και εντοπισμός ρηγμάτων κ.λ.π.

Οι περισσότερες τοποθεσίες που ερευνήθηκαν είχαν ομαλό ανάγλυφο και δεν συναντήθηκαν ιδιαίτερα προβλήματα κατά την ανάπτυξη των ηλεκτροδίων ρεύματος. Οι θέσεις των γεωηλεκτρικών βυθοσκοπήσεων ορίσθηκαν από τους υπεύθυνους γεωφυσικούς του συνεργείου και τοποθετήθηκαν σε χάρτη αλίμανας 1:50.000 (συνημμένος χάρτης № 1).

Στις επόμενες παραγράφους θα γίνει αναφορά της γεωηλεκτρικής μεθόδου που χρησιμοποιήθηκε καθώς και των αποτελεσμάτων που προέκυψαν από τα γεωηλεκτρικά δεδομένα.

### 2. Η ΓΕΩΗΛΕΚΤΡΙΚΗ ΜΕΘΟΔΟΣ SCHLUMBERGER

Σύμφωνα με τη μέθοδο αυτή διοχετεύεται ηλεκτρικό ρεύμα στα άκρα γραμμής μήκους AB και μετρείται η διαφορά δυναμικού που αναπτύσσεται σε δύο σημεία που βρίσκονται συμμετρικά ως προς το Κέντρο της διάταξης (μέσο της γραμμής AB) και που απέχουν απόσταση MN (βλ. σχήμα 1). Με αυτό το τρόπο, όσο αυξάνεται το μήκος της γραμμής AB, τόσο το ηλεκτρικό ρεύμα εισχωρεί σε μεγαλύτερο βάθος και επιτρέπει τον προσδιορισμό της διαδοχής σε βάθος των διαφόρων γεωλογικών στρωμάτων, είτε καλών είτε κακών αγωγών του



Σχήμα 1.

ηλεκτρισμού.

Η ποσότητα τελικά που μετρείται είναι η ειδική αντίσταση  $\rho_a$ , η τιμή της οποίας δίνεται από το τύπο :

$$\rho_a = \frac{\left(\frac{AB}{2}\right)^2 - \left(\frac{MN}{2}\right)^2}{MN} \cdot \frac{\Delta V}{I}$$

Οι μετρήσεις στην ύπαιθρο έγιναν με υψηλής τεχνολογίας όργανο (TERRAMETER), η δε επεξεργασία και ερμηνεία τους έγινε με κατάλληλα προγράμματα σε Η/Υ.

### 3. ΑΠΟΤΕΛΕΣΜΑΤΑ - ΕΡΜΗΝΕΙΑ ΓΕΩΗΛΕΚΤΡΙΚΩΝ ΔΕΔΟΜΕΝΩΝ

Τα αποτελέσματα των γεωηλεκτρικών δεδομένων όπως προέκυψαν από τη σχετική επεξεργασία φαίνονται στο Παράρτημα I. Οι λύσεις που έγιναν αποδεκτές έχουν σφάλμα R.M.S μικρότερο από 2 ( $RMS < 2$ ). Σύμφωνα με τα αποτελέσματα αυτά χαράχθηκαν γεωηλεκτρικές τομές, που απεικονίζουν τα πάχη των γεωηλεκτρικών στρωμάτων και τις ειδικές αντιστάσεις τους (πραγματικές), οι οποίες φαίνονται στο Παράρτημα II. Για την ποιοτική ερμηνεία των γεωλεκτρικών δεδομένων χαράχθηκαν τομές φαινόμενης ειδικής αντίστασης που απεικονίζονται στο Παράρτημα III. Τα αποτελέσματα και η αντίστοιχη ερμηνεία που δόθηκε θα σχολιασθούν για κάθε μια περιοχή χωριστά, παρακάτω.

#### 3.1. ΠΕΡΙΟΧΗ ΜΠΑΡΙΑΜ ΑΓΑ

Η γεωηλεκτρική τομή της περιοχής Μπαριάμ αγά αποτελείται από 5 γεωηλεκτρικές βυθοσκοπήσεις, οι οποίες δεν έχουν σημαντικές υψομετρικές διαφορές. Στο χάρτη του σχήματος 7 φαίνεται μια οριζόντια μορφή των καμπύλων ίσης φαινόμενης ειδικής αντίστασης, μεταξύ των βυθοσκοπήσεων  $M_1$  και  $M_3$  και μια ανώμαλη συμπεριφορά αυτών μεταξύ των βυθοσκοπήσεων  $M_3$  και  $M_5$ . Η μη ορι-

ζόντια μορφή των καμπύλων ίσης φαινόμενης ειδικής αντίστασης κάτω από τη θέση  $M_4$  δημιουργεί προβλήματα στην ποσοτική ερμηνεία της βυθοσκόπησης αυτής. Έτσι, στο σχήμα 2, που απεικονίζει τη γεωηλεκτρική τομή της περιοχής Μπαριάμ - αγά, δεν παρουσιάζεται η ποσοτική ερμηνεία της βυθοσκόπησης  $M_4$ .

Στη γεωηλεκτρική τομή του σχήματος 2 παρουσιάζονται κυρίως 4 γεωηλεκτρικά στρώματα. Το πρώτο και επιφανειακό στρώμα έχει μικρό πάχος, 2 - 4 m, και ειδική αντίσταση που κυμαίνεται μεταξύ 55 και 296 Ohm.m.

Στη συνέχεια παρουσιάζεται ένα στρώμα μικρού σχετικά πάχους (13 - 18 m) με ειδική αντίσταση που κυμαίνεται μεταξύ 12 και 38 Ohm. m. Το στρώμα αυτό αποτελείται κυρίως από αργιλικό υλικό. Κάτω από το στρώμα αυτό υπάρχει ένα ενδιάμεσο στρώμα μεγάλου σχετικά πάχους (54 - 71 m), το οποίο διακρίνεται από την ομοιόμορφη ειδική αντίστασή του (55 - 73 Ohm.m). Το στρώμα αυτό αποτελείται στο σύνολο του από περισσότερο αδρομερές υλικό από το υπερκείμενό του. Στη συνέχεια κάτω από το στρώμα αυτό παρουσιάζεται ένα στρώμα μικρής σχετικά ειδικής αντίστασης (14- 35 Ohm.m), το οποίο αποτελείται από λεπτόκοκκο, αργιλικό υλικό. Η τιμή της ειδικής αντίστασης 14 Ohm.m, κάτω από το σημείο  $M_5$ , ίσως είναι μικρότερη της πραγματικής.

### 3.2. ΠΕΡΙΟΧΗ ΦΑΡΩΝ

Η γεωηλεκτρική τομή της περιοχής Φαρών αποτελείται από 4 γεωηλεκτρικές βυθοσκοπήσεις, οι οποίες δεν παρουσιάζουν σημαντικές υψημετρικές διαφορές. Στο χάρτη του σχήματος 8 φαίνεται η κατανομή της φαινόμενης ειδικής αντίστασης για την παραπάνω περιοχή. Από τη μορφή των καμπύλων ίσης φαινόμενης ειδικής αντίστασης φαίνεται μια αύξηση του πάχους μεταξύ των βυθοσκοπήσεων  $\Phi P_2$  και  $\Phi P_3$ .

Στη γεωηλεκτρική τομή του σχήματος 3 παρουσιάζονται κυρίως 3 γεωηλεκτρικά στρώματα. Το πρώτο επιφανειακό στρώμα εί-

ναι μικρού πάχους (2 - 3 m) και με ειδική αντίσταση που κυμαίνεται μεταξύ 142 και 311 Ohm.m. Κάτω από το στρώμα αυτό παρουσιάζεται ένα ενδιάμεσο στρώμα μικρού πάχους κάτω από τις βυθοσκοπήσεις ΦΡ1 και ΦΡ4 και μεγάλου πάχους κάτω από τις βυθόσκοπήσεις ΦΡ2 και ΦΡ3. Η ειδική αντίσταση του ενδιάμεσου στρώματος κυμαίνεται μεταξύ 39 και 56 Ohm.m. Το στρώμα αυτό αποτελείται κυρίως από αδρομερές υλικό. Στη συνέχεια, κάτω από το στρώμα αυτό υπάρχει ένα στρώμα μικρής σχετικά ειδικής αντίστασης που κυμαίνεται μεταξύ 12 και 30 Ohm.m. Θα πρέπει να αναφερθεί εδώ η απότομη αύξηση του βάθους του στρώματος αυτού μεταξύ των βυθοσκοπήσεων ΦΡ1 - ΦΡ2.

### 3.3. ΠΕΡΙΟΧΗ ΝΕΑΣ ΕΙΣΟΔΟΥ ΤΗΣ ΠΟΛΗΣ

Η γεωηλεκτρική τομή της περιοχής Νέας Εισόδου της πόλης αποτελείται από 3 γεωηλεκτρικές βυθοσκοπήσεις, οι οποίες δεν παρουσιάζουν σημαντικές υψημετρικές διαφορές. Στο χάρτη του σχήματος 9 φαίνεται η κατανομή της φαινόμενης ειδικής αντίστασης. Από τη μορφή των καμπύλων ίσης φαινόμενης ειδικής αντίστασης φαίνεται μια βάθυνση προς ανατολάς της τομής. Οι καμπύλες στο δυτικό τμήμα της τομής έχουν χαραχθεί με κάποια επιφύλαξη γιατί εκτελέσθηκε μόνο βυθοσκόπηση στην περιοχή αυτή.

Στη γεωηλεκτρική τομή του σχήματος 4 παρουσιάζονται κυρίως 4 γεωηλεκτρικά στρώματα. Το πρώτο και επιφανειακό στρώμα έχει μικρό πάχος (2 - 3 m) και ειδική αντίσταση που κυμαίνεται μεταξύ 104 και 424 Ohm.m. Κάτω από το στρώμα αυτό υπάρχει ένα ενδιάμεσο στρώμα που παρουσιάζει μια ελαφρή αύξηση του πάχους προς Ανατολάς και χαρακτηρίζεται από μικρή σχετικά και ομοιόμορφη ειδική αντίσταση (29-30 ohm.m). Το στρώμα αυτό αποτελείται, κατά κύριο λόγο από λεπτόκοκκο αργιλικό υλικό. Κάτω από το στρώμα αυτό παρουσιάζεται ένα διλό στρώμα που διαφέρει σημαντικά από το ενδιάμεσο στρώμα. Το υλικό του στρώματος αυτού είναι περισσότερο αδρομερές (40 - 44 Ohm.m). Η υψηλή τιμή ειδικής αντίστασης που παρουσιάζεται στο δυτικό άκρο της τομής μπορεί να αποδοθεί είτε στην ύπαρξη πολύ συνεκτικού κροκαλοπαγούς είτε στην ύπαρξη ασβεστολιθικού σχηματισμού.

Τέλος το υπόβαθρο παρουσιάζεται με σχετικά χαμηλές και ομοιόμορφες ειδικές αντιστάσεις ( $35 - 45 \text{ Ohm. m}$ ) . Το υλικό του στρώματος αυτού αποτελείται από λεπτόκοκκο σχετικά υλικό.

Αν προσπαθήσει κανείς να συγκρίνει τις γεωηλεκτρικές τομές των περιοχών Μπαριάμ - αγά , Φαρών και Νέας εισόδου της πόλης θα πρέπει να χαράξει μια τομή που διέρχεται από τις παραπάνω περιοχές.

Για το σκοπό αυτό χαράχθηκε η γεωηλεκτρική τομή NE1 - ΦΡ3 όπως φαίνεται στο σχήμα 5.

Στη τομή NE1 - ΦΡ3 παρατηρούνται τα εξής ενδιαφέροντα στοιχεία. α) Το ενδιάμεσο στρώμα που χαρακτηρίζεται από ειδική αντίσταση που κυμαίνεται μεταξύ 29 και  $44 \text{ Ohm. m}$  φαίνεται να βαθαίνει από Ανατολικά προς Δυσμάς με μεγαλύτερο πάχος κάτω από τις βυθοσκοπήσεις NE2 και NE3 (~ 26 m).

β) Το στρώμα που βρίσκεται κάτω από το ενδιάμεσο, το οποίο αποτελείται από περισσότερο αδρομερές υλικό, παρουσιάζει μια ομαλή αύξηση του πάχους του από Δυτικά προς Ανατολάς με μεγαλύτερο πάχος κάτω από τη βυθοσκόπηση ΦΡ3 (~60 m).

γ) Το υπόβαθρο που χαρακτηρίζεται από σχετικά μικρή τιμή ειδικής αντίστασης ( $28 - 45 \text{ Ohm.m}$ ) αποτελείται από λέπτοκοκκο υλικό (κυριαρχεί το αργιλικό ) και παρουσιάζει μια αύξηση του βάθους του από Δυτικά προς Ανατολάς (από 41 έως 76 περίπου μέτρα).

### 3.4. ΠΕΡΙΟΧΗ ΦΡΑΓΚΟΠΗΓΑΔΟΥ

Οι γεωηλεκτρικές βυθοσκοπήσεις (συνολικά τρεις) δεν αποτελούν γεωηλεκτρική τομή στην περιοχή Φραγκοπήγαδου. Η αξιολόγηση των στοιχείων είναι περιωρισμένη , λόγω του μικρού αριθμού των γεωηλεκτρικών βυθοσκοπήσεων στην παραπάνω περιοχή. Γενικά παρατηρούνται γεωηλεκτρικά στρώματα μεγάλης σχετικά ειδικής αντίστασης (αδρομερή και χρονδρόκοκκα υλικά). Το στρώμα με ειδική

αντίσταση 35 - 37 Ohm.m πιθανόν να αντιπροσωπεύει περισσότερο λεπτόκοκκο υλικό.

### 3.5. ΠΕΡΙΟΧΗ ΠΛΑΚΑΣ (κτήμα Σταθόπουλου).

Η γεωλεκτρική τομή της περιοχής πλάκας αποτελείται από 3 γεωλεκτρικές βυθοσκοπήσεις, οι οποίες δεν παρουσιάζουν σημαντικές υψημετρικές διαφορές. Στο χάρτη του σχήματος 10 παρατηρείται μια βάθυνση προς δυσμάς όπως προκύπτει από τη μορφή των καμπύλων ίσης φαινόμενης ειδικής αντίστασης. Επίσης, κάτω από τη βυθοσκόπηση  $\Pi_2$ , παρατηρείται μια πλευρική αλλαγή του υλικού. Τα αποτελέσματα της ποσοτικής ερμηνείας των γεωλεκτρικών βυθοσκοπήσεων  $\Pi_4$ ,  $\Pi_1$  και  $\Pi_2$  φαίνονται στη γεωλεκτρική τομή του σχήματος 6. Ετσι, παρατηρούνται κυρίως 4 γεωλεκτρικά στρώματα. Το πρώτο επιφανειακό στρώμα αυξάνει σε πάχος προς δυσμάς και η ειδική του αντίσταση κυμαίνεται μεταξύ 129 και 174 Ohm.m. Κάτω από το στρώμα αυτό βρίσκεται ένα σχετικά λεπτό στρώμα με ειδική αντίσταση που κυμαίνεται μεταξύ 31 και 61 Ohm.m. Στη συνέχεια βρίσκεται ένα ενδιάμεσο στρώμα μεγάλου σχετικά πάχους και με ειδική αντίσταση που κυμαίνεται μεταξύ 127 και 136 Ohm.m. Κάτω από το ενδιάμεσο στρώμα παρατηρείται μια πλευρική μεταβολή μεταξύ των βυθοσκοπήσεων  $\Pi_1$  και  $\Pi_2$ . Συγκεκριμένα κάτω από τη βυθοσκόπηση  $\Pi_2$  παρατηρείται ένα στρώμα σχετικά μεγάλου πάχους με υψηλή ειδική αντίσταση. Πιστεύεται ότι οι τιμές ειδικής αντίστασης που κυμαίνονται μεταξύ 127 και 174 Ohm.m. αντιπροσωπεύουν κυρίως αδρομερή υλικά (άμμους έως χάλικες) και οι τιμές 31 έως 67 Ohm.m. αντιπροσωπεύουν περισσότερο λεπτόκοκκα υλικά (αργίλους έως λεπτόκοκκους άμμους). Η τιμή ειδικής αντίστασης των 408 Ohm.m πιθανόν να αντιπροσωπεύει κροκάλες, χάλικες και άμμους.

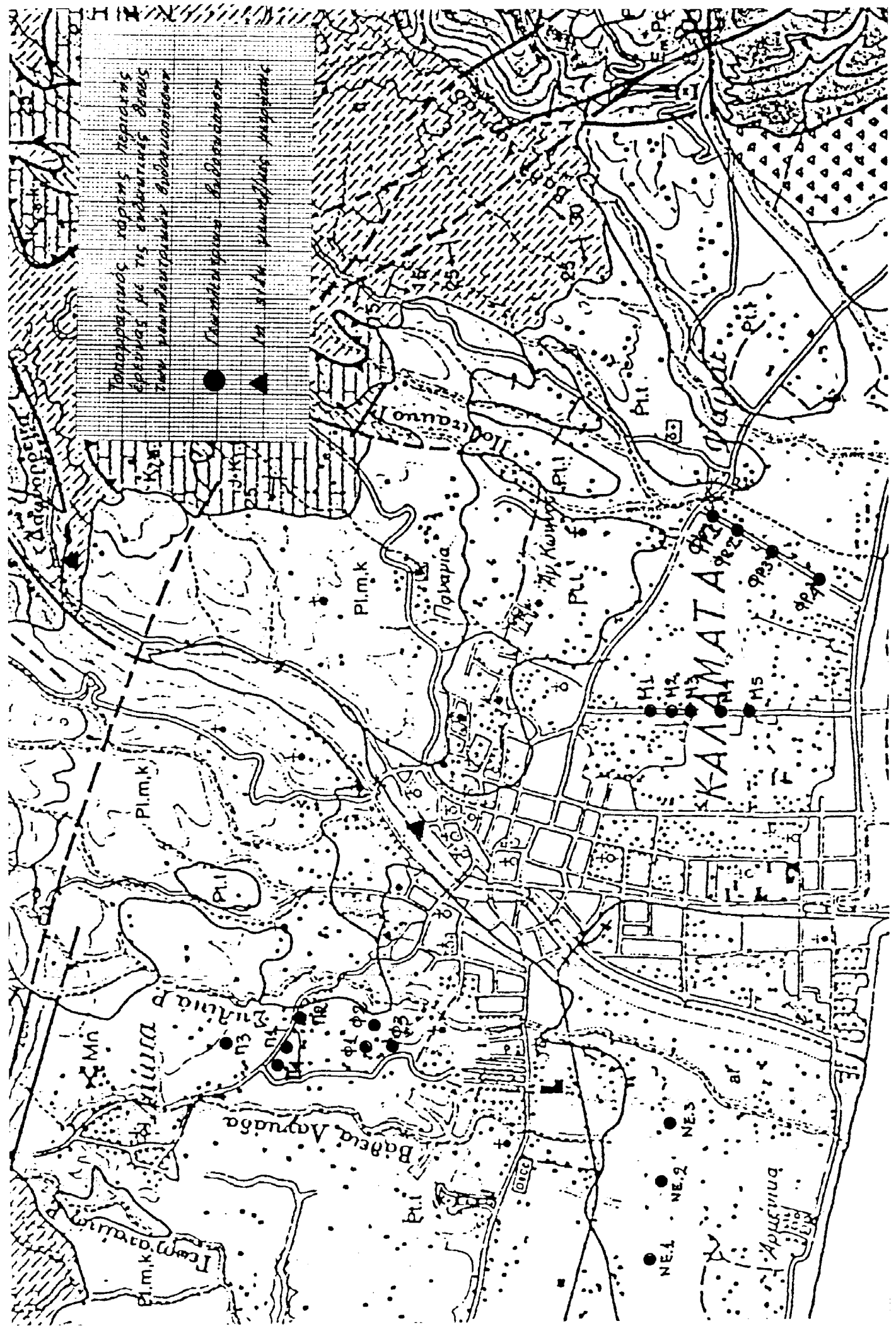
Στην περιοχή πλάκας έγινε ακόμη μια γεωλεκτρική βυθοσκόπηση σε απόσταση περίπου 300 μέτρων βόρεια των άλλων γεωλεκτρικών βυθοσκοπήσεων. Τα αποτελέσματα της βυθοσκόπησης  $\Pi_3$  φαίνονται στο Παράρτημα I. Σύμφωνα με τα αποτελέσματα αυτά οι γεωλογικές συνθήκες κάτω από τη βυθοσκόπηση  $\Pi_3$  μοιάζουν περισσότερο με αυτές που επικρατούν κάτω από τις βυθοσκοπήσεις  $\Pi_4$  και  $\Pi_1$ .

### 3.6. ΕΠΙ ΤΟΠΟΥ (IN SITU) ΜΕΤΡΗΣΕΙΣ

Επί τόπου μετρήσεις έγιναν σε δύο περιοχές . Στην περιοχή του Κάστρου , που χαρακτηρίζεται ωρίως από μάργα, έγινε μια γεωηλεκτρική διασκόπηση με ανάπτυγμα ηλεκτροδίων ρεύματος μέχρι 31.6 m(AB/2) . Τα αποτελέσματα φαίνονται στο Παράρτημα I. Σύμφωνα με τα αποτελέσματα αυτά η τιμή της καθαρής μάργας έχει μικρή τιμή (14.6 Ohm.m) .

Έγιναν επίσης επι τόπου μετρήσεις σε φλύσχη, για να καθορισθεί η διακύμανση της ειδικής του αντίστασης, στην ευρύτερη περιοχή έρευνας. Τα αποτελέσματα της γεωηλεκτρικής βυθοσκόπησης σε φλύσχη φαίνονται επίσης στο Παράρτημα I. Σύμφωνα με τα αποτελέσματα αυτά η μικρότερη τιμή (54 Ohm.m) αντιπροσωπεύει την αργιλική φύση του φλύσχη ενώ η υψηλή τιμή(141 Ohm.m) τη ψαμμιτική του.

Σύμφωνα με τις παραπάνω τιμές του φλύσχη και της μάργας, οι μικρές τιμές ειδικής αντίστασης , που καθορίζουν το υπόβαθρο στις περιοχές Μπαριάμ - αγά και Φαρών , πρέπει να αποδοθούν μάλλον στην παρουσία της μάργας κάτω απ' αυτές τις περιοχές.



XÁPÖNC NO 1

Π Α Ρ Α Ρ Τ Η Μ Α Ι - ΓΕΩΗΛΕΚΤΡΙΚΗΣ ΜΕΘΟΔΟΥ

ΑΠΟΤΕΛΕΣΜΑΤΑ ΓΕΩΗΛΕΚΤΡΙΚΩΝ ΔΕΔΟΜΕΝΩΝ  
ΜΕΤΑ ΤΗ ΧΡΗΣΗ ΠΡΟΓΡΑΜΜΑΤΟΣ ΣΕ Η/Υ

1

resistivity inversion program

SCHLUMBERGER ARRAY

SOUNDING NO 1  
DATE 16-11-1986  
PROVINCE KALAMATA  
SITE MPARIAMAGA  
ORIENTATION 0DEGREES  
HEIGHT 5 METRES

iteration no. 7

layer no.	thickness in metres	resistivity in ohm*m	thick*res	thick/res
1	1.44	296.9	427.0	.005
2	3.23	22.2	71.9	.145
3	10.66	16.9	180.0	.631
4	71.10	72.8	5177.6	.976
5		13.5		

spacing	model rho	field rho
1.000	280.918	280.000
1.468	254.284	255.000
2.154	201.490	200.000
3.162	127.412	130.000
4.642	62.524	62.000
6.813	30.495	31.000
10.000	21.956	22.300
14.678	21.253	21.000
21.544	23.708	24.000
31.623	28.744	29.000
46.416	35.372	35.000
68.129	41.850	41.000
100.000	45.888	47.000
146.780	44.776	45.000
215.444	37.395	37.000
316.228	26.923	27.000

rms error = 1.249

## SCHLUMBERGER ARRAY

SOUNDING NO 2  
 DATE 14-11-1986  
 PROVINCE KALAMATA  
 SITE MPARIAMAGA  
 ORIENTATION 0 DEGREES  
 HEIGHT 5 METRES

## ITERATION NO. 15

LAYER NO.	THICKNESS IN METERS	RESISTIVITY IN OHM*M	THICK*RES	THICK/RES
1	1.24	151.6	187.6	0.008
2	13.10	19.2	251.7	0.682
3	59.65	68.0	4055.9	0.877
4		21.4		

SPACING	MODEL RHO	FIELD RHO
1.000	141.785	143.000
1.468	125.198	126.000
2.154	95.756	95.000
3.162	60.377	59.000
4.642	34.763	35.500
6.813	24.580	25.000
10.000	22.679	22.800
14.678	23.678	22.900
21.544	26.827	26.500
31.623	32.083	32.200
46.416	38.412	39.000
68.129	44.042	45.000
100.000	46.821	47.500
146.780	44.815	45.500
215.444	38.297	38.000
316.228	30.703	31.000

RMS ERROR = 1.590

1

resistivity inversion program

SCHLUMBERGER ARRAY

SOUNDING NO 3  
DATE 16-11-1986  
PROVINCE KALAMATA  
SITE MPARIAMAGA  
ORIENTATION 0DEGREES  
HEIGHT 5 METRES

iteration no. 15

layer no.	thickness in metres	resistivity in ohm*m	thick*res	thick/res
1	.83	234.6	195.2	.004
2	.93	150.8	139.9	.006
3	16.32	23.1	376.8	.707
4	61.61	54.6	3363.8	1.128
5		35.2		

spacing	model rho	field rho
1.000	215.904	215.000
1.468	192.045	195.000
2.154	152.751	148.000
3.162	102.972	106.000
4.642	58.347	57.000
6.813	33.741	34.000
10.000	26.252	26.500
14.678	25.316	25.000
21.544	26.711	26.700
31.623	30.005	30.000
46.416	34.657	35.000
68.129	39.336	39.000
100.000	42.632	42.500
146.780	43.552	44.000
215.444	42.115	41.800
316.228	39.613	39.700

rms error = 1.437

i  
resistivity inversion program

SCHLUMBERGER ARRAY

SOUNDING NO 4  
DATE 15-11-1986  
PROVINCE KALAMATA  
SITE MPARIAMAGA  
ORIENTATION 0DEGREES  
HEIGHT 5 METRES

iteration no. 15

layer no.	thickness in metres	resistivity in ohm*mm	thick*res	thick/res
1	.74	339.1	250.8	.002
2	.17	3.9	.6	.043
3	3.90	54.7	213.4	.071
4	18.74	37.8	708.3	.496
5	55.33	59.8	3307.1	.926
6		27.8		

spacing	model rho	field rho
1.000	244.122	245.000
1.468	161.740	160.000
2.154	83.862	85.000
3.162	46.136	45.500
4.642	40.800	41.500
6.813	43.162	42.500
10.000	44.181	44.500
14.678	43.395	43.500
21.544	42.271	42.000
31.623	42.385	42.500
46.416	44.222	44.500
68.129	46.621	46.000
100.000	47.354	48.000
146.780	44.766	44.500
215.444	39.431	39.500

rms error = 1.026

## SCHLUMBERGER ARRAY

SOUNDING NO 1  
 DATE 17-11-1986  
 PROVINCE KALAMATA  
 SITE PHARAI  
 ORIENTATION 0 DEGREES  
 HEIGHT 5 METRES

## ITERATION NO. 11

LAYER NO.	THICKNESS IN METERS	RESISTIVITY IN OHM*M	THICK*RES	THICK/RES
1	0.67	150.8	100.9	0.004
2	7.91	48.4	382.8	0.164
3	12.80	46.4	594.5	0.276
4		11.7		

SPACING	MODEL RHO	FIELD RHO
1.000	121.823	121.000
1.463	97.058	98.000
2.154	73.238	73.500
3.162	58.852	58.000
4.642	52.989	52.500
6.813	50.769	52.000
10.000	49.390	49.000
14.673	47.514	48.000
21.544	43.890	43.000
31.623	37.311	38.000
46.416	28.235	28.000
68.129	19.965	20.000

RMS ERROR = 1.295

1

resistivity inversion program

SCHLUMBERGER ARRAY

SOUNDING NO 2  
DATE 17-11-1986  
PROVINCE KALAMATA  
SITE PHARAI  
ORIENTATION 0 DEGREES  
HEIGHT 5 METRES

iteration no. 15

layer no.	thickness in metres	resistivity in ohm*m	thick*res	thick/res
1	1.35	60.5	81.9	.022
2	1.53	182.8	279.5	.008
3	.33	5.1	1.7	.065
4	100.17	38.8	3884.2	2.583
5		27.0		

spacing	model rho	field rho
1.000	62.722	63.000
1.468	66.118	66.000
2.154	72.331	72.000
3.162	79.429	78.500
4.642	81.358	82.500
6.813	73.285	74.500
10.000	58.551	57.500
14.678	46.255	46.000
21.544	40.762	41.000
31.623	39.281	40.000
46.416	38.834	38.500
68.129	38.448	37.800
100.000	37.707	37.800
146.780	36.205	36.500
215.444	33.819	33.700

rms error = 1.100

1

resistivity inversion program

SCHLUMBERGER ARRAY

SOUNDING NO 3  
DATE 17-11-1986  
PROVINCE KALAMATA  
SITE PHARAI  
ORIENTATION 0 DEGREES  
HEIGHT 5 METRES

iteration no. 4

layer no.	thickness in metres	resistivity in ohm*m	thick*res	thick/res
1	1.64	152.9	250.5	.011
2	2.27	89.2	202.8	.025
3	8.72	43.9	382.9	.198
4	59.35	52.7	3125.5	1.127
5		30.4		

spacing	model rho	field rho
1.000	150.850	150.000
1.468	147.161	148.000
2.154	138.751	139.000
3.162	123.609	124.000
4.642	103.066	102.000
6.813	81.592	82.500
10.000	64.021	63.500
14.678	53.737	53.500
21.544	50.119	50.000
31.623	49.827	50.000
46.416	50.122	50.000
68.129	49.503	50.500
100.000	47.070	47.500
146.780	42.684	43.000

rms error = .821

1

resistivity inversion program

SCHLUMBERGER ARRAY

SOUNDING NO 4  
DATE 17-11-1986  
PROVINCE KALAMATA  
SITE PHARAI  
ORIENTATION 0DEGREES  
HEIGHT 5 METRES

iteration no. 15

layer no.	thickness in metres	resistivity in ohm*m	thick*res	thick/res
1	1.47	311.0	455.9	.005
2	6.52	56.4	368.2	.116
3	.27	1.7	.5	.164
4		26.3		

spacing	model rho	field rho
1.000	297.668	296.000
1.468	275.829	275.000
2.154	231.407	232.000
3.162	166.210	168.500
4.642	104.258	104.000
6.813	67.507	66.000
10.000	50.104	51.000
14.678	38.448	39.000
21.544	30.347	29.500
31.623	26.966	27.000
46.416	26.255	27.000
68.129	26.196	26.500
100.000	26.218	25.500

rms error = 1.705

1  
resistivity inversion program

SCHLUMBERGER ARRAY

SOUNDING NO 1  
DATE 20-11-1986  
PROVINCE KALAMATA  
SITE NEA EISODOS  
ORIENTATION 0DEGREES  
HEIGHT 10 METRES

iteration no. 5

layer no.	thickness in metres	resistivity in ohm*m	thick*res	thick/res
1	.56	703.3	395.4	.001
2	2.55	227.5	580.0	.011
3	14.17	408.2	5785.5	.035
4	88.03	634.4	55845.8	.139
5		425.0		

spacing	model rho	field rho
1.000	514.130	520.000
1.468	396.153	390.000
2.154	307.054	310.000
3.162	271.056	270.000
4.642	274.774	275.000
6.813	299.861	300.000
10.000	333.028	335.000
14.678	366.773	365.000
21.544	401.446	400.000
31.623	441.400	445.000
46.416	486.749	495.000
68.129	529.127	525.000
100.000	557.149	555.000
146.780	561.744	570.000
215.444	540.194	550.000
316.228	502.655	500.000

rms error = .978

1

resistivity inversion program

SCHLUMBERGER ARRAY

SOUNDING NO 2  
DATE 20-11-1986  
PROVINCE KALAMATA  
SITE NEA EISODOS  
ORIENTATION 0DEGREES  
HEIGHT 10 METRES

iteration no. 15

layer no.	thickness in metres	resistivity in ohm*m	thick*res	thick/res
1	1.56	104.1	162.1	.015
2	25.38	30.3	768.8	.838
3	13.52	105.1	1421.0	.129
4		34.6		

spacing	model rho	field rho
1.000	101.009	100.000
1.468	95.860	98.000
2.154	84.903	84.000
3.162	67.654	67.500
4.642	49.630	49.500
6.813	37.926	38.000
10.000	33.155	33.800
14.678	31.891	32.000
21.544	32.262	32.000
31.623	34.164	33.000
46.416	37.609	38.000
68.129	41.220	42.500
100.000	42.748	42.000
146.780	41.544	41.500
215.444	39.025	39.000
316.228	36.874	37.000

rms error = 1.529

1

resistivity inversion program

SCHLUMBERGER ARRAY

SOUNDING NO 3  
DATE 20-11-1986  
PROVINCE KALAMATA  
SITE NEA EISODOS  
ORIENTATION 0DEGREES  
HEIGHT 10 METRES

iteration no. 15

layer no.	thickness in metres	resistivity in ohm*m	thick*res	thick/res
1	2.03	424.2	862.1	.005
2	25.13	29.0	728.9	.866
3	13.96	83.4	1164.8	.167
4	15.49	12.5	193.2	1.242
5		45.0		

spacing	model rho	field rho
1.000	415.057	410.000
1.468	398.124	400.000
2.154	356.879	365.000
3.162	277.149	280.000
4.642	169.553	162.000
6.813	80.656	82.500
10.000	40.815	41.000
14.678	31.889	32.500
21.544	31.013	30.000
31.623	32.050	32.000
46.416	34.106	34.500
68.129	35.856	36.000
100.000	36.276	36.000
146.780	36.473	36.500
215.444	37.880	38.000
316.228	40.092	40.000

rms error = 1.800

## SCHLUMBERGER ARRAY

SOUNDING NO. 1  
 DATE 11-11-1984  
 PROVINCE KALAMATA  
 SITE ERACOPICADO  
 ORIENTATION 90 DEGREES  
 HEIGHT 100 METRES

ITERATION NO. 6

LAYER NO.	THICKNESS IN METERS	RESISTIVITY IN OHM*M	THICK*RES	THICK/RES
1	1.68	191.7	312.3	0.009
2	7.38	117.3	859.1	0.062
3	10.77	233.1	2509.8	0.046
4	41.39	96.7	1517.0	1.124
5		241.8		

SPACING	MODEL RHO	FIELD RHO
1.000	191.138	192.000
1.468	187.252	187.000
2.154	178.674	178.000
3.162	164.324	164.000
4.642	147.936	148.000
6.813	136.404	138.000
10.000	133.367	132.000
14.678	137.185	138.000
21.544	140.693	141.000
31.623	132.810	135.000
46.416	109.768	110.000
69.129	84.719	85.000
100.000	76.482	77.000
146.780	68.560	68.500

RMS ERROR = 0.679

## SCHLUMBERGER ARRAY

SOUNDING NO 2  
 DATE 11-11-1986  
 PROVINCE KALAMATA  
 SITE FRAGOGIAGO  
 ORIENTATION 90 DEGREES  
 HEIGHT 100 METRES

ITERATION NO. 15

LAYER NO.	THICKNESS IN METERS	RESISTIVITY IN OHM*M	THICK*RES	THICK/RES
1	0.44	498.1	219.5	0.001
2	9.02	104.2	315.2	0.029
3	20.46	86.9	1779.0	0.295
4	18.61	35.1	653.1	0.580
5		101.9		

SPACING	MODEL RHO	FIELD RHO
1.000	269.082	270.000
1.468	179.293	180.000
2.154	131.418	130.000
3.162	114.599	114.000
4.642	107.777	109.000
6.813	102.522	105.000
10.000	97.661	96.000
14.678	93.401	92.000
21.544	88.883	89.000
31.623	82.485	83.500
46.416	74.562	73.500
68.129	69.726	70.000
100.000	72.106	72.500
146.780	79.389	79.000
215.444	87.119	87.000
316.228	93.289	93.500

RMS ERROR = 1.111

## SCHLUMBERGER ARRAY

SOUNDING NO. 2  
 DATE 11-11-1986  
 PROVINCE KALAMATA  
 SITE FRAGOPIGADO  
 ORIENTATION 90 DEGREES  
 HEIGHT 100 METRES

## ITERATION NO. 15

LAYER NO.	THICKNESS IN METERS	RESISTIVITY IN OHM*M	THICK*RES	THICK/RES
1	1.21	65.8	79.8	0.018
2	1.10	319.7	350.5	0.003
3	96.43	62.5	2278.4	0.582
4		89.2		

SPACING	MODEL RHO	FIELD RHO
1.000	70.920	71.500
1.468	77.656	77.500
2.154	89.613	87.500
3.162	103.890	103.000
4.642	112.700	119.000
6.813	109.719	109.000
10.000	96.279	93.500
14.678	80.911	81.500
21.544	71.096	72.500
31.623	67.427	67.500
46.416	67.636	66.000
68.129	70.565	71.500
100.000	75.287	75.500
146.780	80.254	80.000

RMS ERROR = 2.016

## CHLUMBERGER ARRAY

BOUNDING NO 1  
 DATE 15-11-1986  
 PROVINCE KALAMATA  
 SITE PLAKA  
 ORIENTATION 0 DEGREES  
 HEIGHT 150 METRES

ITERATION NO. 8

LAYER NO.	THICKNESS IN METERS	RESISTIVITY IN OHM*M	THICK*RES	THICK/RES
1	1.15	48.9	56.2	0.024
2	2.26	174.1	393.4	0.013
3	2.66	49.2	131.1	0.054
4	45.34	127.3	5769.3	0.356
5		67.3		

SPACING	MODEL RHO	FIELD RHO
1.000	52.980	53.000
1.468	58.380	58.500
2.154	68.178	68.000
3.162	81.112	80.000
4.642	92.818	94.000
6.813	98.958	101.000
10.000	99.376	97.500
14.678	99.299	98.500
21.544	103.222	104.500
31.623	109.303	110.000
46.416	113.067	112.000
68.129	111.399	111.000
100.000	103.106	104.000
146.780	90.717	90.000
215.444	79.716	80.000
316.228	73.219	73.500
464.159	70.278	70.000

RMS ERROR = 0.994

## SCHLUMBERGER ARRAY

SOUNDING NO           **2**  
 DATE               15-11-1984  
 PROVINCE           KALAMATA  
 SITE               PLAKA  
 ORIENTATION       0 DEGREES  
 HEIGHT            150 METRES

ITERATION NO. 15

LAYER NO.	THICKNESS IN METERS	RESISTIVITY IN OHM*M	THICK*RES	THICK/RES
1	1.69	60.9	103.2	0.028
2	21.23	130.9	2778.9	0.162
3	0.39	0.9	0.4	0.428
4	60.75	408.5	24819.1	0.149
5		39.2		

SPACING	MODEL RHO	FIELD RHO
1.000	62.484	62.000
1.468	64.381	64.000
2.154	68.785	70.000
3.162	76.908	77.500
4.642	88.162	89.000
6.813	100.028	97.500
10.000	109.987	108.000
14.678	116.191	117.500
21.544	116.933	117.500
31.623	111.144	113.000
46.416	102.268	102.000
68.129	101.007	100.000
100.000	113.824	112.500
146.780	130.973	135.000
215.444	136.668	138.000
316.228	122.062	120.000
464.159	91.863	92.500

RMS ERROR = 1.444

## CHLUMBERGER ARRAY

RECORDING NO. 3  
 DATE 15-11-1986  
 PROVINCE KALAMATA  
 SITE PLAKA  
 ORIENTATION 0 DEGREES  
 HEIGHT 160 METRES

ITERATION NO. 8

LAYER NO.	THICKNESS IN METERS	RESISTIVITY IN OHM*M	THICK*RES	THICK/RES
1	1.58	23.1	36.5	0.068
2	12.90	42.7	551.2	0.302
3	73.75	176.6	13022.2	0.418
4		78.4		

SPACING	MODEL RHO	FIELD RHO
1.000	23.758	24.000
1.463	24.451	24.500
2.154	25.998	25.500
3.162	28.710	28.500
4.642	32.295	32.500
6.813	36.102	37.000
10.000	39.981	40.000
14.678	44.795	43.700
21.544	52.376	52.500
31.623	64.363	64.000
46.416	80.282	82.500
68.129	97.511	96.000
100.000	112.301	112.000
146.780	120.043	120.000
215.444	117.400	118.000
316.228	106.343	106.000
464.159	93.931	94.000

RMS ERROR = 1.295

## SCHLUMBERGER ARRAY

SOUNDING NO      4  
 DATE            15-11-1986  
 PROVINCE        KALAMATA  
 SITE            PLAKA  
 ORIENTATION     0 DEGREES  
 HEIGHT          150 METRES

## ITERATION NO. 15

LAYER NO.	THICKNESS IN METERS	RESISTIVITY IN OHM*M	THICK*RES	THICK/RES
1	0.98	60.4	59.4	0.016
2	20.47	128.6	2632.6	0.159
3	9.30	30.5	283.8	0.305
4		135.7		

SPACING	MODEL RHO	FIELD RHO
1.000	65.278	65.000
1.468	71.042	71.000
2.154	80.518	82.000
3.162	92.205	92.500
4.642	103.529	101.500
6.813	112.645	110.500
10.000	118.673	120.000
14.678	120.893	122.000
21.544	118.264	119.000
31.623	109.888	110.000
46.416	98.816	97.500
68.129	93.728	95.000
100.000	99.081	98.000
146.780	109.476	110.000
215.444	119.167	119.000

RMS ERROR = 1.123

## SCHLUMBERGER ARRAY

SOUNDING NO 1  
 DATE 21-11-1986  
 PROVINCE KALAMATA  
 SITE KASTRO  
 ORIENTATION 90 DEGREES  
 HEIGHT 15 METRES

## ITERATION NO. 15

LAYER NO.	THICKNESS IN METERS	RESISTIVITY IN OHM*M	THICK*RES	THICK/RES
1	2.96	67.1	158.3	0.035
2	1.91	199.2	380.7	0.010
3		14.6		

SPACING	MODEL RHO	FIELD RHO
1.000	68.180	67.500
1.468	69.018	70.000
2.154	71.104	72.000
3.162	75.151	74.000
4.642	79.795	77.500
6.813	79.182	80.000
10.000	67.104	70.000
14.678	46.196	46.000
21.544	27.683	27.000
31.623	18.705	19.000

RMS ERROR = 2.071

## SCHLUMBERGER ARRAY

SOUNDING NO. 1  
 DATE 21-11-1986  
 PROVINCE KALAMATA  
 SITE DAMARI  
 ORIENTATION 0 DEGREES  
 HEIGHT 1 METRES

ITERATION NO. 4

LAYER NO.	THICKNESS IN METERS	RESISTIVITY IN OHM*M	THICK*RES	THICK/RES
1	1.48	85.7	126.6	0.617
2	10.87	53.5	591.2	0.103
3		140.7		

SPACING	MODEL RHO	FIELD RHO
1.000	85.177	85.000
1.468	83.085	83.000
2.154	79.723	79.000
3.162	71.997	72.500
4.642	64.968	64.000
6.813	60.444	61.000
10.000	59.591	60.000
14.678	62.947	62.000
21.544	71.203	72.000
31.623	83.714	83.500
46.416	97.919	98.000

RMS ERROR = 0.851

Π ΑΡΑΡΤΗΜΑ II ΓΕΩΗΛΕΚΤΡΙΚΗΣ ΜΕΘΟΔΟΥ

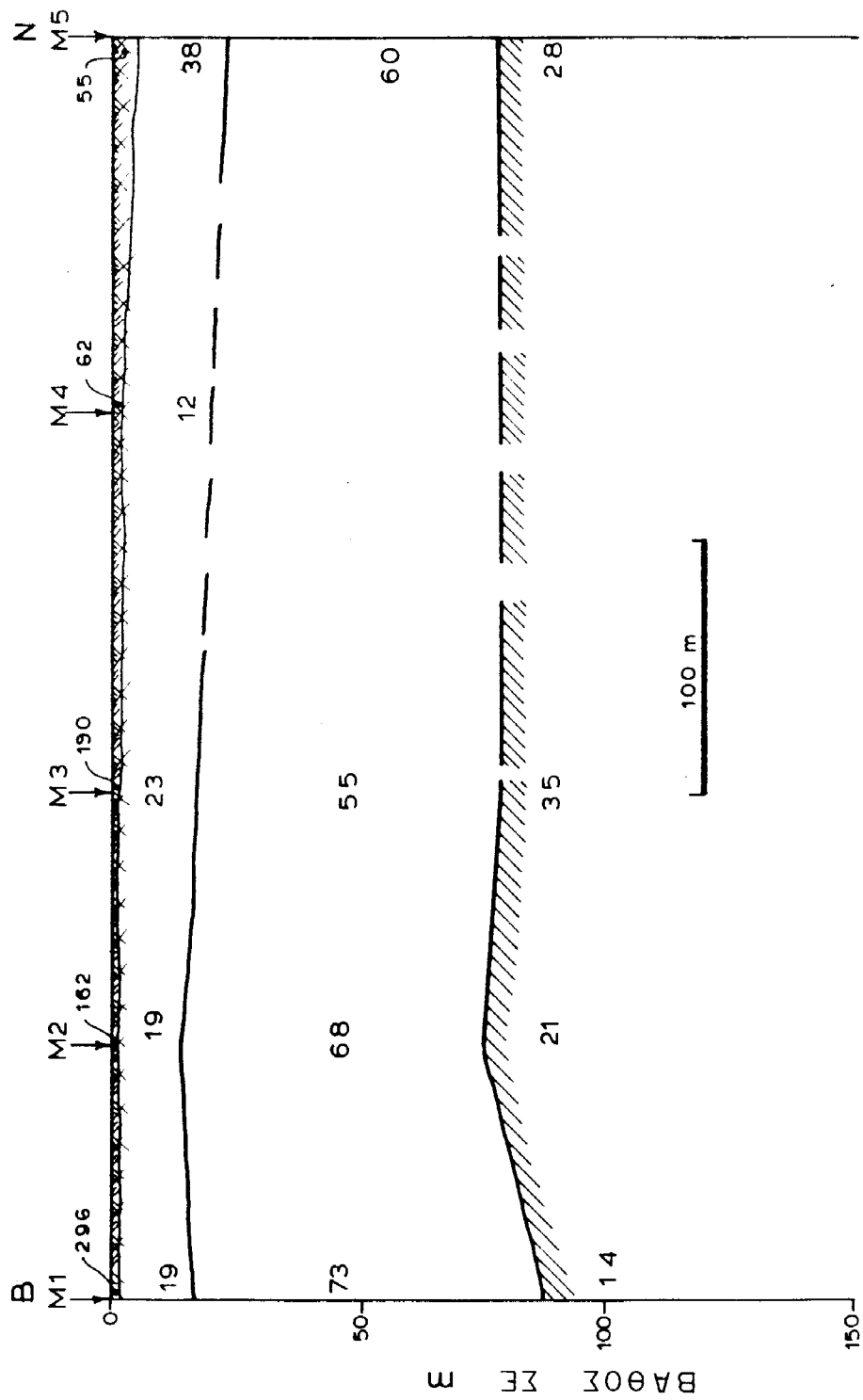
ΓΕΩΗΛΕΚΤΡΙΚΕΣ ΤΟΜΕΣ ΚΑΤΑΝΟΜΗΣ ΕΙΔΙΚΗΣ ΑΝΤΙΣΤΑΣΗΣ ΤΩΝ ΠΕΡΙΟΧΩΝ :

- α) ΜΠΑΡΙΑΜ - ΑΓΑ
- β) ΦΑΡΩΝ
- γ) ΝΕΑΣ ΕΙΣΟΔΟΥ ΠΟΛΗΣ
- δ) ΝΕΑΣ ΕΙΣΟΔΟΥ -ΦΑΡΩΝ
- ε) ΠΛΑΚΑΣ (Κτήμα Σταθόπουλου)

ΓΕΩΗΛΕΚΤΡΙΚΗ ΤΟΜΗ Μ1-Μ5  
ΠΕΡΙΟΧΗΣ ΜΠΑΡΙΑΜΑΓΑ

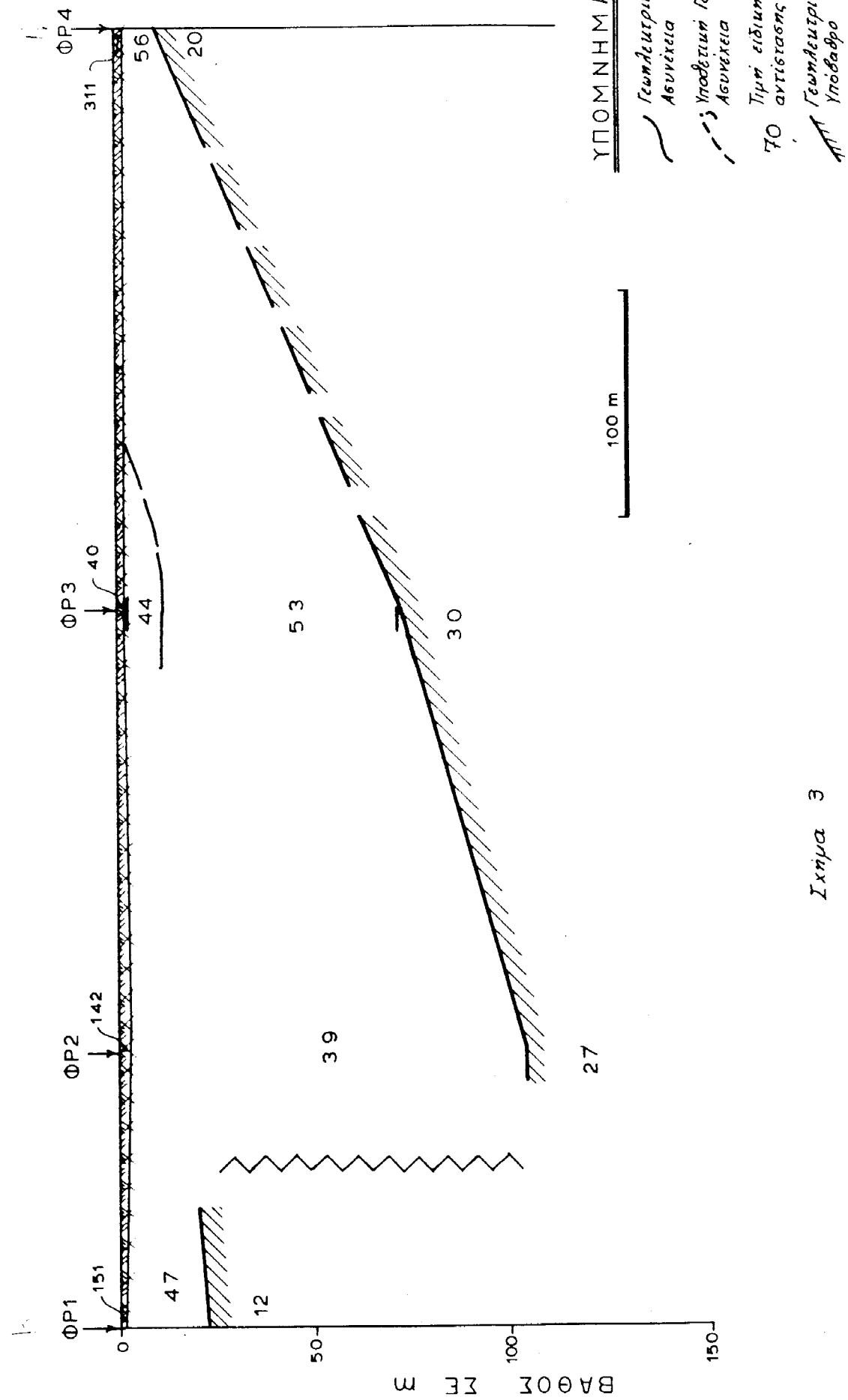
ΥΠΟΜΝΗΜΑ

- Γεωηλεκτρική Ασύρετα
- ; Υποδειγμάτων Γεωηλεκτρικής Ασύρετας
- ; Τυπού ειδίων ανιστάσεων Γεωηλεκτρικού Υποβάθρου



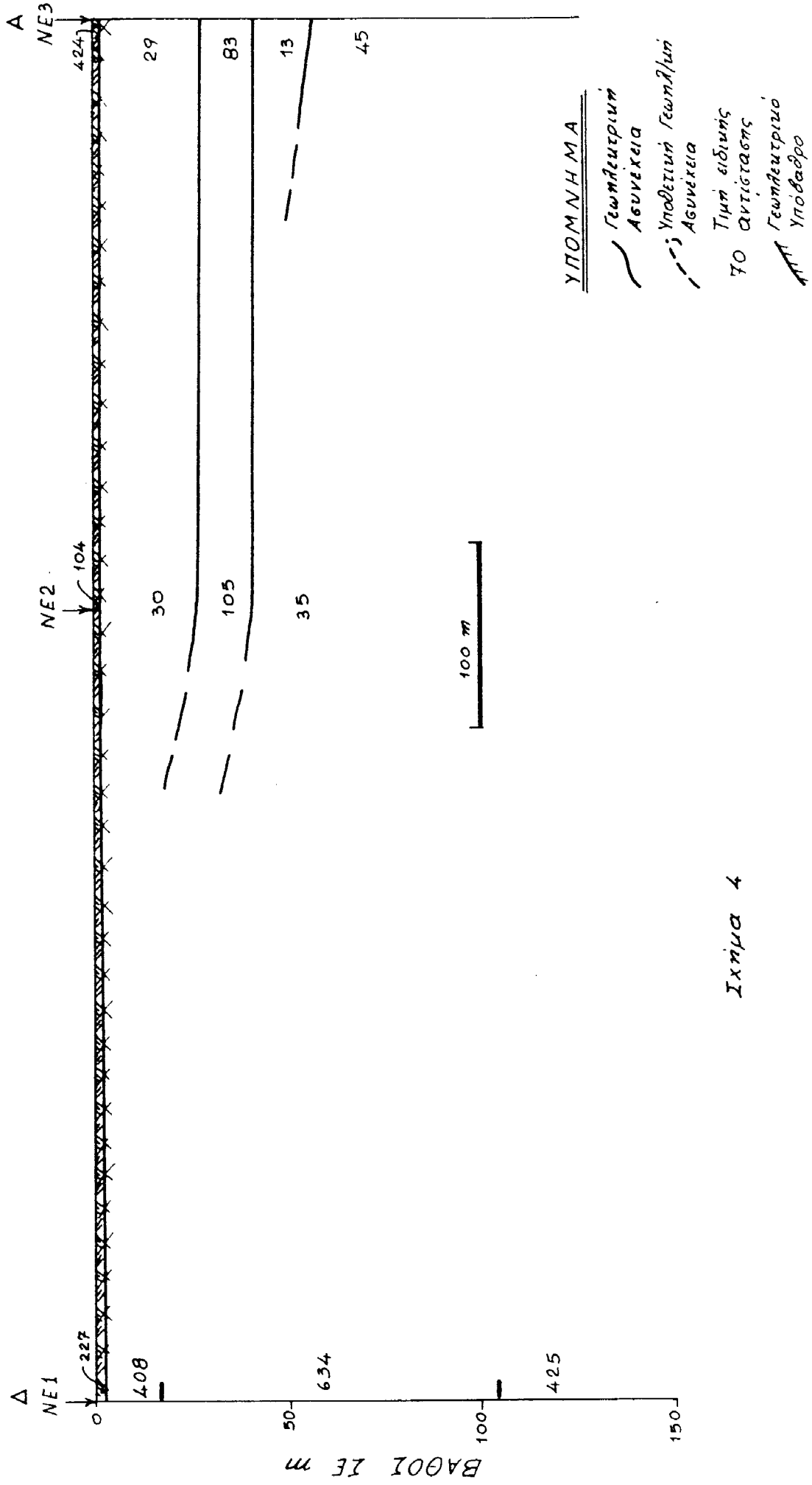
Ζεύμα 2.

ΓΕΩΗΛΕΚΤΡΙΚΗ ΤΟΜΗ  $\Phi P1 - \Phi P4$   
ΠΕΡΙΟΧΗΣ ΦΑΡΩΝ

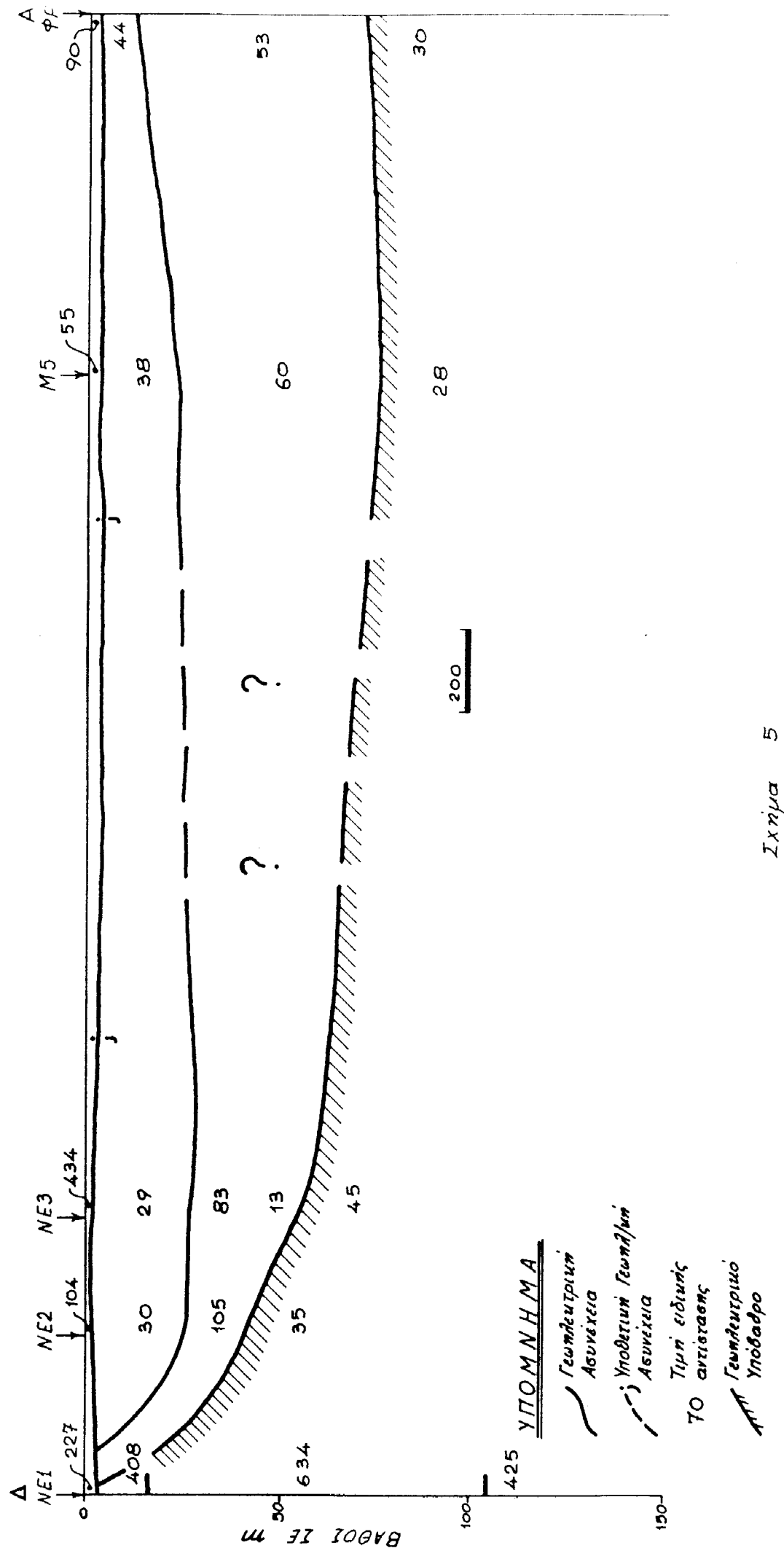


Σχήμα 3

ΓΕΩΗΛΕΚΤΡΙΚΗ ΤΟΜΗ ΝΕ1 - ΝΕ3  
ΠΕΡΙΟΧΗ ΝΕΑΣ ΕΙΔΟΥΣ ΤΗΣ ΠΟΛΗΣ



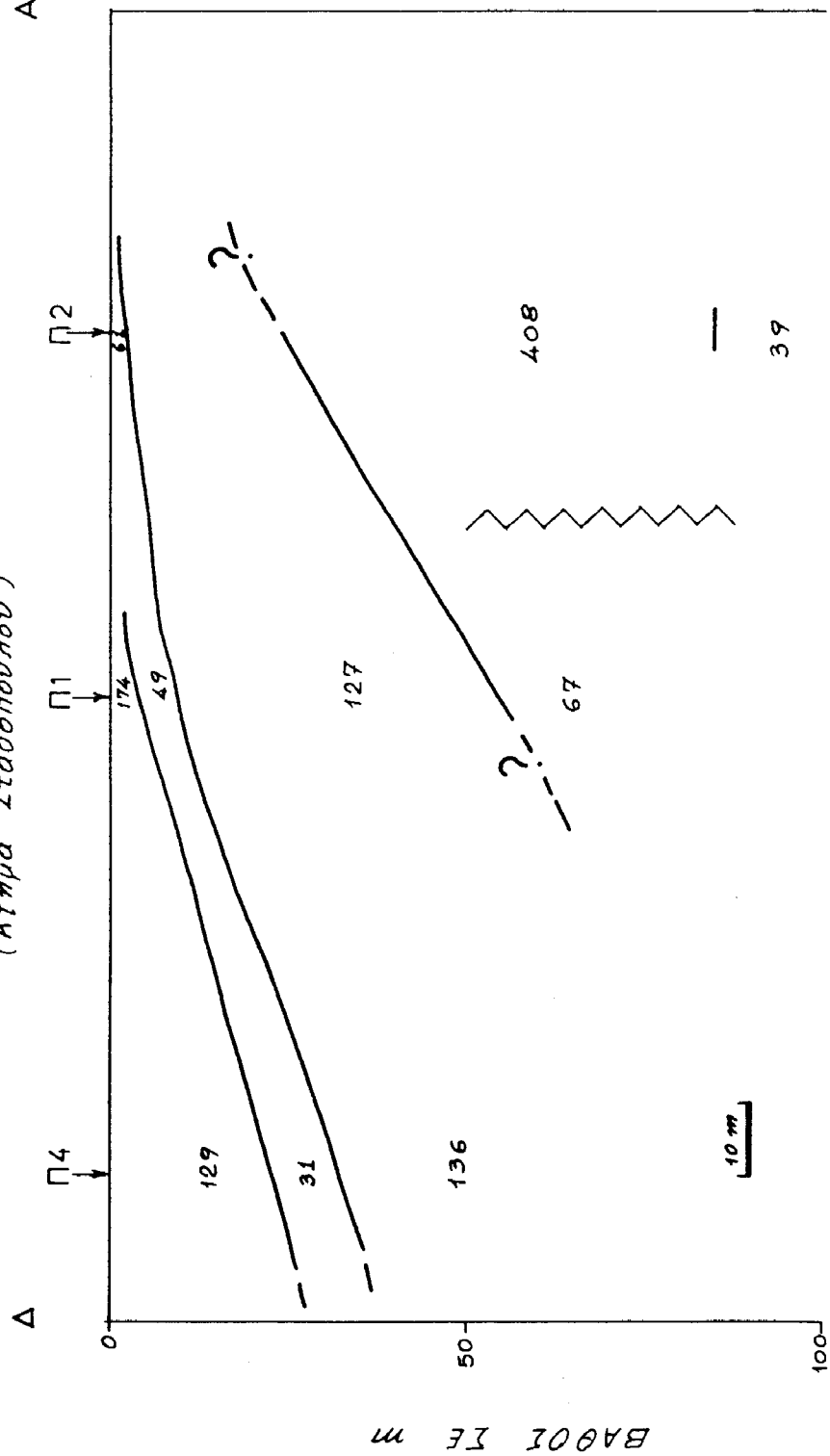
РЕОНАКТИВНІ ТОМН NE1-ФР3



ΓΕΩΗΛΕΚΤΡΙΚΗ ΤΟΜΗ Η4 - Η2

ΠΕΡΙΟΧΗΣ ΠΛΑΚΑΣ  
(Κτίρια Σταδίου)

A



ΥΠΟΜΝΗΜΑ

Geoelectrogram  
Anomalous

Geoelectrogram  
Anomalous

Geoelectrogram  
Anomalous

70 anomalies  
arrangements

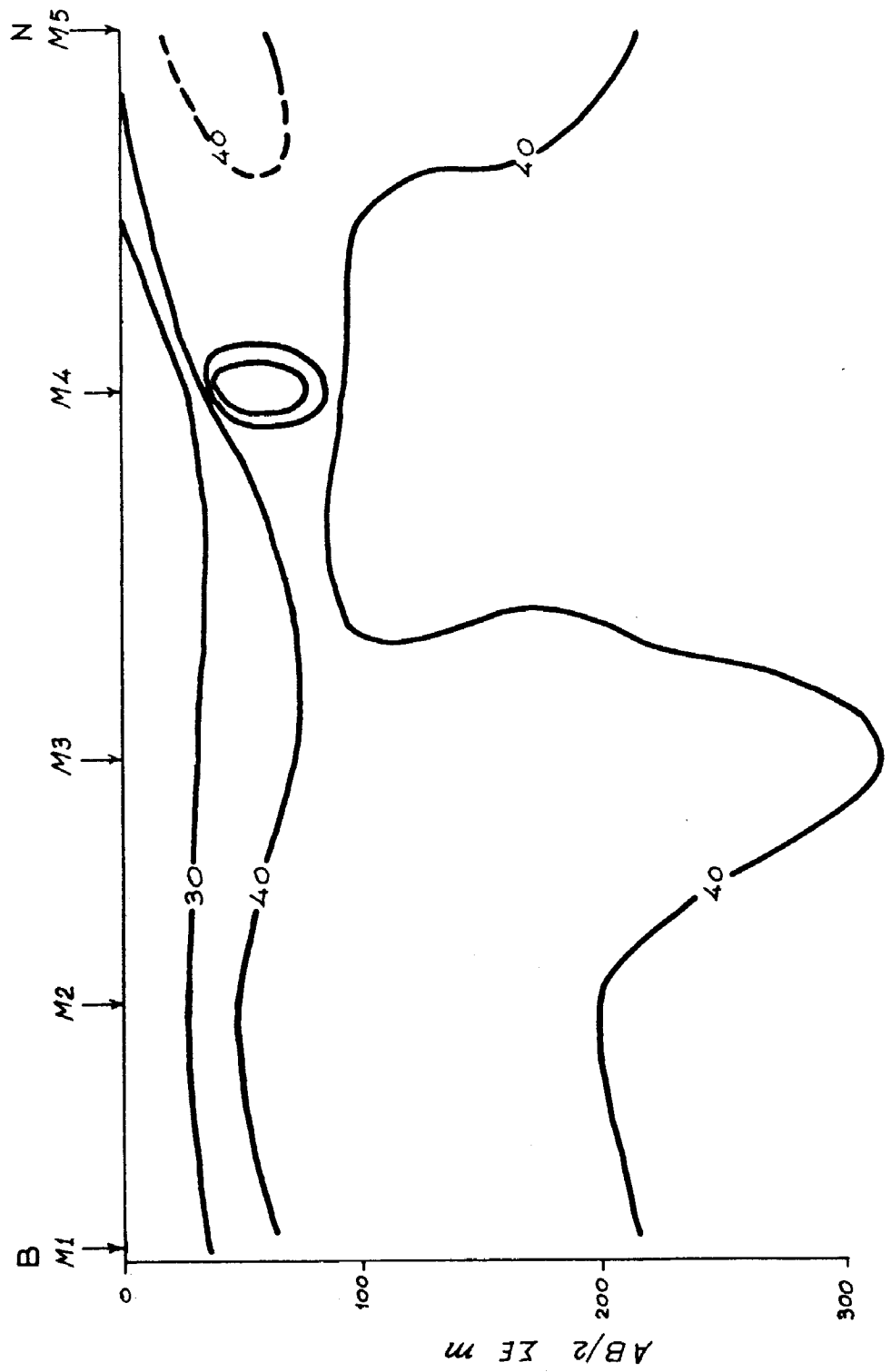
Geoelectrogram  
Unstable

Π Α Ρ Α Ρ Τ Η Μ Α III ΓΕΩΗΛΕΚΤΡΙΚΗΣ ΜΕΘΟΔΟΥ

ΧΑΡΤΕΣ ΦΑΙΝΟΜΕΝΗΣ ΕΙΔΙΚΗΣ ΑΝΤΙΣΤΑΣΗΣ ΠΕΡΙΟΧΩΝ:

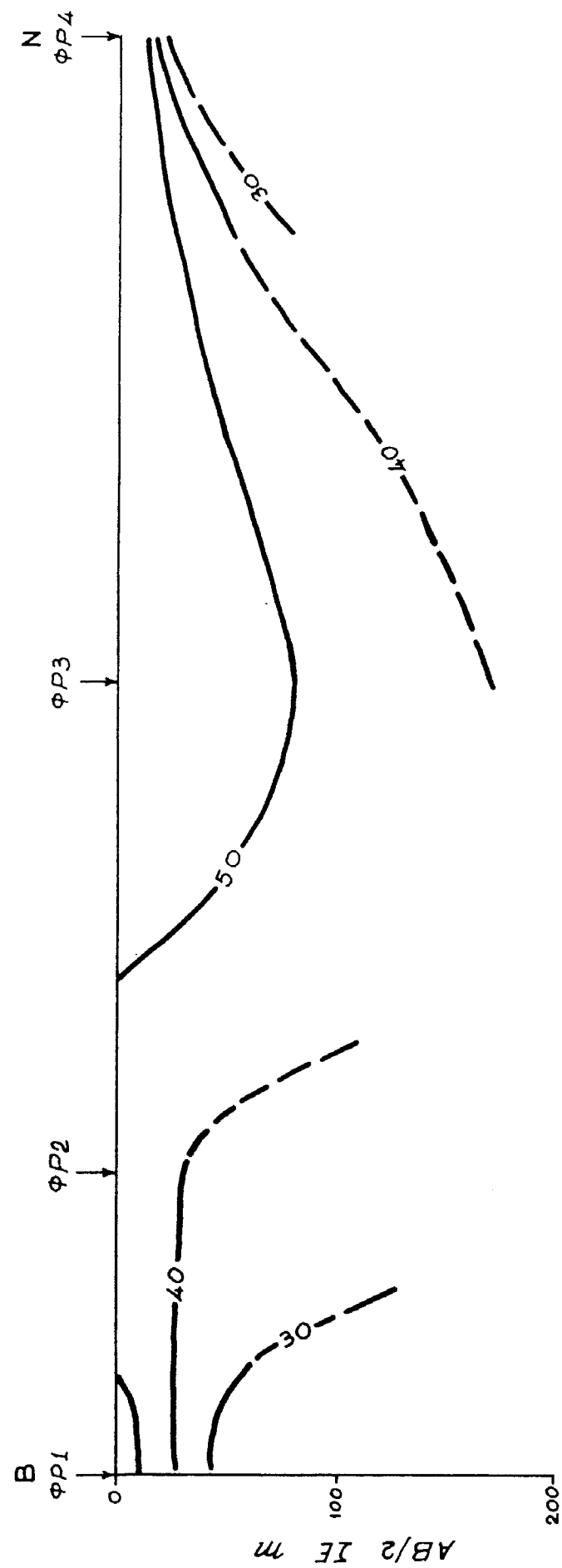
- α) ΜΠΑΡΙΑΜ-ΑΓΑ
- β) ΦΑΡΩΝ
- γ) ΝΕΑΣ ΕΙΣΟΔΟΥ ΠΟΛΗΣ
- δ) ΠΛΑΚΑΣ (Κτήμα Σταθόπουλου)

**ΧΑΡΤΗΣ ΦΑΙΝΟΜΕΝΗΣ ΕΙΔΙΚΗΣ ΑΝΤΙΣΤΑΣΗΣ  
ΠΕΡΙΟΧΗΣ ΜΠΑΡΙΑΜΑΓΑ**



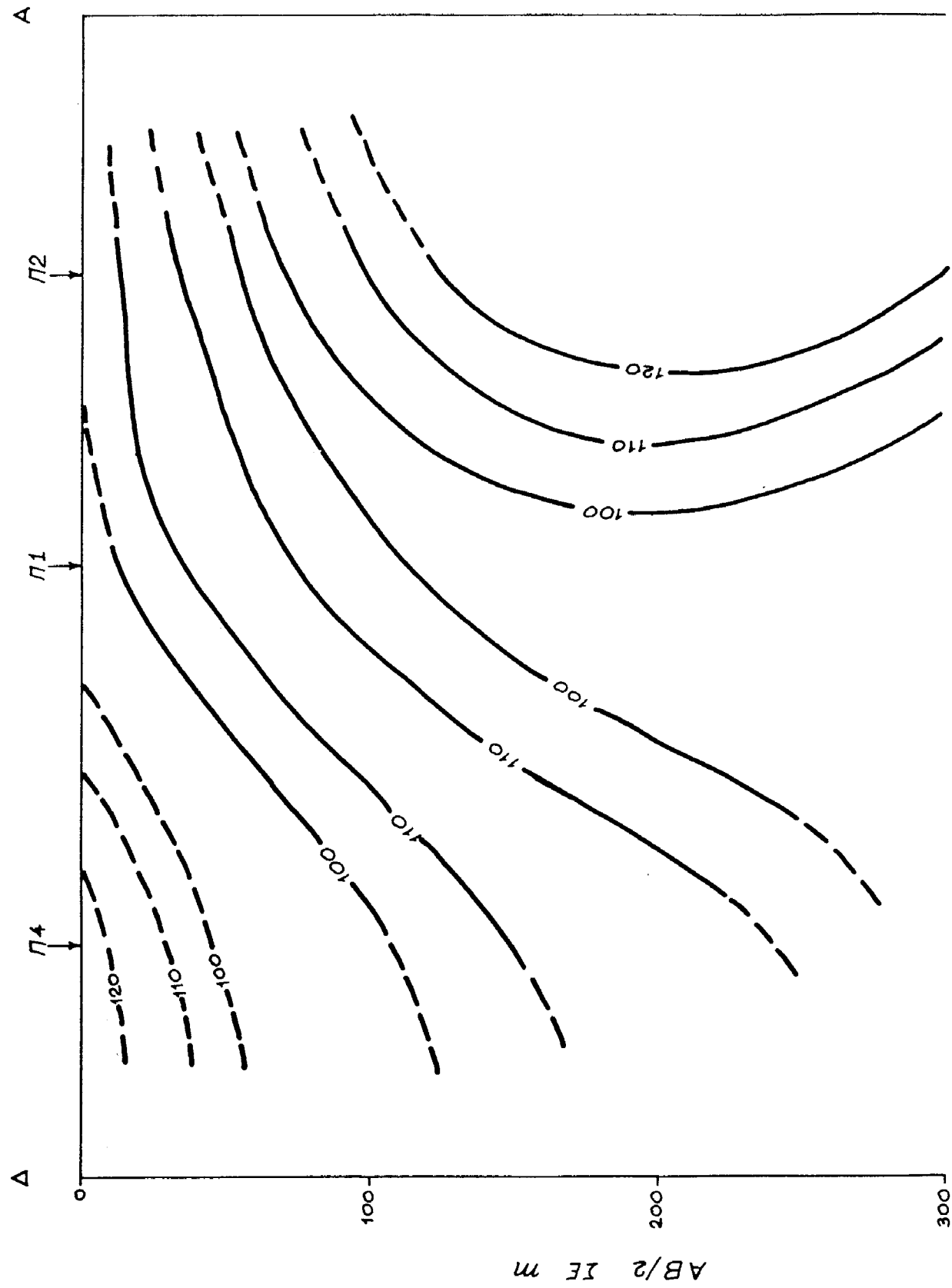
Σχήμα 7

XAPTHI ΦΑΙΝΟΜΕΝΗΙ ΕΙΔΙΚΗΙ ΑΝΤΙΤΑΙΗΙ  
ΝΕΡΙΟΧΗΙ ΦΑΡΩΝ



Σχήμα 8

ΧΑΡΤΗΣ ΦΑΙΝΟΜΕΝΗΣ ΕΙΔΙΚΗΣ ΑΝΤΙΤΑΣΗΣ  
ΠΕΡΙΟΧΗΣ ΠΛΑΚΑΣ



Σχήμα 10

ΓΕΩΣΕΙΣΜΙΚΗ ΕΡΕΥΝΑ

## ΓΕΩΣΕΙΣΜΙΚΗ ΕΡΕΥΝΑ

### A. ΣΕΙΣΜΙΚΑ ΔΙΑΘΛΑΣΗΣ

Η Γεωσεισμική έρευνα στην περιοχή Καλαμάτας κάλυψε συνολικά 2500 μέτρα σεισμικών διατομών. Οι εργασίες που έγιναν αναφέρονται αναλυτικά στον παρακάτω πίνακα 1 :

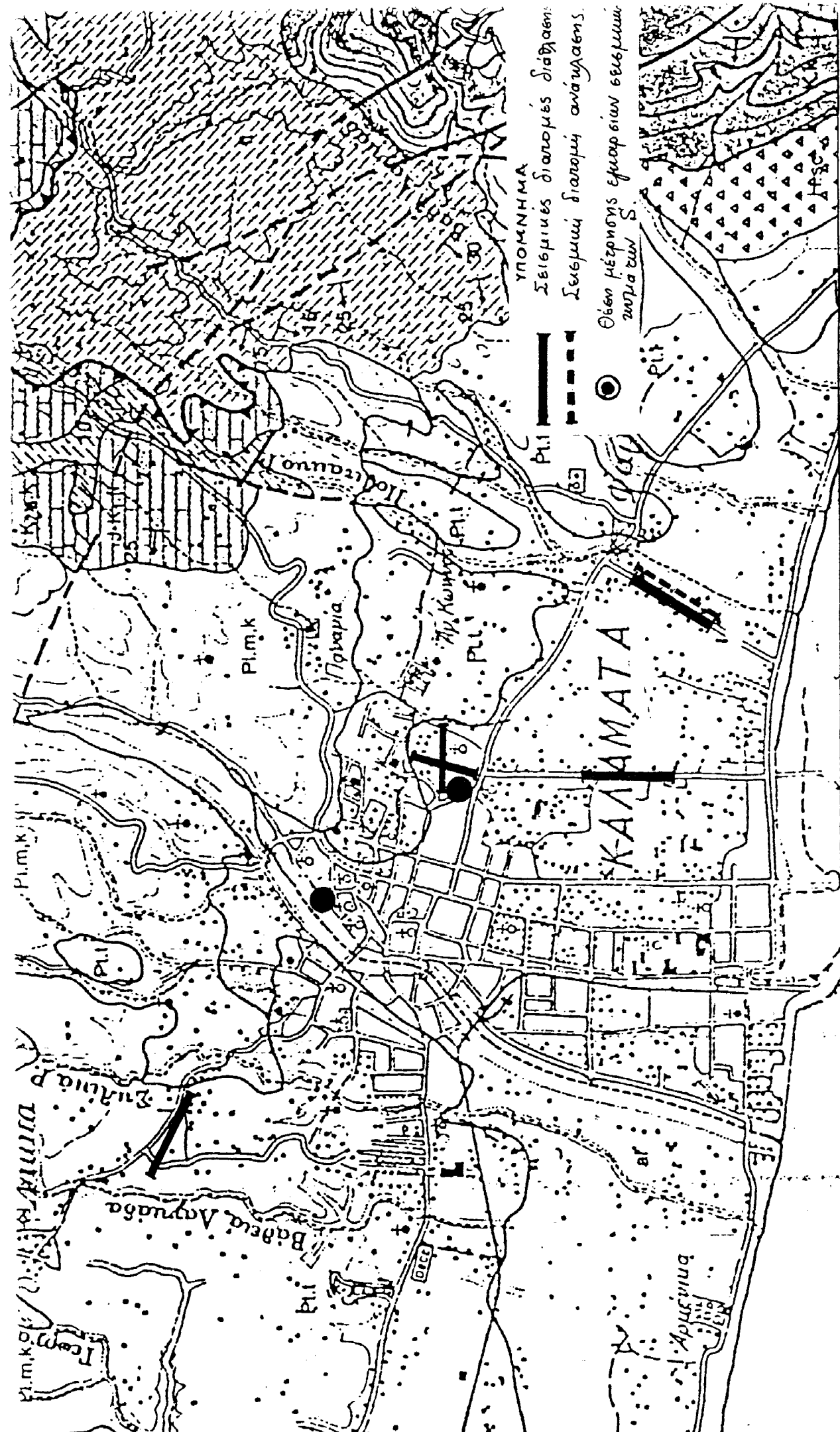
ΠΙΝΑΚΑΣ 1

Περιγραφή Εργασιών	Πλήθος αναπτυγμάτων	Συνολικό Μήκος σε μέτρα
Σεισμικά διάθλασης	5	1600
weathering διατομές	3	250
Σεισμικά ανάκλασης	1	400
Έρευνα εγκαρσίων (S) σεισμικών κυμάτων	2	230

Σκοπός της γεωσεισμικής έρευνας ήταν ο προσδιορισμός της μορφολογίας και των ελαστικών σταθερών του υποβάθρου που στην προκειμένη περίπτωση θεωρήθηκε η συμπαγής μάργα. Ένας ακόμη στόχος της έρευνας ήταν ο εντοπισμός πλευρικών μεταβολών στήν σύσταση των ιζημάτων.

### A.1. ΕΡΓΑΣΙΕΣ ΥΠΑΙΘΡΟΥ

Στις εργασίες υπαίθρου η διαδικασία που ακολουθήθηκε ήταν η πυροδότηση πέντε εκρήξεων. Μιας στην αρχή και το τέλος του αναπτύγματος (Normal και Reverse) και ανα μία στο πρώτο, δεύτερο και τρίτο τέταρτο του αναπτύγματος (1<sup>st</sup> quarter, Middle και 3<sup>rd</sup> quarter αντίστοιχα). Όπου οι συνθήκες ασφάλειας το επέτρεψαν ο αριθμός των εκρήξεων αυξήθηκε κατα δύο, ανά μία πέρα από τα άκρα του αναπτύγματος και σε απόσταση ίση με τα δύο τρίτα του μήκους του αναπτύγματος (1<sup>st</sup> και 2<sup>nd</sup> outshot αντίστοιχα). Το εκ-



Ex.1. Τοπογραφικός χάρτης της περιοχής έρευνας όπου τα ενδεικτικές ή επιτελείς τον σεισμικών διατομών διάθλαστος, ανάκλαστος και μέτρησης της ταχύτητας των εγκαρσίων σεισμικών κυμάτων S.

ρητικό υλικό που χρησιμοποιήθηκε ήταν ειδικής κατασκευής για σεισμικές έρευνες οι δε πυροκροτητές ήταν ειδικοί για σεισμικές εργασίες όπου ο χρόνος καθυστέρησης (delay time) είναι μικρότερος του 1 msec.

## B. ΑΠΟΤΕΛΕΣΜΑΤΑ

### B.1. ΠΕΡΙΟΧΗ ΣΤΡΑΤΟΠΕΔΟΥ

Στην περιοχή στρατοπέδου εκτελέστηκαν δύο αναπτύγματα των 24 γεωφώνων με απόσταση μεταξύ των γεωφώνων 12 μέτρα. Ο προσανατολισμός των αναπτυγμάτων ήταν κατά την διεύθυνση Βορράς- Νότος (STRANS) και Ανατολή - Δύση (STRAEW). Ο σκοπός της εκτέλεσης των δύο εγκαρσίων διατομών ήταν η ανίχνευση φαινομένων ανισοτροπίας στην ταχύτητα διάδοσης των σεισμικών κυμάτων. Οι σεισμικές αναγραφές ήταν πολύ κάλής ποιότητας και οι χρόνοι διαδρομής των σεισμικών κυμάτων μετρήθηκαν με ακρίβεια καλύτερη από 0.5 msec.

Και στις δύο σεισμικές γραμμές (σχήματα 2 και 3) έχουμε την παρουσία τριών σεισμικών στρωμάτων. Το επιφανειακό στρώμα παρουσιάζεται και στις δύο γραμμές με ταχύτητα διάδοσης που κυμαίνεται από 550 έως 700 m/sec. Το πάχος του παραπάνω στρώματος παρουσιάζει μια μικρή διακύμανση με κάτω όριο τα 5 μέτρα και πάνω όριο τα 9 μέτρα. Το δεύτερο στρώμα παρουσιάζεται σ' όλο το μήκος της γραμμής STRATOPEDO - NS. Στο ανάπτυγμα STRATOPEDO - EW το δεύτερο αυτό στρώμα παρουσιάζεται στα πρώτα 210 μέτρα της γραμμής και φαίνεται να αποσφηνούται στην περιοχή του γεωφώνου 19. Η ταχύτητα διάδοσης στο στρώμα αυτό κυμαίνεται από 1150 έως 1500 μέτρα το δευτερόλεπτο το δε παχος του παρουσιάζει μια σχετικά έντονη διακύμανση από 0 μέτρα στην περιοχή αποσφήνωσης μέχρι τα 14 μέτρα που είναι το μέγιστο. Το τρίτο στρώμα με ταχύτητα διάδοσης 1800 μέτρα το δευτερόλεπτο παρουσιάζεται σ' όλο το μήκος των δύο αναπτυγμάτων.

### B.2. ΟΔΟΣ ΗΡΩΩΝ

Στην οδό Ηρώων εκτελέσθηκε ένα ανάπτυγμα 24 γεωφώνων με απόσταση μεταξύ τους 15 μέτρα. Το συνολικό μήκος του αναπτύγματος είναι 345 μέτρα ή δε θέση του και ο προσανατολισμός του

φαίνεται στον χάρτη του σχεδίου 1.

Όπως στην περιοχή του στατοπέδου έτσι και εδώ έχουμε την παρουσία τριών σεισμικών ορίζοντων. Το επιφανειακό στρώμα με μέσο πάχος 6 μέτρα και ταχύτητα διάδοσης που κυμαίνεται από 500 μέχρι 650 μέτρα το δευτερόλεπτο (σχήμα 4). Το αμέσως κατώτερο στρώμα με ταχύτητα διάδοσης από 1650 έως 1850 μέτρα το δευτερόλεπτο, φαίνεται να ταυτίζεται με τον τρίτο κατά σειρά σεισμικό ορίζοντα των σεισμικών διατομών του στρατοπέδου. Τέλος, ο τρίτος ορίζοντας με ταχύτητα διάδοσης 2450 μέτρα το δευτερόλεπτο, παρουσιάζεται σ' ολόκληρο το μήκος του αναπτύγματος. Το κύριο χαρακτηριστικό αυτού του αναπτύγματος είναι η παρουσία νέου ορίζοντα με μεγαλύτερη ταχύτητα διάδοσης (2450 m/sec) καθώς και η απουσία του ορίζοντα με ταχύτητα 1150 έως 1400 μέτρα το δευτερόλεπτο που εμφανίζεται στην περιοχή στατοπέδου.

### B. 3. ΟΔΟΣ ΑΥΡΑΣ

Όπως και στην οδό Ηρώων, το ανάπτυγμα της οδού Αύρας έγινε επί του πεζοδρομίου με άπλωμα 24 γεωφώνων και απόσταση μεταξύ τους 15 μέτρα. Σ' ολόκληρο το μήκος του αναπτύγματος (σχήμα 5) έχουμε την παρουσία δύο σεισμικών ορίζοντων. Του επιφανειακού στρώματος με ταχύτητα διάδοσης από 400 έως 600 μέτρα το δευτερόλεπτο που παρουσιάζει μικρή διακύμανση στο πάχος του. Το μέσο πάχος του στρώματος αυτού είναι της τάξης των 10 μέτρων. Ο αμέσως κατώτερος ορίζοντας έχει ταχύτητα διάδοσης 2150 μέτρα το δευτερόλεπτο, φαίνεται δε να συνδέεται με τον ενδιάμεσο σεισμικό ορίζοντα της οδού Ηρώων (Ταχύτητα 1650 έως 1850 μέτρα το δευτερόλεπτο) καθώς και με το τελευταίο στρώμα των αναπτυγμάτων της περιοχής στρατοπέδου (ταχύτητα 1800 μέτρα το δευτερόλεπτο). Όπως και στην οδό Ηρώων έτσι και εδώ το κύριο χαρακτηριστικό του αναπτύγματος είναι η έλλειψη του στρώματος ενδιάμεσης ταχύτητας (1150 έως 1400 μέτρα το δευτερόλεπτο) που παρουσιάζεται στην περιοχή στρατοπέδου.

ΓΕΩΣΕΙΣΜΙΚΗ ΕΡΕΥΝΑ

B. 4. ΠΕΡΙΟΧΗ ΚΤΗΜΑΤΟΣ ΣΤΑΘΟΠΟΥΛΟΥ (ΠΑΤΣΑ)

Στο κτήμα Σταθόπουλου εκτελέσθηκε ένα ανάπτυγμα με 24 γεώφωνα και 15 μέτρα απόσταση μεταξύ τους. Οι σεισμικοί ορίζοντες που εντοπίσθηκαν είναι τρεις (σχήμα 6). Το επιφανειακό στρώμα με μικρή διακύμανση στο πάχος του και ταχύτητα διάδοσης, από 500 έως 600 μέτρα το δευτερόλεπτο. Το ενδιάμεσο στρώμα με ταχύτητα από 900 έως 1150 μέτρα το δευτερόλεπτο και κυμαινόμενο πάχος και τέλος ο τρίτος ορίζοντας με ταχύτητα διάδοσης 2100 μέτρα το δευτερόλεπτο. Από τις σεισμικές αναγραφές φαίνεται να έχουμε την παρουσία ενός ενδιαμέσου στρώματος, είτε μικρότερης ταχύτητας από την ταχύτητα των 900 έως 1100 μέτρων ανα δευτερόλεπτο, είτε μικρού πάχους σε σχέση με το μήκος του σεισμικού κύματος (περίπτωση τυφλής ζώνης). Η παρουσία του παραπάνω στρώματος μολονότι είναι φανερή δεν μας επιτρέπει τον προσδιορισμό των σεισμικών του παραμέτρων (πάχος και ταχύτητα) με αποτέλεσμα να υπεισέρχονται σφάλματα που κατα την επεξεργασία οδηγούν σε υπερεκτιμημένα παχη του αμέσως βαθύτερου ορίζοντα. Ετσι το βάθος ύπαρξης του σεισμικού ορίζοντα με ταχύτητα 2100 μέτρα το δευτερόλεπτο θα πρέπει να αντιμετωπισθεί με κάποια επιφύλαξη.

Θα μπορούσαμε επομένως να συνοψίσουμε ότι στις περιοχές που ερευνήθηκαν και κατ'επέκταση στην ευρύτερη περιοχή επικρατούν τρεις σεισμικοί ορίζοντες. Το επιφανειακό στρώμα με μικρή ταχύτητα διάδοσης αντιστοιχεί στο επιφανειακό χαλαρό και ποικίλης σύστασης υλικό. Ο ενδιάμεσος ορίζοντας με ταχύτητα διάδοσης από 900 έως 1500 μέτρα το δευτερόλεπτο φαίνεται να αντιστοιχεί σε μάργα χαλαρής εν γένει σύστασης η εναλλαγές αμμοχαλίκων. Ενώ ο βαθύτερος ορίζοντας με ταχύτητα διάδοσης από 1750 έως 2100 μέτρα το δευτερόλεπτο φαίνεται ν'αντιστοιχεί σε εναλλαγές μάργας κροκαλοπαγών και άμμων.

Ο βαθύτερος τέλος ορίζοντας που εντοπίσθηκε στην οδό Ηρώων με ταχύτητα διάδοσης 2450 m/sec πιθανόν ν'αντιστοιχεί στην υγιή μάργα.

## Γ. ΕΓΚΑΡΣΙΑ ΚΥΜΑΤΑ

Οι ελαστικές ιδιότητες των πετρωμάτων είναι δυνατόν να ορισθούν λεπτομερώς από τη γνώση ορισμένων ελαστικών σταθερών όπως είναι το μέτρο διαμήκους ελαστικότητας ή μέτρο του Young, το μέτρο κυβικής ελαστικότητας (Bulk modulus), το μέτρο ακαμψίας ή διατμητικής ελαστικότητας (Rigidity or shear modulus), καθώς και ο λόγος του Poisson. Η γνώση των σταθερών αυτών παρέχει στον Πολυτικό Μηχανικό ουσιαστική βοήθεια στη φάση σχεδιασμού θεμελιώσεων μεγάλων έργων υποδομής.

Οι σεισμικές μέθοδοι είναι δυνατόν, χρησιμοποιούμενες, να μας δώσουν πληροφορίες δύον αφορά τις δυναμικές ελαστικές σταθερές των πετρωμάτων.

Είναι επίσης δυνατόν, μετρώντας τις ταχύτητες  $v_p$  και  $v_s$  των επιμήκων και εγκαρσίων σεισμικών κυμάτων σε μια σεισμική έρευνα, να προσδιοριστούν οι δυναμικές ελαστικές σταθερές οι οποίες συνδέονται με τις ταχύτητες  $v_p$ ,  $v_s$  και την πυκνότητα  $\rho$  του υλικού.

Σκοπός της συγκεκριμένης εργασίας ήταν η δυνατότητα παραγωγής φώρασης και χρησιμοποίησης των εγκάρσιων σεισμικών κυμάτων για τον προσδιορισμό της ταχύτητας αυτών σε χαλαρούς επιφανειακούς σχηματισμούς.

### Γ.1 ΕΡΓΑΣΙΕΣ ΥΠΑΙΘΡΟΥ - ΕΞΟΠΛΙΣΜΟΣ

Η μέθοδος που ακολουθήθηκε για την παραγωγή και φώραση οριζόντια πολωμένων εγκάρσιων σεισμικών κυμάτων SH στην περιοχή έρευνας ήταν η τεχνική επιφάνειας.

Ο σεισμογράφος που χρησιμοποιήθηκε σ' αυτήν την έρευνα είναι το μοντέλο ES-2415 της GEOMETRICS με δυνατότητα χρησιμοποίησης 24 γεωφώνων. Η ανίχνευση των P και S σεισμικών κυμάτων έγινε με τη χρησιμοποίηση κατακόρυφων και οριζόντιων γεωφώνων συχνότητας 14 Hz. Η μηχανική πηγή ενέργειας που χρησιμοποιήθηκε για την παραγωγή P και S κυμάτων είναι ένα σεισμικό σφυρί 3kg και ένα τεμάχιο ξύλου διαστάσεων 0.2x0.3x2.5m περίπου.

Το ξύλο τοποθετείται έτσι ώστε ο μεγάλος του άξονας να είναι κάθετος στον άξονα σεισμική πηγή-γεώφωνο. Τοποθετούμε στο έδαφος δίπλα-δίπλα ένα κατακόρυφο και ένα οριζόντιο γεώφωνο έτσι ώστε ο ευαίσθητος άξονας αυτού να είναι κάθετος στον άξονα πηγή-γεώφωνο. Η τοποθέτηση του οριζόντιου και κατακόρυφου γεώφωνου στο έδαφος, η θέση του σφυριού και του ξύλου με το βάρος και η σύνδεση αντών με το σεισμογράφο φαίνονται στο σκαρίφημα του σχήματος 7.

Δοκιμές παραγωγής και φόρασης εγκάρσιων σεισμικών κυμάτων έγιναν πάνω σε εμφανίσεις της μάργας που απαντούν στις περιοχές Νέας Αγοράς και Στρατοπέδου.

Παράλληλα με τις επί τόπου μετρήσεις της ταχύτητας των εγκάρσιων σεισμικών κυμάτων, μετρήθηκε και η ταχύτητα των κυμάτων P στους ίδιους γεωλογικούς σχηματισμούς. Οι θέσεις εκτέλεσης των δοκιμών αυτών φαίνονται στο χάρτη του σχεδίου 1.

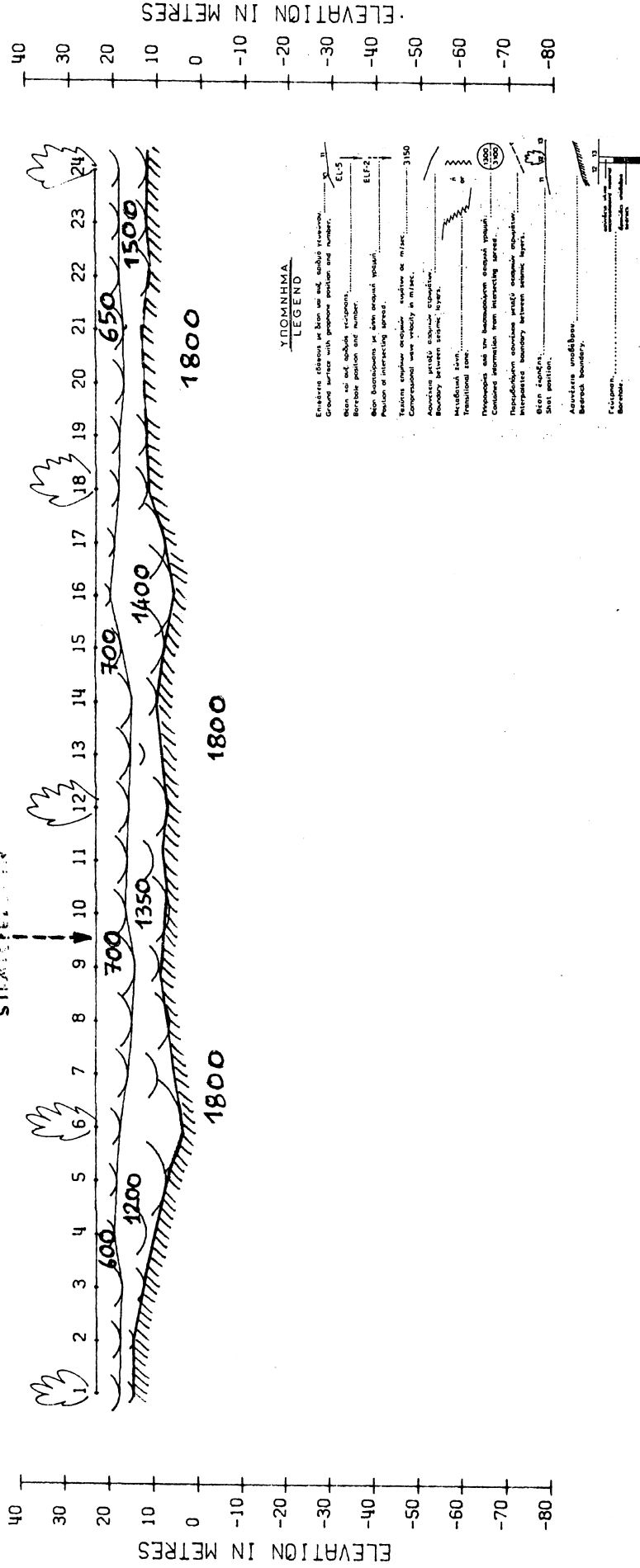
## Γ. 2. ΑΠΟΤΕΛΕΣΜΑΤΑ

Στον πίνακα 2 αναφέρονται οι ταχύτητες των P και S κυμάτων που υπολογίστηκαν για το επιφανειακό στρώμα της μάργας, στις δύο περιοχές που έγιναν οι δοκιμές.

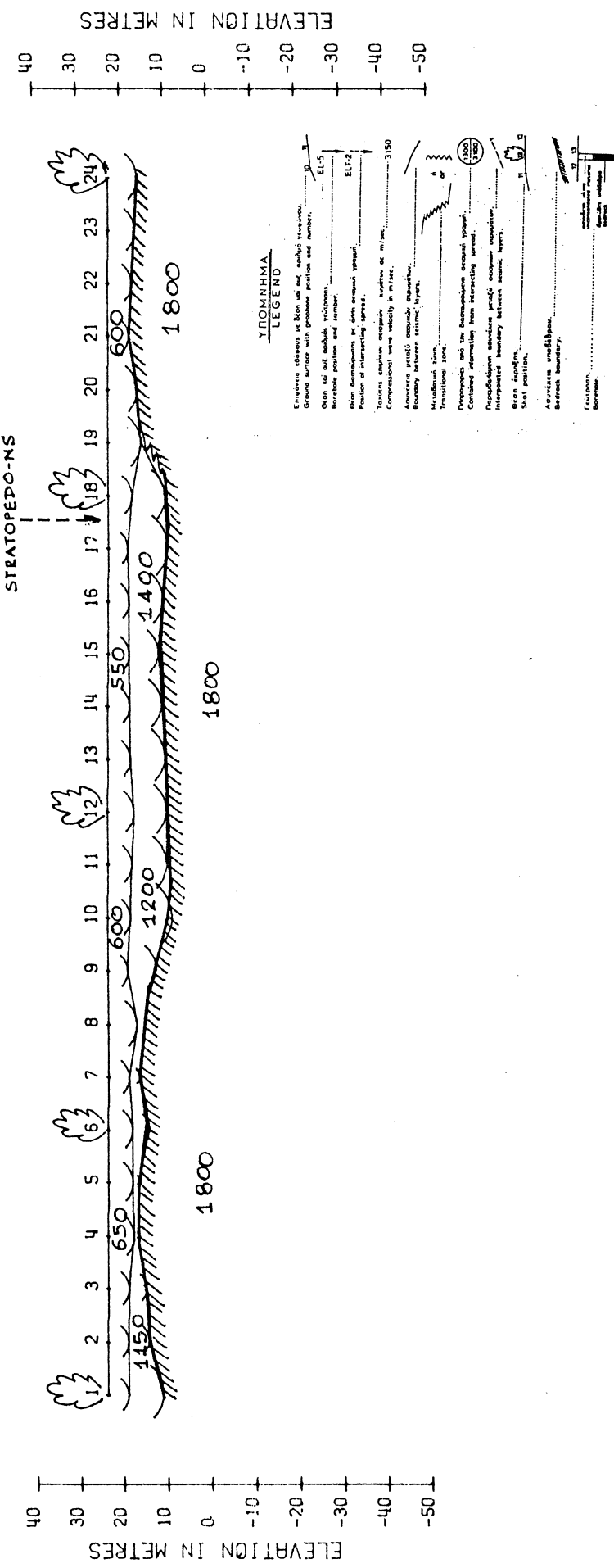
ΠΙΝΑΚΑΣ 2

ΠΕΡΙΟΧΗ	TAXYTHTA EPIIMHKWN SEISMIKWN KYMATQN V <sub>P</sub> (m/sec)	TAXYTHTA ORIZONTIA POLAOMENON EGKARESION SEISMIKWN KYMATQN V <sub>SH</sub> (m/sec)
Νέα Αγορά	1800	285
Στρατόπεδο	1800	295

KALAMATA PROJECT  
 STRATOPOEDO-NS SEISMIC SECTION  
 SCALES : HORIZONTAL 1:1000 - VERTICAL AS SHOWN



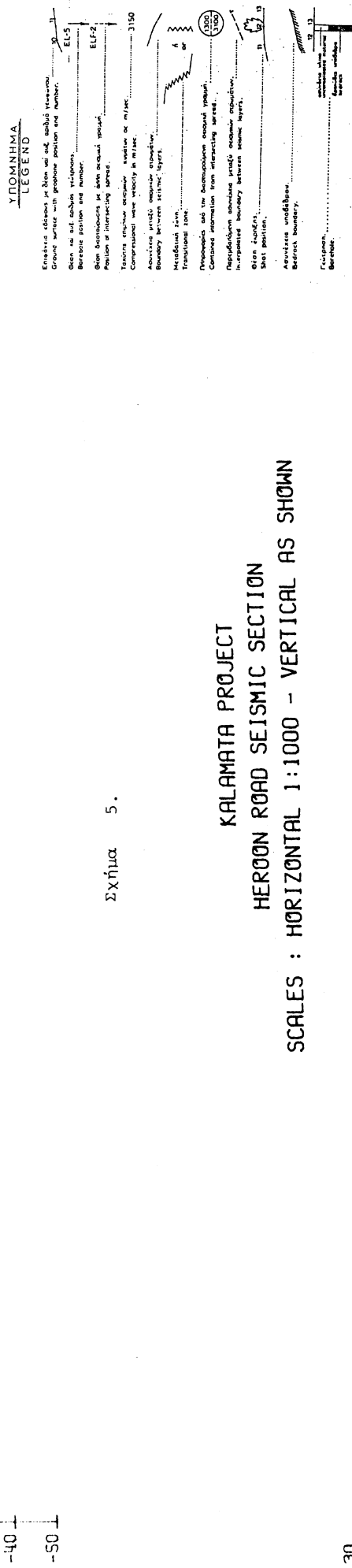
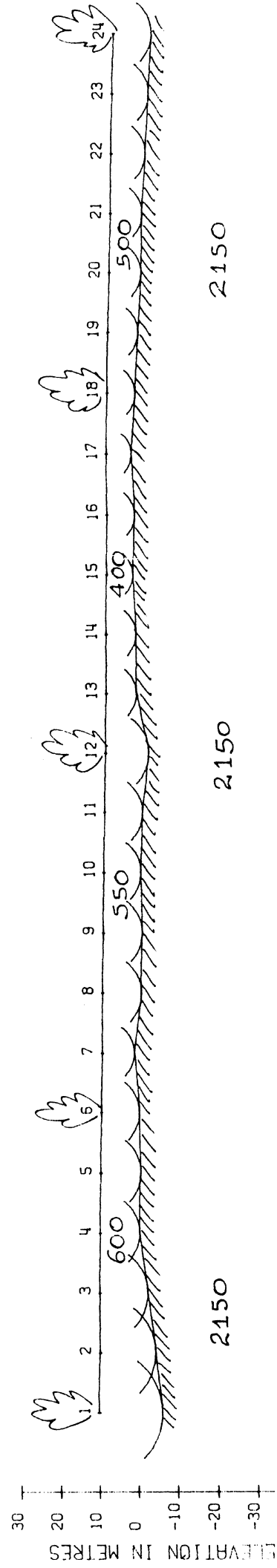
KALAMATA PROJECT  
STRATOPEDO-EW SEISMIC SECTION  
SCALES : HORIZONTAL 1:1000 - VERTICAL AS SHOWN



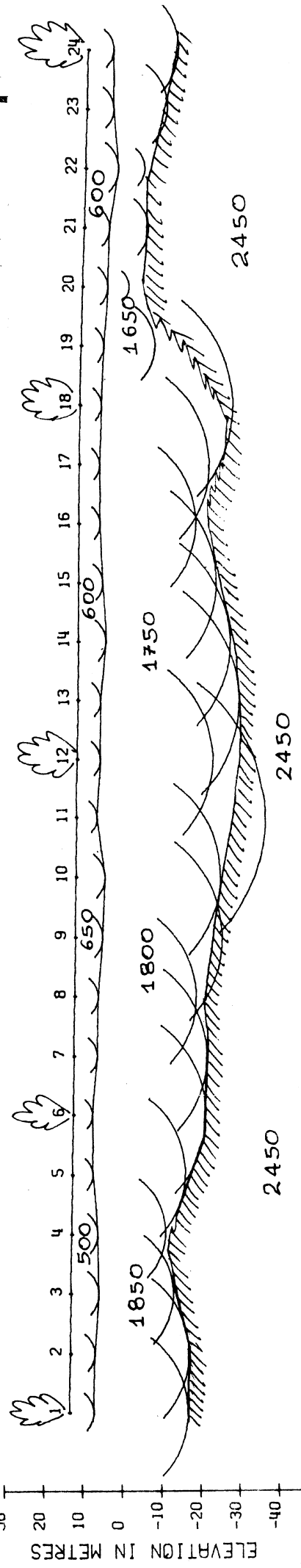
KALAMATA PROJECT

AVRAS ROAD SEISMIC SECTION

SCALES : HORIZONTAL 1:1000 - VERTICAL AS SHOWN



KALAMATA PROJECT  
HEROON ROAD SEISMIC SECTION  
SCALES : HORIZONTAL 1:1000 - VERTICAL AS SHOWN

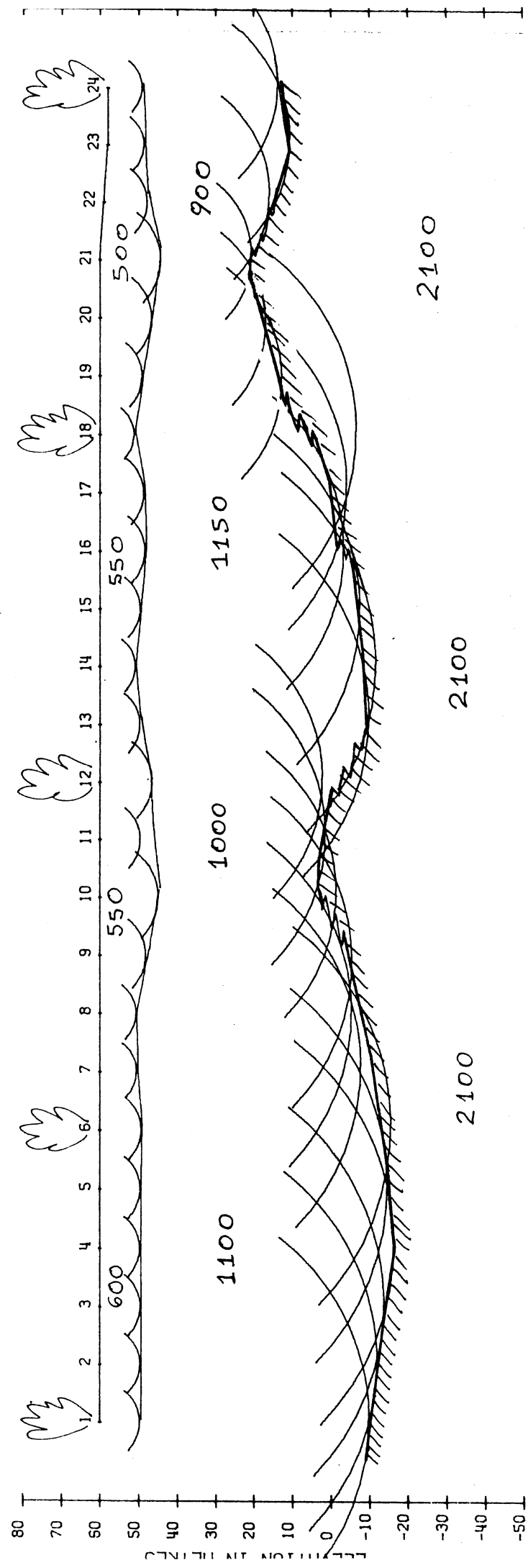


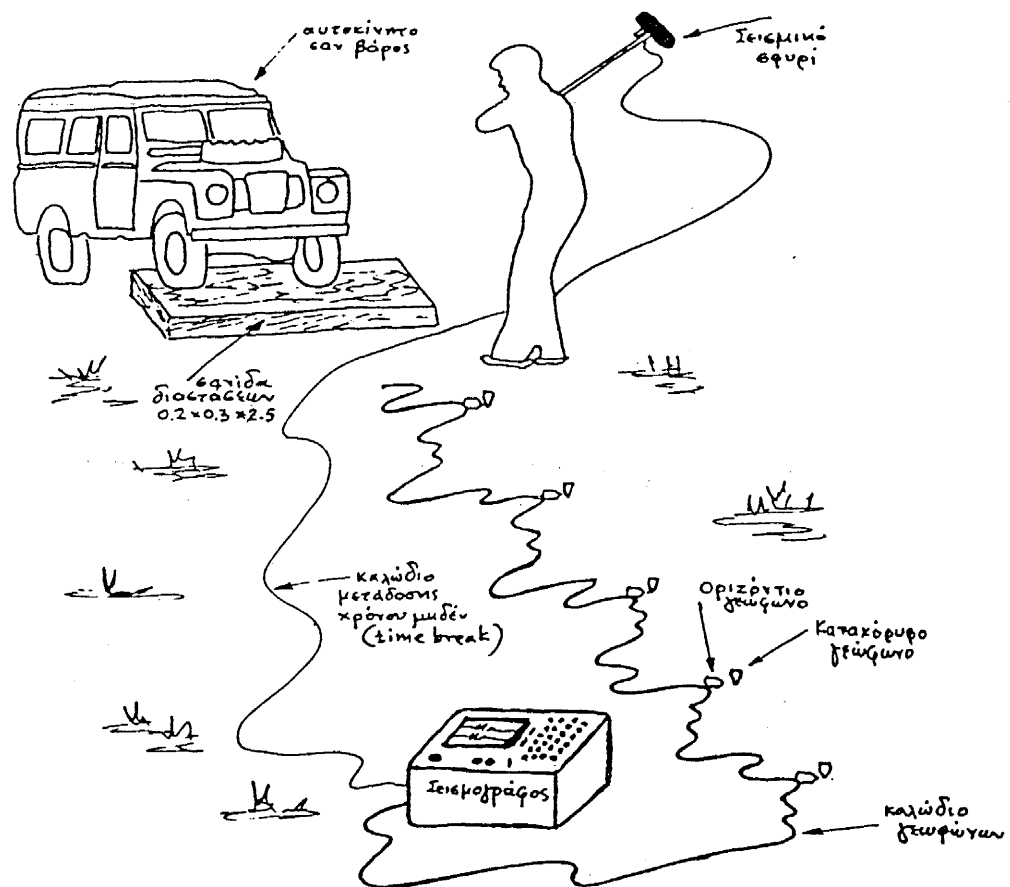
Σχήμα 4.

YIOMNHMA  
LEGEND

Entered stations in their assigned positions.	.....
Ground surface with gridline position and number.	.....
Grid and station numbers.	.....
Borehole position and number.	.....
Grid boundaries in their original positions.	.....
Position of intersecting curves.	.....
Vertical response amplitude relative to height.	.....
Compressional wave velocity in m/sec.	.....
Amplification ratio between seismic waves.	.....
Boundary between surface and borehole.	.....
Horizon line.	.....
Transition zone.	.....
Response due to harmonics, reflected waves.	.....
Correlation information from intersecting lines.	.....
Interpretation surfaces made on seismic maps.	.....
Given location.	.....
Start position.	.....
Acquisition boundaries.	.....
Borehole boundary.	.....
Reference.	.....
Distance scale bar.	.....

KALAMATA PROJECT  
STATHOPOULOS AREA SEISMIC SECTION  
SCALES : HORIZONTAL 1:1000 - VERTICAL AS SHOWN





Σχ. 7. Διάταξη της τεχνικής επιφάνειας για την παραγωγή εγκάρσιων σεισμικών κυμάτων SH.

## ΑΞΙΟΛΟΓΗΣΗ ΓΕΩΣΕΙΣΜΙΚΩΝ ΚΑΙ ΓΕΩΗΛΕΚΤΡΙΚΩΝ ΑΠΟΤΕΛΕΣΜΑΤΩΝ

Η συσχέτιση των αποτελεσμάτων της ηλεκτρικής και γεωσεισμικής έρευνας φαίνεται να είναι σε γενικές γραμμές ικανοποιητική.

Έτσι ενώ για την οδό Ηρώων οι δύο γεωφυσικές μέθοδοι δίνουν δομές που συγκλίνουν, ορισμένες μικροαποκλίσεις παρουσιάζονται στη συσχέτιση των γεωηλεκτρικών και γεωσεισμικών αποτελεσμάτων από τις έρευνες που έγιναν στην οδό Αύρας. Συγκεκριμένα στην σεισμική διατομή της οδού Αύρας δεν εμφανίζεται το ενδιάμεσο στρώμα με τιμές σεισμικής ταχύτητας από 1200 έως 1500 m/sec, το οποίο παρουσιάζεται στις σεισμικές διατομές των γειτονικών περιοχών του στρατοπέδου και της οδού Ηρώων.

Η απουσία του στρώματος αυτού πιθανόν να οφείλεται στην μεγάλη απόσταση που χρησιμοποιήθηκε μεταξύ των γεωφώνων (15 μέτρα) σε συνδυασμό με το μικρό πάχος του στρώματος αυτού όπως προκύπτει από τις σεισμικές διατομές των γειτονικών περιοχών που αναφέρθηκαν προηγούμενα. Κατόπιν τούτων η γεωσεισμική ασυνέχεια του υπόβαθρου στην διατομή της οδού Αύρας αναμένεται από βρίσκεται βαθύτερα όπως άλλωστε επιβεβαιώνεται και από τα αποτελέσματα της γεωηλεκτρικής βυθομέτρησης S<sub>1</sub> που εντοπίζει το υπόβαθρο σε βάθος 25 περίπου μέτρα.

Παρόμοιες μικροαποκλίσεις παρουσιάζονται και στα αποτελέσματα των γεωφυσικών μεθόδων που εφαρμόστηκαν στην περιοχή του ιτήματος Σταθόπουλου. Από την παρατήρηση των δρομοχρονικών καμπύλων που προέκυψαν από τις σεισμικές αναγραφές υπάρχει ένδειξη παρουσίας τυφλής ζώνης. Η τυφλή ζώνη είναι στρώμα είτε με ταχύτητα μικρότερη της ταχύτητας των σεισμικών κυμάτων στο υπεριείμενο στρώμα είτε με πάχος μικρό σε σχέση με το μήκος κύματος του σεισμικού παλμού. Η τυφλή ζώνη δεν γίνεται αντιληπτή από την σεισμική μέθοδο διάθλασης με την έννοια προσδιορισμού του πάχους της και της ταχύτητας των σεισμικών κυμάτων μέσα απ' αυτήν, με συνέπεια το βάθος ύπαρξης του υποβάθρου να είναι υπερεκτιμημένο. Κατόπιν τούτων τα στοιχεία που προέκυψαν από την γεωσεισμική έρευνα θα πρέπει να ληφθούν υπόψη με κάποια επιφύλαξη.

Τα συμπεράσματα για την δομή που επικρατεί στην περιοχή αυτή θα πρέπει λοιπόν να εξαχθούν από τα αποτελέσματα της γεωηλεκτρικής έρευνας.